

بِسْمِ اللَّهِ الرَّحْمَنِ الرَّحِيمِ



دانشگاه شاهرود

دانشکده: مهندسی عمران

گروه: سازه‌های هیدرولیکی

رساله دکتری

## مدل‌سازی جریان در کانال روباز با استفاده از روش ایزوژئومتری

رضا مقصودی

استاد راهنما:

دکتر رامین امینی

استاد مشاور:

دکتر ناصر ظریف مقدم باصفت

شهریور ۱۳۹۴

شماره: ۹۲  
تاریخ: ۱۴۳۸/۱۱/۱۶  
ویرایش:

باسمه تعالی

صورت جلسه دفاع از رساله دکتری (Ph.D)



مدیریت تحصیلات تکمیلی

فرم شماره ۱۲

بدینوسیله گواهی می‌شود آقای رضا مقصودی دانشجوی دکتری رشته عمران به شماره دانشجویی ۸۸۱۸۲۹۵ ورودی ماه مهر سال ۱۳۸۸ در تاریخ ۹۴/۶/۲۴ از رساله خود با عنوان: مدل‌سازی جریان در کانال روباز با استفاده از روش ایزوژئومتریک دفاع و با اخذ نمره به درجه: نائل گردید.

<input type="checkbox"/> الف) درجه عالی: نمره ۱۹-۲۰	<input type="checkbox"/> ب) درجه بسیار خوب: نمره ۱۸/۹۹ - ۱۷
<input checked="" type="checkbox"/> ج) درجه خوب: نمره ۱۶/۹۹ - ۱۵	<input type="checkbox"/> د) غیر قابل قبول و نیاز به دفاع مجدد دارد
<input type="checkbox"/> ه) رساله نیاز به اصلاحات دارد	

ردیف	هیئت داوران	نام و نام خانوادگی	مرتبۀ علمی	امضاء
۱	دکتر رامین امینی	استاد راهنما	استادیار	
۲	دکتر ناصر ظریف‌مقدم باصفت	مشاور	مربی	
۳	دکتر بهروز حسنی	استاد مدعو خارجی	استاد	
۴	دکتر محمد محسن شاهمردان	استاد مدعو داخلی	دانشیار	
۵	دکتر امیرعباس عابدینی	استاد مدعو داخلی	استادیار	
۶	دکتر مهدی عجمی	سرپرست (نماینده) تحصیلات تکمیلی دانشکده	استادیار	

مدیر محترم تحصیلات تکمیلی دانشگاه:

ضمن تأیید مراتب فوق مقرر فرمائید اقدامات لازم بعمل آید.

رئیس دانشکده و رئیس هیأت داوران:

تاریخ و امضاء:

۹۴/۶/۲۴

تقدیم

بہ پدر، مادر، ہمسر

و دختر مرسانا.

## تشکر و قدردانی

در ابتدای این رساله‌ی از همه‌ی کسانی که به هر شکلی در به ثمر رساندن این پایان‌نامه مرا یاری نمودند تشکر و قدردانی می‌کنم. از آقای دکتر رامین امینی بخاطر راهنمایی‌های ارزنده‌ی ایشان در به انجام رساندن این رساله و همچنین زحمات ایشان در دوره‌های کارشناسی ارشد و دکترا صمیمانه تشکر می‌کنم و باعث افتخار است که به عنوان شاگرد در خدمت ایشان بوده‌ام. همچنین از دکتر ظریف، دکتر توکلی و دکتر سرکرده بخاطر مشاوره‌های مناسب و راهنمایی‌های مفید کمال تشکر را دارم.

از طرفی لازم می‌دانم از اساتید محترم دانشکده‌ی عمران دانشگاه شاهرود، آقایان دکتر احمدی، دکتر ساغروانی، دکتر نادری کمال تشکر و قدردانی را داشته باشم. همچنین از داوران محترم جناب دکتر حسنی از دانشکده‌ی مهندسی دانشگاه فردوسی، جناب دکتر شاهمردان از دانشکده‌ی مکانیک دانشگاه شاهرود و دکتر عابدینی بخاطر قبول زحمت و ارائه‌ی نظرات مفیدشان کمال تشکر را دارم.

همچنین از پدر گرامی و مادر مهربانم بخاطر کمک‌های بی‌دریغ‌شان در طول دوران تحصیل تشکر می‌نمایم.

در نهایت از همسر عزیزم که در این مدت همواره پشتیبان و یاور من بوده‌اند تشکر و قدردانی می‌کنم.

دانشجو تأیید می‌نماید که مطالب مندرج در این رساله نتیجه تحقیقات خودش می‌باشد و در صورت استفاده از نتایج دیگران مرجع آن را ذکر نموده است.

کلیه حقوق مادی مترتب از نتایج مطالعات، آزمایشات و نوآوری ناشی از تحقیق موضوع این رساله متعلق به دانشگاه شاهرود می‌باشد.

## چکیده

روش جدید ایزوژئومتریک<sup>۱</sup> بر مبنای استفاده از فناوری طراحی به کمک کامپیوتر<sup>۲</sup> به تحلیل مسائل مختلف می‌پردازد و دارای مزایای بسیاری مانند کاهش قابل ملاحظه‌ی دستگاه معادلات، مدل‌سازی هندسی بسیار دقیق (بخصوص مدل‌سازی منحنی‌ها و غیره)، استفاده از روش‌های معمول در روش اجزای محدود<sup>۳</sup>، دارا بودن بیشتر مزایای روش اجزای محدود، استفاده در مسائلی که نیاز به شبکه‌بندی مجدد دارند (مسائلی که با دیدگاه لاگرانژی<sup>۴</sup> حل می‌شوند) و غیره می‌باشد.

با توجه به نوپا بودن این روش و استفاده بیشتر آن در مکانیک سازه‌ها، در این رساله سعی بر آن شده است که از قابلیت‌های روش ایزوژئومتریک در دینامیک سیالات محاسباتی<sup>۵</sup> هم در دیدگاه اویلری<sup>۶</sup> و هم در دیدگاه لاگرانژی نشان داده شود. بدین منظور در دیدگاه اویلری مسائلی مانند توزیع سرعت در کانال شیبدار با جریان یکنواخت، مدل‌سازی جریان غیرچرخشی<sup>۷</sup> اطراف مانع دایروی و مستطیلی بررسی شده‌اند. همچنین مدل‌سازی شکست سد<sup>۸</sup> در زمان‌های مختلف با دیدگاه لاگرانژی به وسیله‌ی این روش به انجام رسیده است تا به این طریق به قدرت این روش در دینامیک سیالات محاسباتی پی برد.

هدف از مدل‌سازی توزیع سرعت در کانال شیبدار با جریان یکنواخت مقایسه‌ی قابلیت روش تحلیل ایزوژئومتریک و روش اجزای محدود در مدل‌سازی مسائل با هندسه‌ی ساده می‌باشد. یکی از مسائل مهم در روش‌های عددی کاهش دستگاه معادلات است که در این قسمت سعی شده این دو روش از این نظر با هم مقایسه شوند. یکی از

---

<sup>۱</sup> Isogeometric analysis

<sup>۲</sup> Computer Aided Geometric Design

<sup>۳</sup> Finite element method

<sup>۴</sup> Lagrangian approach

<sup>۵</sup> Computational Fluid Dynamics (CFD)

<sup>۶</sup> Eulerian approach

<sup>۷</sup> Irrotational flow

<sup>۸</sup> Dam break

مشکلات بسیار مهم روش‌های عددی مدل‌سازی هندسه‌ی دارای انحناء می‌باشد که برای هر چه بهتر مدل کردن این هندسه باید شبکه‌بندی را ریزتر کرد که باعث افزایش قابل ملاحظه‌ی دستگاه معادلات و در نتیجه افزایش زمان حل می‌شود. در بخش مدل‌سازی جریان غیرچرخشی اطراف مانع دایروی بر قابلیت روش تحلیل ایزوژئومتریک در مدل‌سازی هندسه‌های پیچیده اشاره شده است. در بخش مدل‌سازی شکست سد یکی دیگر از قابلیت‌های روش تحلیل ایزوژئومتریک یعنی استفاده در مسائل دیدگاه لاگرانژی پرداخته شده است. در این مسائل مرزهای موجود در طول زمان تغییرات زیادی پیدا می‌کنند بنابراین تحلیل اینگونه مسائل به دلیل فرآیند شبکه‌بندی پر هزینه و زمان‌بر می‌باشد. در حالی که با روش تحلیل ایزوژئومتریک این مشکل اساسی به شکل قابل ملاحظه‌ای برطرف می‌شود.

**واژه‌های کلیدی:** روش ایزوژئومتریک، دینامیک سیالات محاسباتی، دیدگاه اویلری، دیدگاه لاگرانژی، توزیع سرعت در کانال شیبدار، جریان غیرچرخشی، شکست سد.



## لیست مقالات مستخرج از رساله

### مقاله‌ی ژورنالی (ISI):

- R. Amini, R. Maghsoodi, N. Z. Moghaddam, (2015), "Simulating free surface problem using Isogeometric Analysis", Journal of the Brazilian Society of Mechanical Sciences and Engineering, (Springer).

### مقاله‌های علمی پژوهشی (ISC):

- رامین امینی، رضا مقصودی، ناصر ظریف مقدم باصفت، (۱۳۹۳)، "استفاده از روش ایزوژئومتریکی در مدل‌سازی شکست سد با دیدگاه لاگرانژی"، مجله علمی پژوهشی مکانیک سازه‌ها و شاره‌ها دانشگاه شاهرود، دوره ۴، شماره ۳، صفحه ۴۵-۵۵.

- R. Amini, R. Maghsoodi, N. Z. Moghaddam, S. M. Tavakkoli, (2015) "Channels Flow Modeling by Using Isogeometric Analysis", Journal of Solid and Fluid Mechanics.

### مقاله‌های کنفرانسی:

- رامین امینی، رضا مقصودی، ناصر ظریف مقدم باصفت، (۱۳۹۲)، "مقایسه‌ی روش ایزوژئومتریکی و روش اجزای محدود در حل معادله‌ی پواسون"، دوازدهمین کنفرانس هیدرولیک ایران، گروه مهندسی آبیاری و آبادانی دانشگاه تهران.

- رامین امینی، رضا مقصودی، ناصر ظریف مقدم باصفت، (۱۳۹۳)، "مدل‌سازی توزیع سرعت در یک کانال شیبدار با جریان یکنواخت با استفاده از روش ایزوژئومتریکی"، هشتمین کنگره ملی مهندسی عمران، دانشکده مهندسی عمران، بابل.

## فهرست مطالب

۱.....	فصل اول: مقدمه
۲.....	۱-۱ مقدمه
۵.....	۲-۱ فرضیات و اهداف کلی رساله
۶.....	۳-۱ ساختار کلی رساله
۷.....	فصل دوم: روش تحلیل ایزوژئومتریکی
۸.....	۱-۲ مقدمه
۸.....	۲-۲ تاریخچه‌ی روش تحلیل ایزوژئومتریکی
۱۲.....	۳-۲ اساس روش تحلیل ایزوژئومتریکی
۱۷.....	۴-۲ فرمول‌بندی مشتق‌گیری روش تحلیل ایزوژئومتریکی
۱۹.....	فصل سوم: مروری مختصر بر روش‌های عددی
۲۰.....	۱-۳ مقدمه
۲۱.....	۲-۳ تقریب تابع
۲۴.....	۳-۳ گسسته‌سازی معادلات دیفرانسیلی
۲۶.....	۴-۳ عوامل خطا در روش‌های عددی
۲۶.....	۱-۴-۳ خطای ناشی از تقریب زدن دامنه‌ی حل مساله
۲۷.....	۲-۴-۳ خطای ناشی از گرد کردن اعداد
۲۷.....	۳-۴-۳ خطای ناشی از گسسته‌سازی معادلات
۲۹.....	فصل چهارم: اسپلاین‌ها و نربز
۳۰.....	۱-۴ مقدمه
۳۰.....	۲-۴ فرم‌های نمایش اشکال هندسی
۳۲.....	۳-۴ منحنی‌های بزیر
۳۴.....	۴-۴ منحنی‌های ب-اسپلاین
۳۵.....	۱-۴-۴ توابع پایه‌ای ب-اسپلاین
۳۹.....	۲-۴-۴ مشتقات توابع پایه‌ای ب-اسپلاین

۴۰	..... منحنی‌های ب-اسپلاین ۳-۴-۴
۴۳	..... مشتقات منحنی‌های ب-اسپلاین ۴-۴-۴
۴۳	..... سطوح ب-اسپلاین ۵-۴
۴۶	..... مشتقات سطوح ب-اسپلاین ۱-۵-۴
۴۶	..... منحنی‌های نریز ۶-۴
۴۷	..... مشتقات منحنی‌های نریز ۱-۶-۴
۴۸	..... خواص منحنی نریز ۲-۶-۴
۴۹	..... سطوح نریز ۷-۴
۵۰	..... مشتقات سطوح نریز ۱-۷-۴
۵۱	..... خواص سطوح نریز ۲-۷-۴

## فصل پنجم: استفاده از روش ایزوژئومتریك در دینامیک سیالات محاسباتی ۵۳.....

۵۴	..... مقدمه ۱-۵
۵۴	..... حل معادله‌ی پخش ۲-۵
۵۶	..... شرایط مرزی معادله‌ی پخش ۱-۲-۵
۵۸	..... مدل‌سازی روش ایزوژئومتریك معادله‌ی پخش ۲-۲-۵
۵۸	..... مدل‌سازی توزیع سرعت در کانال شیبدار با جریان یکنواخت ۳-۵
۶۲	..... معادلات حاکم بر جریان در کانال شیبدار با جریان یکنواخت ۱-۳-۵
۶۳	..... گسسته‌سازی معادله با استفاده از روش ایزوژئومتریك ۲-۳-۵
۶۵	..... شرایط مرزی جریان در یک کانال ۳-۳-۵
۶۶	..... مدل‌سازی جریان در کانال شیبدار با استفاده از روش ایزوژئومتریك ۴-۳-۵
۷۸	..... مدل‌سازی جریان غیرچرخشی اطراف یک مانع دایروی و مستطیلی ۴-۵
۷۸	..... معادله‌ی حاکم بر جریان غیرچرخشی ۱-۴-۵
۷۹	..... شرایط مرزی جریان غیرچرخشی ۲-۴-۵
۸۰	..... بردار گرهی و نقاط کنترل استفاده شده برای مدل‌سازی ۳-۴-۵
۸۲	..... نتایج مدل‌سازی جریان غیرچرخشی ۴-۴-۵

۸۵.....	۵-۵ مدل سازی شکست سد در زمان های مختلف
۸۷.....	۱-۵-۵ معادلات حاکم بر جریان
۸۸.....	۲-۵-۵ شرایط مرزی
۸۹.....	۳-۵-۵ گسسته سازی زمانی معادلات حاکم
۹۱.....	۴-۵-۵ مقدار گام زمانی
۹۲.....	۵-۵-۵ گسسته سازی مکانی با استفاده از روش ایزوژئومتریکی
۹۴.....	۶-۵-۵ ردیابی سطح آزاد
۹۷.....	۷-۵-۵ مقایسه ی روش ایزوژئومتریکی و روش بدون شبکه
۱۰۲.....	۸-۵-۵ مدل سازی شکست سد با مانع با دیدگاه اوپلری
۱۰۲.....	۹-۵-۵ مقایسه ی روش ایزوژئومتریکی و روش اجزای محدود
۱۰۶.....	۱۰-۵-۵ مقایسه ی انواع روش های مدل سازی شکست سد با نتایج آزمایشگاهی

## فصل ششم: جمع بندی نتایج و پیشنهادات

۱۱۱.....	
۱۱۲.....	۱-۶ مقدمه
۱۱۲.....	۲-۶ جمع بندی نتایج
۱۱۲.....	۱-۲-۶ نتایج عمومی
۱۱۴.....	۲-۲-۶ نتایج
۱۱۵.....	۳-۶ پیشنهادات
۱۱۷.....	پیوست
۱۲۵.....	مراجع

## فهرست اشکال

- شکل ۱-۲: شبکه‌ی اجزای محدود ..... ۱۴
- شکل ۲-۲: چگونگی نگاشت هندسه و توابع شکل در روش اجزای محدود (دوبعدی و سه‌بعدی) ..... ۱۴
- شکل ۳-۲: انواع فضاهاى بکار رفته در روش ایزوژئومتریک ..... ۱۶
- شکل ۱-۳: فرآیند ساخت یک سیستم مهندسی ..... ۲۰
- شکل ۲-۳: نمایش تابع پیوسته با استفاده از توابع درون‌یاب المان‌های مثلثی سه نقطه‌ای (مرجع [46]) ..... ۲۲
- شکل ۳-۳: گره مرجع و گره‌های موجود در ناحیه‌ی تاثیر آن در یک دامنه‌ی محاسباتی (مرجع [46]) ..... ۲۲
- شکل ۴-۳: تولید تابع شکل به فرم انتگرالی ..... ۲۳
- شکل ۵-۳: تولید تابع شکل توسط توابع چندجمله‌ای ..... ۲۳
- شکل ۱-۴: منحنی بزیر درجه‌ی ۳ ..... ۳۴
- شکل ۲-۴: منحنی چندجمله‌ای‌های قطعه‌ای درجه ۳ با سه قسمت ..... ۳۵
- شکل ۳-۴: توابع پایه‌ی مرتبه‌ی ۰، ۱ و ۲ برای بردار گره‌ای یکنواخت  $\Xi = \{1, 2, 3, 4, \dots\}$  (مرجع [43]) ..... ۳۶
- شکل ۴-۴: توابع پایه‌ی درجه‌ی سوم بردار گره‌ای باز  $\Xi = \{0, 0, 0, 0, 1/6, 1/3, 1/2, 2/3, 5/6, 1, 1, 1, 1\}$  ..... ۳۹
- شکل ۵-۴: توابع پایه‌ی درجه‌ی دوم بردار گره‌ای باز غیریکنواخت  $\Xi = \{0, 0, 0, 1, 2, 3, 4, 4, 5, 5, 5\}$  ..... ۴۱
- شکل ۶-۴: منحنی ب-اسپلاین با استفاده از توابع پایه‌ی شکل ۴-۵ (• نقاط کنترل) ..... ۴۱
- شکل ۷-۴: منحنی درجه ۳ بر روی بردار گره‌ای  $\Xi = \{0, 0, 0, 0, 1/4, 1/2, 3/4, 1, 1, 1, 1\}$  ..... ۴۲
- شکل ۸-۴: توابع پایه‌ی مربعی  $\times$  مکعبی.  $N_{4,3}(\xi)M_{4,2}(\eta)$ ؛  $\Xi = \{0, 0, 0, 0, 1/4, 1/2, 3/4, 1, 1, 1, 1\}$  و  $H = \{0, 0, 0, 1/5, 2/5, 3/5, 4/5, 1, 1, 1\}$  ..... ۴۵
- شکل ۹-۴: مقایسه‌ی منحنی نریز با منحنی ب-اسپلاین ..... ۴۷
- شکل ۱۰-۴: مثالی از شبکه‌ی کنترلی و سطح نریز ..... ۵۰
- شکل ۱-۵: ابعاد هندسی معادله‌ی (۱-۵) ..... ۵۶
- شکل ۲-۵: حل معادله‌ی (۱-۵) با شرایط هندسی شکل ۱-۵ ..... ۵۷
- شکل ۳-۵: شرایط هندسی در نظر گرفته برای مدل‌سازی با روش ایزوژئومتریک ..... ۵۷
- شکل ۴-۵: نقاط کنترلی و بردارهای گره‌ی برای مدل‌سازی با ایزوژئومتریک ..... ۵۹
- شکل ۵-۵: نتایج حاصل از روش ایزوژئومتریک معادله‌ی (۱-۵) با ۶۶ نقطه‌ی کنترلی ..... ۶۰
- شکل ۶-۵: نقاط مشخص شده برای محاسبه‌ی درصد خطا ..... ۶۰
- شکل ۷-۵: جریان در کانال شیب‌دار ..... ۶۱
- شکل ۸-۵: مقایسه‌ی پروفیل سرعت در جریان آرام و آشفته ..... ۶۱
- شکل ۹-۵: نمایش پروفیل سرعت، تنش برشی و تغییرات سرعت در کانال شیب‌دار با جریان یکنواخت ..... ۶۲
- شکل ۱۰-۵: ابعاد کانال شیب‌دار با مقطع مستطیلی ..... ۶۶

- شکل ۵-۱۱: نقاط کنترلی برای مدل سازی کانال شیبدار..... ۶۶
- شکل ۵-۱۲: فضای پارامتری و فضای اندیکسی بردار گرهی  $E=H=[0\ 0\ 0\ 0.25\ 0.5\ 0.75\ 1\ 1\ 1]$ ..... ۶۷
- شکل ۵-۱۳: نتایج روش ایزوژئومتریکی برای سرعت در کانال شیبدار با استفاده از نقاط کنترلی شکل ۵-۱۱ (برحسب m/s)..... ۶۸
- شکل ۵-۱۴: نقاط کنترلی منظم و نامنظم برای بررسی اثرات نامنظمی نقاط کنترلی..... ۷۰
- شکل ۵-۱۵: نتایج حاصل از نقاط کنترلی شکل ۵-۱۴ (برحسب m/s)..... ۷۱
- شکل ۵-۱۶: فضای پارامتری بردار گرهی برای مقایسه‌ی اثرات بردار گرهی..... ۷۲
- شکل ۵-۱۷: نتایج بردار گرهی مختلف روش ایزوژئومتریکی (برحسب m/s)..... ۷۵
- شکل ۵-۱۸: مشخصات هندسی کانال مرکب..... ۷۶
- شکل ۵-۱۹: نقاط کنترلی برای مدل سازی هندسه‌ی کانال مرکب..... ۷۷
- شکل ۵-۲۰: نتایج روش ایزوژئومتریکی برای سرعت در کانال مرکب (برحسب m/s)..... ۷۷
- شکل ۵-۲۱: شرایط هندسی و شرایط مرزی مدل سازی جریان غیرچرخشی..... ۷۹
- شکل ۵-۲۲: شرایط هندسی و شرایط مرزی جریان غیرچرخشی برای مدل سازی..... ۸۰
- شکل ۵-۲۳: شرایط مرزی مدل سازی خطوط جریان غیرچرخشی..... ۸۱
- شکل ۵-۲۴: شرایط مرزی خطوط هم‌پتانسیل جریان غیرچرخشی..... ۸۲
- شکل ۵-۲۵: نقاط کنترلی برای مدل سازی جریان غیرچرخشی..... ۸۲
- شکل ۵-۲۶: نتایج روش ایزوژئومتریکی خطوط جریان (برحسب  $m^2/s$ )..... ۸۳
- شکل ۵-۲۷: نتایج روش ایزوژئومتریکی پتانسیل سرعت (برحسب  $m^2/s$ )..... ۸۴
- شکل ۵-۲۸: نتایج روش ایزوژئومتریکی شبکه‌ی جریان..... ۸۵
- شکل ۵-۲۹: طرح مسئله‌ی شکست سد..... ۸۶
- شکل ۵-۳۰: شرایط مرزی مسئله‌ی شکست سد..... ۸۸
- شکل ۵-۳۱: الگوریتم مدل سازی جریان شکست سد با استفاده از روش دو مرحله‌ای با دیدگاه لاگرانژی..... ۹۵
- شکل ۵-۳۲: الگوریتم مدل سازی جریان شکست سد با استفاده از روش دو مرحله‌ای با دیدگاه اویلری..... ۹۶
- شکل ۵-۳۳: ابعاد ستون آب برای مدل سازی شکست سد..... ۹۷
- شکل ۵-۳۴: نقاط کنترلی برای مدل سازی روش ایزوژئومتریکی..... ۹۸
- شکل ۵-۳۵: فضای پارامتری و فضای اندیکسی بردار گرهی..... ۹۹
- شکل ۵-۳۶: مقایسه‌ی مدل سازی شکست سد با استفاده از روش ایزوژئومتریکی و روش بدون شبکه (مرجع [2])..... ۱۰۰
- شکل ۵-۳۷: موقعیت نقاط کنترلی در زمان‌های الف) ۰,۰۵ ثانیه و ب) ۰,۱ ثانیه ج) ۰,۱۵ ثانیه..... ۱۰۱
- شکل ۵-۳۸: مقایسه‌ی بردار سرعت با استفاده از روش ایزوژئومتریکی و روش بدون شبکه (مرجع [2])..... ۱۰۳
- شکل ۵-۳۹: مقایسه‌ی پروفیل فشار با استفاده از روش ایزوژئومتریکی و روش بدون شبکه (مرجع [2])..... ۱۰۴

- شکل ۴۰-۵: ابعاد و هندسه‌ی شکست سد با مانع مرجع [34] ..... ۱۰۴
- شکل ۴۱-۵: مقایسه‌ی نتایج روش ایزوژئومتریکی با نتایج آزمایشگاه با مرجع [34] ..... ۱۰۵
- شکل ۴۲-۵: هندسه‌ی مدل شکست سد ..... ۱۰۶
- شکل ۴۳-۵: مقایسه‌ی پروفیل سطح آب با استفاده از روش ایزوژئومتریکی و روش بدون شبکه (مرجع [3]). ..... ۱۰۷
- شکل ۴۴-۵: بردارهای سرعت بدست آمده از روش ایزوژئومتریکی ..... ۱۰۸
- شکل ۴۵-۵: پروفیل فشار بدست آمده از روش ایزوژئومتریکی (برحسب پاسکال). ..... ۱۰۹
- شکل ۴۶-۵: مقایسه‌ی نتایج روش ایزوژئومتریکی و بدون شبکه ([2]) با نتایج آزمایشگاهی ([33]). ..... ۱۱۰
- شکل ۴۷-۵: مقایسه‌ی نتایج روش ایزوژئومتریکی و SPH ([31]) و آزمایشگاهی ([33]). ..... ۱۱۰

## فهرست جداول

- جدول ۱-۲: توسعه‌ی توابع پایه در روش اجزای محدود و روش بدون شبکه (مرجع [1]) ..... ۹
- جدول ۲-۲: تاریخچه‌ی پیشرفت طراحی به وسیله‌ی کامپیوتر (مرجع [1]) ..... ۱۱
- جدول ۳-۲: تفاوت‌های روش ایزوژئومتریکی و روش اجزای محدود ..... ۱۴
- جدول ۴-۲: شباهت‌های روش ایزوژئومتریکی و روش اجزای محدود ..... ۱۵
- جدول ۱-۵: مثال‌های از کاربرد معادله‌ی پواسون  $-\nabla \cdot (k \nabla u) = f$  (مرجع [46]) ..... ۵۵
- جدول ۲-۵: مقایسه‌ی نتایج نقاط کنترلی مختلف با روش ایزوژئومتریکی ..... ۶۱
- جدول ۳-۵: مقایسه‌ی نتایج روش اجزای محدود و روش ایزوژئومتریکی در مدل‌سازی کانال شیبدار (برحسب m/s) ..... ۶۸
- جدول ۴-۵: مقایسه‌ی نتایج اثرات منظمی یا نامنظمی نقاط کنترلی روش ایزوژئومتریکی (برحسب m/s) ..... ۷۰
- جدول ۵-۵: مقایسه‌ی بررسی انواع بردار گرهی روش ایزوژئومتریکی (برحسب m/s) ..... ۷۳
- جدول ۶-۵: مقایسه‌ی اثرات تعداد نقاط کنترلی روش ایزوژئومتریکی (برحسب m/s) ..... ۷۶



## فهرست علائم و اختصارات

بردار گرهی در فضای پارامتری $\xi$	$\Xi$
بردار گرهی در فضای پارامتری $\eta$	$H$
$i$ امین تابع پایه‌ای ب-اسپلاین از درجه‌ی صفر	$N_{i,0}(\xi)$
$i$ امین تابع پایه‌ای ب-اسپلاین از درجه‌ی $p$	$N_{i,p}(\xi)$
منحنی تعریف شده توسط توابع پایه‌ی ب-اسپلاین و یا نریز	$C(\xi)$
سطح تعریف شده توسط توابع پایه‌ی ب-اسپلاین و یا نریز	$S(\xi, \eta)$
توابع پایه‌ای نسبی قطعه‌ای نریز	$R_{i,j}(\xi, \eta)$
چگالی سیال، $\text{kg/m}^3$	$\rho$
بردار سرعت، $\text{m/s}$	$\bar{\mathbf{u}}$
فشار، $\text{N/m}^2$	$\mathbf{P}$
شتاب ثقل، $\text{m/s}^2$	$\bar{\mathbf{g}}$
زمان، $s$	$t$
عملگر مشتق مادی	$\frac{D}{Dt}$
سرعت زمان $t$ ، $\text{m/s}$	$\mathbf{u}^t$
موقعیت در زمان $t$ ، $m$	$\mathbf{r}^t$
تغییر سرعت در طی مرحله‌ی پیش‌بینی، $\text{m/s}$	$\Delta \mathbf{u}^*$
تغییر سرعت در طی مرحله‌ی تصحیح، $\text{m/s}$	$\Delta \mathbf{u}^{**}$
فشار در زمان $t+1$ ، $\text{N/m}^2$	$\mathbf{P}^{t+1}$
سرعت زمان $t+1$ ، $\text{m/s}$	$\mathbf{u}^{t+1}$
موقعیت در زمان $t$ ، $m$	$\mathbf{r}^t$
موقعیت در زمان $t+1$ ، $m$	$\mathbf{r}^{t+1}$
کسر حجمی سیال	$F$
نسبت پرشدگی سلول دهنده	$F_D$
نسبت پرشدگی سلول گیرنده	$F_A$
دینامیک سیالات محاسباتی	CFD (Computational Fluid Dynamics)
طراحی با استفاده از کامپیوتر	CAD (Computer Aided Design)
توابع نریز	NURBS (Non-Uniform Rational B-Spline)
حجم سیال	VOF (Volume of fluid)



# فصل اول

## مقدمه

## ۱-۱ مقدمه

بررسی پدیده‌های طبیعی همواره مورد توجه محققان و پژوهشگران می‌باشد. در اوایل برای بدست آوردن اطلاعات دقیق در مورد فرآیندهای فیزیکی تحقیقات آزمایشگاهی در مورد آن پدیده انجام می‌شد. به علت هزینه‌ی زیاد آزمایش با همان مقیاس، مدل‌های با مقیاس کوچکتر ساخته می‌شود. با توجه به هزینه‌ی زیاد، خطا در اندازه‌گیری اطلاعات و طولانی بودن انجام آزمایش از مدل‌های تحلیلی برای حل معادلات حاکم استفاده شد. اما این روش برای تعداد بسیار محدودی از مسائل می‌توان استفاده کرد و با پیچیده‌تر شدن پدیده‌های طبیعی و لزوم حل دقیق و سریع آنها روش‌های تحلیلی، مناسب چنین مسائلی نیستند.

روش دیگر حل معادلات روش مدل‌سازی عددی<sup>۱</sup> می‌باشد، که با توجه به توسعه‌ی کامپیوترها رشد قابل ملاحظه‌ای داشته است. حل عددی جریان در حوزه‌ی سیالات، دینامیک سیالات محاسباتی<sup>۲</sup> نامیده می‌شود. از امتیازهای مهم مدل‌سازی عددی می‌توان به هزینه‌ی کم، زمان مناسب و اطلاعات کامل نسبت به کارهای آزمایشگاهی نام برد. با رشد بسیار سریع کامپیوترها روش عددی نیز به سرعت در حال پیشرفت می‌باشد.

روش‌های عددی عبارتند از: روش‌های تفاضل محدود<sup>۳</sup>، حجم محدود<sup>۴</sup>، اجزای محدود<sup>۵</sup> و روش‌های بدون شبکه<sup>۶</sup> می‌باشد. این روش‌ها در مسائل گوناگونی همچون دینامیک سیالات محاسباتی، مکانیک جامدات و غیره استفاده می‌شود. در واقع با مدل‌سازی معادلات حاکم به بررسی این پدیده‌ها پرداخته می‌شود. هر کدام از این روش‌ها دارای معایب و مزایایی هستند و پژوهشگران در تلاش برای بهبود این روش‌ها می‌باشند.

---

<sup>۱</sup> Numerical Model

<sup>۲</sup> Computational Fluid Dynamics (CFD)

<sup>۳</sup> Finite Difference Method

<sup>۴</sup> Finite Volume Method

<sup>۵</sup> Finite Element Method

<sup>۶</sup> Meshless Method

روش‌های تفاضل محدود و حجم محدود به‌طور وسیع در دینامیک سیالات محاسباتی استفاده می‌شوند. روش حجم محدود کاربرد بیشتری نسبت به روش تفاضل محدود دارد. به عنوان مثال نرم‌افزارهای همچون فلونت<sup>۱</sup>، سی اف ایکس<sup>۲</sup> و غیره براساس روش حجم محدود می‌باشند. روش اجزای محدود نسبت به دو روش گفته شده به‌طور محدودتری در دینامیک سیالات محاسباتی استفاده می‌شود. این روش در اوایل دهه‌ی ۱۹۴۰ بوجود آمد و در دهه‌ی ۱۹۵۰ تا ۱۹۶۰ پیشرفت قابل ملاحظه‌ی پیدا کرد و نرم‌افزارهای مانند نسترن<sup>۳</sup>، آسکا<sup>۴</sup>، انسیس<sup>۵</sup>، آباکوس<sup>۶</sup>، کتیا<sup>۷</sup>، سپ<sup>۸</sup> و غیره بوجود آمدند.

با وجود پیشرفت روز افزون، این روش‌ها دارای نقاط ضعف می‌باشند. مهمترین نقطه‌ی ضعف این روش‌ها تقریب هندسی می‌باشد. در روش اجزای محدود ایجاد هندسه‌ی واقعی به نحوه‌ی شبکه‌بندی کاملا وابسته است به طوری که در برخی از مسائل که دارای هندسه‌ی پیچیده می‌باشند، رسیدن به هندسه‌ی واقعی بسیار سخت می‌باشد. برای بهبود حل باید هندسه‌ی تقریب زده شده به هندسه‌ی واقعی نزدیک‌تر شود که این عمل باعث افزایش تعداد معادلات و افزایش زمان حل می‌شود. از طرف دیگر نقطه ضعف دیگر این روش‌ها ارضای شرایط مرزی می‌باشد که در روش‌های بدون شبکه این نقطه ضعف محسوس‌تر می‌باشد. تولید شبکه یکی از مهم‌ترین قسمت‌های تحلیل هر مسئله می‌باشد به طوری که تولید شبکه در صنایعی مانند اتومبیل‌سازی، هوافضا و کشتی‌سازی بیش از ۸۰ درصد زمان آماده‌سازی برای تحلیل را به خود اختصاص می‌دهد [1].

---

<sup>۱</sup> Fluent

<sup>۲</sup> CFX

<sup>۳</sup> NASTRAN

<sup>۴</sup> ASKA

<sup>۵</sup> ANSYS

<sup>۶</sup> ABAQUS

<sup>۷</sup> CATIA

<sup>۸</sup> SAP

بین سال‌های ۱۹۷۰ تا ۱۹۸۰ با توجه به پیشرفت قابل ملاحظه در علم مدل‌سازی هندسه ایده‌ی طراحی به‌وسیله‌ی کامپیوتر<sup>۱</sup> بوجود آمد. در سال ۲۰۰۵ هیوز و همکارانش<sup>۲</sup> روش جدیدی به‌منظور برطرف کردن نقاط ضعف روش‌های گفته شده، به نام تحلیل ایزوژئومتریکی<sup>۳</sup> معرفی کردند. این روش برگرفته شده از مفهوم ایزوپارامتریکی<sup>۴</sup> در روش اجزای محدود است. یکی از نقاط قوت این روش دقت بالا در مدل‌سازی هندسه می‌باشد. با توجه به استفاده از شرایط یکسان در مدل‌سازی هندسه و تقریب تابع مجهول، این روش "تحلیل ایزوژئومتریکی" نامیده می‌شود.

از مزایای این روش می‌توان به موارد زیر اشاره کرد:

- ۱- مدل‌سازی دقیق‌تر هندسه نسبت به دیگر روش‌های عددی و همچنین انعطاف‌پذیری قابل توجه در تولید مدل‌های هندسی پیچیده (بخصوص مرزهای دارای انحنا).
- ۲- عدم وابستگی مدل‌سازی هندسه به ریز یا درشت بودن شبکه‌بندی با توجه به استفاده از شبکه‌ی کنترلی.
- ۳- استفاده از روش‌های معمول اجزای محدود (مانند روش گالرکین<sup>۵</sup>) و دارا بودن بیشتر مزایای این روش.
- ۴- کاهش قابل ملاحظه‌ی ابعاد دستگاه معادلات و در نتیجه کاهش زمان حل دستگاه معادلات (که باعث کاهش حجم حافظه‌ی کامپیوتری برای ذخیره‌سازی اطلاعات می‌شود).
- ۵- نیاز کمتر به شبکه‌بندی مجدد در مسایلی که هندسه مساله در حین حل تغییر می‌کند (مانند روش‌های که با دیدگاه لاگرانژی حل می‌شوند و یا بهینه‌سازی شکل سازه‌ها که در آن مرزها در روند بهینه‌سازی تغییر می‌کنند).

---

<sup>۱</sup> Computer Aided Design (CAD)

<sup>۲</sup> Hughes et al

<sup>۳</sup> Isogeometric Ananalysis

<sup>۴</sup> Isoparametric

<sup>۵</sup> Galerkin method

۶- کاهش فایل‌های ورودی برای تعریف هندسه و قابل درک بودن آن.

۷- سادگی در مسائل بهبود شبکه و بالا بردن دقت حل این مسائل.

۸- قابلیت حل معادلات دیفرانسیل با ضرایب متغیر.

در بخش‌های بعدی روش تحلیل ایزوژئومتریک به‌طور مفصل توضیح داده می‌شود.

## ۱-۲ فرضیات و اهداف کلی رساله

با توجه به جدید بودن روش تحلیل ایزوژئومتریک و استفاده بیشتر آن در مکانیک سازه‌ها، در این رساله از این روش برای حل مسائل دینامیک سیالات محاسباتی استفاده شده است.

هدف این رساله استفاده از برخی خصوصیات گفته شده روش تحلیل ایزوژئومتریک در حوزه‌ی دینامیک سیالات محاسباتی می‌باشد. بدین منظور در ابتدا به حل معادله‌ی پخش که یکی از معادلات پر کاربرد در مکانیک سازه‌ها، دینامیک سیالات محاسباتی، انتقال حرارت و غیره می‌باشد، پرداخته می‌شود و با حل تحلیلی مقایسه می‌کنیم. سپس به مدل‌سازی توزیع سرعت در یک کانال شیب‌دار مستطیلی با جریان یکنواخت می‌پردازیم. برخی از اهداف این مدل‌سازی عبارتند از: بررسی برتری‌های روش تحلیل ایزوژئومتریک نسبت به روش اجزای محدود (مانند کاهش چشم‌گیر دستگاه معادلات با دقت یکسان) و همچنین استفاده از روش‌های معمول اجزای محدود در روش تحلیل ایزوژئومتریک برای مدل‌سازی می‌باشد. در بخش بعدی، هدف بررسی قابلیت روش تحلیل ایزوژئومتریک در مدل‌سازی هندسی مرزهای دارای انحنا می‌باشد. بدین منظور به مدل‌سازی جریان غیرچرخشی اطراف یک مانع مستطیلی و دایروی می‌پردازیم. یکی از خصوصیات مهم گفته شده در مورد روش تحلیل ایزوژئومتریک نیاز کمتر به شبکه‌بندی مجدد در مسائلی که هندسه‌ی مساله در حین حل تغییر می‌کند می‌باشد. برای بررسی این خصوصیت به مدل‌سازی شکست سد با استفاده از دیدگاه لاگرانژی در زمان‌های مختلف می‌پردازیم و با نتایج روش بدون شبکه (مرجع [2]) و روش اجزای محدود (مرجع [3]) مقایسه می‌شود.

## ۳-۱ ساختار کلی رساله

این رساله شامل شش فصل و یک پیوست می‌باشد. فصل اول (همین فصل) شامل مقدمه‌ی روش‌های عددی و فرضیات می‌باشد. در فصل دوم روش ایزوژئومتریک و فرمول‌بندی آن در حل معادلات دیفرانسیل شرح داده می‌شود. در فصل سوم اصول کلی روش‌های عددی توضیح داده می‌شود و به تفاوت‌های اساسی روش‌های عددی به‌طور مختصر پرداخته می‌شود. در فصل بعد به معرفی روش‌های مدل‌سازی هندسی مانند اسپلاین‌ها<sup>۱</sup> و نربرز<sup>۲</sup> که مبنا و اساس روش تحلیل ایزوژئومتریک می‌باشند پرداخته می‌شود. در فصل پنجم با استفاده از خصوصیات ذکر شده چند مسئله‌ی دینامیک سیالات محاسباتی با استفاده از روش تحلیل ایزوژئومتریک مورد بررسی قرار می‌گیرد. در فصل آخر ضمن اشاره به نوآوری‌های رساله، جمع‌بندی از نتایج بدست آمده گزارش می‌شود. و در انتهای این فصل چند پیشنهاد برای ادامه‌ی کار ارائه می‌شود.

---

<sup>۱</sup> Spline

<sup>۲</sup> Non-Uniform Rational B-Spline (NURBS)



# فصل دوم

## روش تحلیل اینورژنومریک

## ۱-۲ مقدمه

همان طور که گفته شد روش ایزوژئومتریکی ترکیبی از روش اجزای محدود و طراحی به کمک کامپیوتر می‌باشد. در ابتدای این فصل بر پیشرفت‌های هر دو بخش در طول زمان و چگونگی بوجود آمدن روش تحلیل ایزوژئومتریکی می‌پردازیم. در بخش بعدی اصول کلی روش ایزوژئومتریکی تشریح می‌شود و روش اجزای محدود و روش تحلیل ایزوژئومتریکی به طور مختصر با هم مقایسه می‌شود. در ادامه‌ی این فصل فرمول‌بندی مشتق‌گیری روش ایزوژئومتریکی توضیح داده می‌شود.

## ۲-۲ تاریخچه‌ی روش تحلیل ایزوژئومتریکی

کتاب آرگریس<sup>۱</sup> (سال ۱۹۶۰) اولین کتاب در مورد روش اجزای محدود است [4]. کلاف<sup>۲</sup> در سال ۱۹۶۰ اصطلاح اجزای محدود را برای این روش انتخاب کرد [5]. البته اولین المان محدود مثلثی<sup>۳</sup> در سال ۱۹۴۳ توسط کورانت<sup>۴</sup> ارائه شد [6]. هر چند که هنوز این المان به صورت گسترده استفاده می‌شود. در سال ۱۹۶۲ المان سه‌بعدی چهاروجهی خطی توسط گالاگر و همکاران<sup>۵</sup> [7] و در سال ۱۹۶۱ المان چهارگره‌ی دوخطی<sup>۶</sup> توسط تایگ<sup>۷</sup> [8] معرفی و توسعه یافت. آیزونز<sup>۸</sup> در سال ۱۹۶۶ [9] و زینکویچ و همکاران<sup>۹</sup> در سال ۱۹۶۸ [10] المان‌های ایزوپارامتریکی<sup>۱۰</sup> را معرفی نمودند. بعد از معرفی مفهوم تعداد گره‌های متغیر در المان و

---

<sup>۱</sup> Argyris

<sup>۲</sup> Clough

<sup>۳</sup> Linear triangle

<sup>۴</sup> Courant

<sup>۵</sup> Gallagher et al

<sup>۶</sup> Bilinear quadrilateral

<sup>۷</sup> Taig

<sup>۸</sup> Irons

<sup>۹</sup> Zienkiewicz et al

<sup>۱۰</sup> Isoparametric elements

المان‌های هشت گرهی سرندیپیتی<sup>۱</sup> توسط زینکوویچ [11] روش اجزای محدود به صورت گسترده‌تری استفاده شد. ریاضیدانانی مانند راویارت<sup>۲</sup> و توماس<sup>۳</sup> در سال ۱۹۷۷ [12]، برزی و همکاران<sup>۴</sup> در سال ۱۹۸۵ [13]، برزی و فرتین<sup>۵</sup> در سال ۱۹۹۱ [14]، ندلک<sup>۶</sup> در سال ۱۹۸۰ [15] و دموکوویچ<sup>۷</sup> در سال ۲۰۰۷ [16] در توسعه‌ی روش اجزای محدود بسیار چشم‌گیر بود. از سال ۱۹۹۲ روش جدیدی برای ساخت توابع پایه و تحلیل مسائل مهندسی به نام روش بدون شبکه معرفی شد [17]. در جدول ۱-۲ توابع پایه‌ی استفاده شده در طول زمان در روش اجزای محدود و روش بدون شبکه نشان داده شده است.

جدول ۱-۲: توسعه‌ی توابع پایه در روش اجزای محدود و روش بدون شبکه (مرجع [1])

۱۷۷۹	چندجمله‌ای‌های لاگرانژی <sup>۸</sup>
۱۸۶۴	چندجمله‌ای‌های هرمیتی <sup>۹</sup>
۱۹۴۳	المان خطی مثلثی
۱۹۶۰	نام‌گذاری روش اجزای محدود توسط کلاف
۱۹۶۱	چهاروجهی دوخطی
۱۹۶۲	چهاروجهی خطی <sup>۱۰</sup>
۱۹۶۵-۱۹۶۸	پیوستگی C <sup>1</sup> در اجزای مثلثی و چهاروجهی
۱۹۶۶	المان‌های ایزوپارامتریک
۱۹۶۸-۱۹۷۱	المان‌های با تعداد گره‌های متغیر
۱۹۹۲-۱۹۹۶	روش‌های بدون شبکه

<sup>۱</sup> eight-node serendipity

<sup>۲</sup> Raviart

<sup>۳</sup> Thomas

<sup>۴</sup> Brezzi et al

<sup>۵</sup> Fortin

<sup>۶</sup> Nedelec

<sup>۷</sup> Demkowicz

<sup>۸</sup> Lagrange polynomials

<sup>۹</sup> Hermite polynomials

<sup>۱۰</sup> Linear tetrahedron

در طی سالیان اخیر روش اجزای محدود با پیشرفت‌های علوم هندسه ترکیب شده است. شاخه‌ای از علم که به بررسی مدل‌سازی هندسی می‌پردازد طراحی به کمک کامپیوتر نامگذاری شده است. با توجه به اختلاف زمانی بین روش‌های طراحی به کمک کامپیوتر و روش اجزای محدود، این دو روش با هم استفاده نمی‌شد. آغاز پیدایش روش‌های اجزای محدود در سال‌های ۱۹۵۰ تا ۱۹۶۰ میلادی است اما روش‌های طراحی به کمک کامپیوتر در حدود سال‌های ۱۹۷۰ تا ۱۹۸۰ شکل گرفته است. پیشرفت مدل‌سازی هندسه و طراحی به کمک کامپیوتر توسط دو دانشمند فرانسوی در زمینه‌ی مهندسی اتومبیل به نام‌های پیر بزیر<sup>۱</sup> از کارخانه‌ی رنو<sup>۲</sup> و پائول دی‌کاستلیاو<sup>۳</sup> از کارخانه‌ی سیتروئن<sup>۴</sup> برای ساختن منحنی‌ها و سطوح صورت گرفت. شونبرگ<sup>۵</sup> در سال ۱۹۴۶ از اسپلاین‌ها، جهت تقریب‌سازی استفاده نمود [18]. در ابتدای دهه‌ی ۱۹۷۰ ریزنفلد<sup>۶</sup> [19] و ورسپرل<sup>۷</sup> [20] در رساله‌های دکتری پیشرفت‌های در ب-اسپلاین و ب-اسپلاین‌های نسبی (نرئز) انجام دادند. در دهه‌ی ۱۹۷۰ از پیشرفت‌های اسپلاین‌ها در صنایع انیشتمین به صورت گسترده استفاده شد. در سال ۲۰۰۳ ت-اسپلاین<sup>۸</sup> توسط سدربرگ و همکاران<sup>۹</sup> معرفی شد [21]. توسط همین محقق در سال ۲۰۰۸ نرئزهای قطع شده<sup>۱۰</sup> با ت-اسپلاین‌های ممتد<sup>۱۱</sup> جایگزین شد [22]. تاریخچه‌ی پیشرفت طراحی به وسیله‌ی کامپیوتر در جدول ۲-۲ به‌طور خلاصه نشان داده شده است [1].

---

<sup>۱</sup> Pierre Bezier

<sup>۲</sup> Renault

<sup>۳</sup> De Casteljaou

<sup>۴</sup> Citroen

<sup>۵</sup> Schoenberg

<sup>۶</sup> Reissenfeld

<sup>۷</sup> Versprille

<sup>۸</sup> T-splines

<sup>۹</sup> Sederberg et. al.

<sup>۱۰</sup> Trimmed NURBS

<sup>۱۱</sup> Untrimmed T-splines

سابین<sup>۱</sup> در سال ۱۹۹۷ ایده‌ی استفاده از توابع پایه‌ی اسپلاین در تحلیل مسائل مهندسی با عنوان المان‌های محدود اسپلاینی<sup>۲</sup> مطرح کرد [23]. هولیگ<sup>۳</sup> و کاگان<sup>۴</sup> در سال‌های ۲۰۰۳-۱۹۹۸ نیز از توابع اسپلاین به عنوان حل مسائل حساب تغییرات<sup>۵</sup> مطرح و توسعه دادند [24, 25]. هیوز در سال ۲۰۰۵ از توابع نربز برای تحلیل مسائل مهندسی استفاده کرد و روش تحلیل ایزوژئومتریکی را معرفی کرد [1]. بعد از معرفی هیوز و همکارانش این روش را توسعه دادند و همچنان ادامه دارد.

جدول ۲-۲: تاریخچه‌ی پیشرفت طراحی به وسیله‌ی کامپیوتر (مرجع [1])

۱۹۱۲	چند جمله‌ای برنشتین
۱۹۴۶	نامگذاری اسپلاین‌ها (توسط شونبرگ)
۱۹۵۹	الگوریتم دو کاستلو
۱۹۶۶-۱۹۷۲	منحنی‌ها و سطوح بزیر
۱۹۷۱-۱۹۷۲	الگوریتم کوکس و دوبور
۱۹۷۲	ب-اسپلاین
۱۹۷۵	نربز
۱۹۷۸	سطوح زیرناحیه‌ای
۱۹۸۰	الگوریتم گره‌گذاری اسلو
۱۹۹۶	ب-اسپلاین‌های مثلثی و هرمی
۲۰۰۳	ت-اسپلاین
۲۰۰۸	نربزهای قطع شده

به‌علت استفاده از توابع پایه برای مدل‌سازی دقیق هندسه‌ی جسم و همچنین تقریب زدن حل این روش ایزوژئومتریکی نام‌گذاری شد. این روش مشابه مفهوم ایزوپارامتریک<sup>۶</sup> در روش اجزای محدود می‌باشد که

<sup>۱</sup> Malcolm Sabin

<sup>۲</sup> Spline Finite Element

<sup>۳</sup> Hollig

<sup>۴</sup> Kagan

<sup>۵</sup> Variational problems

<sup>۶</sup> Isoparametric

توابع پایه برای تولید هندسه و تحلیل مساله یکی است. تفاوت اصلی بین مفهوم ایزوپارامتریک و روش ایزوژئومتریکی این است که در روش کلاسیک اجزای محدود ابتدا برای تقریب زدن حل مساله و بعد برای تولید هندسه‌ی جسم از توابع پایه استفاده می‌شود. در حالی که در روش ایزوژئومتریکی این روند کاملاً برعکس است بدین صورت که از توابع پایه ابتدا هندسه‌ی دقیق جسم ایجاد شده و بعد به عنوان توابع تقریب مساله حل می‌شود [1].

اجزای محدود کلاسیک: هندسه  $\Rightarrow$  تقریب مساله  
روش تحلیل ایزوژئومتریکی: هندسه  $\Leftarrow$  تقریب مساله

در چند سال اخیر، با توجه به قابلیت‌های روش تحلیل ایزوژئومتریکی استفاده از این روش به‌طور گسترده در زمینه‌های مختلفی مانند دینامیک سیالات [26-32] و مکانیک سازه‌ها [33-42] استفاده شده و با توجه به خصوصیات و برتری‌های گفته شده، این روش نسبت به دیگر روش‌ها در حال گسترش می‌باشد. هر چند که روش‌های دیگر دارای مزایایی نسبت به این روش می‌باشند.

## ۲-۳ اساس روش تحلیل ایزوژئومتریکی

روش اجزای محدود در بسیاری از مسائل مهندسی مانند مسائل مکانیک سازه، دینامیک سیالات محاسباتی، انتقال حرارت و غیره استفاده می‌شود و هر روز در حال پیشرفت می‌باشد. علیرغم پیشرفت‌های قابل ملاحظه‌ای که در این بخش صورت گرفته است باز هم دارای معایبی می‌باشد که روش ایزوژئومتریکی به منظور برطرف کردن این معایب بوجود آمده است. اساس روش ایزوژئومتریکی بر مبنای روش اجزای محدود می‌باشد. در این قسمت به تفاوت‌های اساسی بین این دو روش پرداخته می‌شود.

در روش اجزای محدود دامنه‌ی حل به المان که در واقع اجزای کوچکتری می‌باشند تقسیم می‌شوند. به مجموعه‌ای از المان‌ها که هندسه را تعریف می‌کنند شبکه‌ی اجزای محدود می‌گویند (شکل ۲-۱). در روش

اجزای محدود هر المان به دو حالت فیزیکی<sup>۱</sup> و پایه‌ای<sup>۲</sup> نشان داده می‌شود. در این روش روابط توابع پایه (توابع شکل یا توابع درون‌یاب) در فرم پایه‌ای استخراج شده و سپس با استفاده از یک نگاشت به فرم فیزیکی تبدیل می‌شوند (شکل ۲-۲). توابع پایه دارای خاصیت درون‌یابی می‌باشند و از گره‌های تعریف شده عبور می‌کنند.

در روش ایزوژئومتریکی برای تعریف هندسه از نقاط کنترل استفاده می‌شود که لزوماً بر فیزیک حل منطبق نمی‌باشد و فقط به عنوان یک چهارچوب کلی برای کنترل هندسه‌ی واقعی به کار می‌رود (نقش نقاط کنترل مانند نقاط شبکه و یا گره‌های گسسته‌سازی در روش‌های اجزای محدود و تفاضل محدود می‌باشد). نقاط کنترلی شبکه‌ی کنترلی را ایجاد می‌کنند (در مسائل دوبعدی شامل اعضای چهار ضلعی و در مسائل سه‌بعدی شامل اعضای شش وجهی). شبکه کنترلی مانند شبکه‌ی موجود در روش اجزای محدود می‌باشد و درجات آزادی در نقاط کنترلی تعریف می‌شود و متغیرهای کنترلی نامیده می‌شود. شبکه‌ی دیگری که در این روش استفاده می‌شود شبکه‌ی فیزیکی می‌باشد. که از تقسیم هندسه‌ی واقعی جسم بدست می‌آید. شبکه‌ی فیزیکی دارای زیردامنه‌ها<sup>۳</sup> (المان‌های بزرگتر<sup>۴</sup>) و اجزای گره‌ی<sup>۵</sup> (المان‌های کوچکتر<sup>۶</sup>) می‌باشند. همانند روش اجزای محدود زیردامنه‌ها به یکدیگر متصل شده و ماتریس ضرایب را تشکیل می‌دهند. هر زیردامنه به اجزای گره‌ی تقسیم می‌شوند. توضیحات گفته شده در شکل ۲-۳ نمایش داده شده است [1].

<sup>۱</sup> Physical element

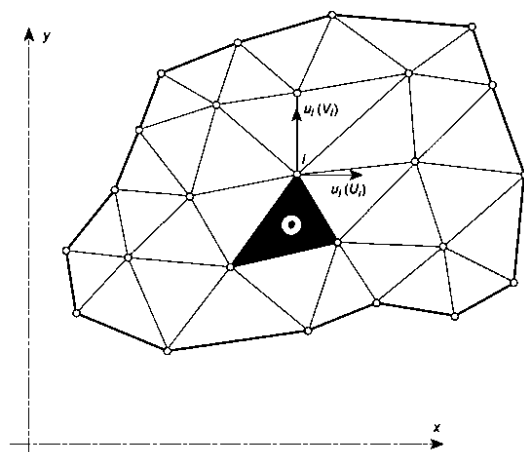
<sup>۲</sup> Base element

<sup>۳</sup> Patches

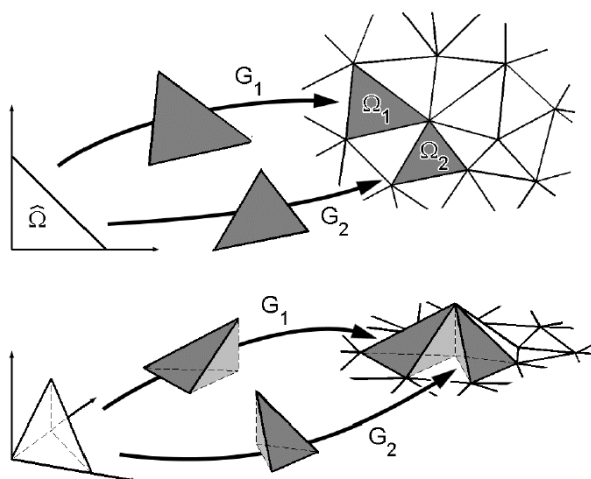
<sup>۴</sup> Macro elements

<sup>۵</sup> Knot elements

<sup>۶</sup> Micro elements



شکل ۲-۱: شبکه‌ی اجزای محدود



شکل ۲-۲: چگونگی نگاشت هندسه و توابع شکل در روش اجزای محدود (دو بعدی و سه بعدی)

با توجه به مطالب گفته شده تفاوت‌ها و شباهت‌های روش اجزای محدود و روش ایزوژئومتریک به ترتیب در

جدول ۲-۳ و جدول ۲-۴ مشخص شده است [43].

جدول ۲-۳: تفاوت‌های روش ایزوژئومتریک و روش اجزای محدود

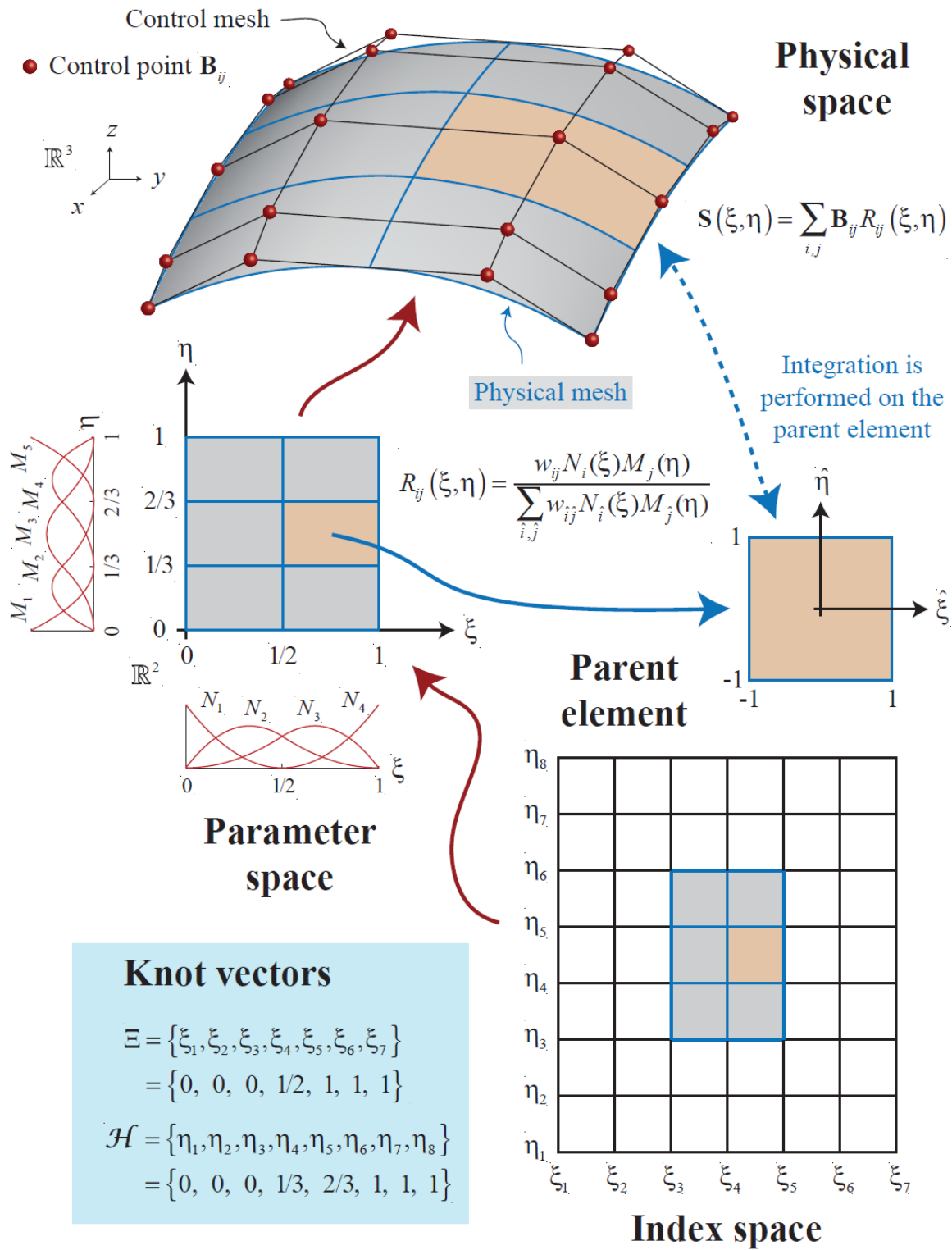
روش اجزای محدود	روش ایزوژئومتریک
نقاط گرهی	نقاط کنترلی
متغیرهای گرهی	متغیرهای کنترلی
شبکه‌ی اجزای محدود	مقادیر گره‌ها در بردار گرهی



انجام درون‌یابی نقاط و متغیرهای گرهی با توابع پایه	عدم انجام درون‌یابی نقاط و متغیرهای کنترلی با توابع
هندسه‌ی تقریبی	هندسه‌ی دقیق
توابع پایه‌ای از نوع چندجمله‌ای‌های جبری	توابع پایه‌ای نریز
زیر دامنه‌ها	وصله‌ها

جدول ۲-۴: شباهت‌های روش ایزوژئومتری و روش اجزای محدود

مفهوم ایزوپارامتریک
روش‌های حل معادلات دیفرانسیل
الگوریتم‌های یکسان کدهای کامپیوتری
خاصیت تاثیرگذاری در ناحیه‌ی محدود شده
چگونگی انتگرال‌گیری



شکل ۲-۳: انواع فضاهای بکار رفته در روش ایزوژئومتریک

## ۴-۲ فرمول بندی مشتق گیری روش تحلیل ایزوژئومتری

روابط زیر را در نظر می گیریم:

$$\begin{aligned} x(\xi, \eta) &= \sum_{i=0}^n \sum_{j=0}^m R_{i,j}(\xi, \eta) X_{i,j} \\ y(\xi, \eta) &= \sum_{i=0}^n \sum_{j=0}^m R_{i,j}(\xi, \eta) Y_{i,j} \\ z(\xi, \eta) &= \sum_{i=0}^n \sum_{j=0}^m R_{i,j}(\xi, \eta) Z_{i,j} \end{aligned} \quad (1-2)$$

مشتق گیری به صورت زیر انجام می شود [44]:

$$\begin{aligned} F(x, y, z, \xi, \eta) = 0 &\Rightarrow F = x - \sum_{i=0}^n \sum_{j=0}^m R_{i,j}(\xi, \eta) X_{i,j} = 0 \\ G(x, y, z, \xi, \eta) = 0 &\Rightarrow G = y - \sum_{i=0}^n \sum_{j=0}^m R_{i,j}(\xi, \eta) Y_{i,j} = 0 \\ H(x, y, z, \xi, \eta) = 0 &\Rightarrow H = z - \sum_{i=0}^n \sum_{j=0}^m R_{i,j}(\xi, \eta) Z_{i,j} = 0 \end{aligned} \quad (2-2)$$

با در نظر گرفتن  $x$  و  $y$  به عنوان متغیرهای مستقل:

$$\frac{\partial z}{\partial x} = - \frac{\begin{vmatrix} F_{,x} & F_{,\xi} & F_{,\eta} \\ G_{,x} & G_{,\xi} & G_{,\eta} \\ H_{,x} & H_{,\xi} & H_{,\eta} \end{vmatrix}}{\begin{vmatrix} F_{,z} & F_{,\xi} & F_{,\eta} \\ G_{,z} & G_{,\xi} & G_{,\eta} \\ H_{,z} & H_{,\xi} & H_{,\eta} \end{vmatrix}}, \quad \frac{\partial z}{\partial y} = - \frac{\begin{vmatrix} F_{,y} & F_{,\xi} & F_{,\eta} \\ G_{,y} & G_{,\xi} & G_{,\eta} \\ H_{,y} & H_{,\xi} & H_{,\eta} \end{vmatrix}}{\begin{vmatrix} F_{,z} & F_{,\xi} & F_{,\eta} \\ G_{,z} & G_{,\xi} & G_{,\eta} \\ H_{,z} & H_{,\xi} & H_{,\eta} \end{vmatrix}} \quad (3-2)$$

با قرار دادن  $u$  بجای  $z$  و ساده سازی روابط بالا داریم:

$$\frac{\partial u}{\partial x} = \frac{\frac{\partial u}{\partial \xi} \frac{\partial y}{\partial \eta} - \frac{\partial u}{\partial \eta} \frac{\partial y}{\partial \xi}}{\frac{\partial x}{\partial \xi} \frac{\partial y}{\partial \eta} - \frac{\partial x}{\partial \eta} \frac{\partial y}{\partial \xi}}, \quad \frac{\partial u}{\partial y} = \frac{-\frac{\partial u}{\partial \xi} \frac{\partial x}{\partial \eta} + \frac{\partial u}{\partial \eta} \frac{\partial x}{\partial \xi}}{\frac{\partial x}{\partial \xi} \frac{\partial y}{\partial \eta} - \frac{\partial x}{\partial \eta} \frac{\partial y}{\partial \xi}} \quad (4-2)$$

با تعریف:

(۵-۲)

$$\begin{aligned}
 J_{x\xi} &= \frac{\partial x}{\partial \xi} = \sum_{i=0}^n \sum_{j=0}^m \frac{\partial R_{i,j}^{p,q}(\xi, \eta)}{\partial \xi} X_{i,j}, & J_{x\eta} &= \frac{\partial x}{\partial \eta} = \sum_{i=0}^n \sum_{j=0}^m \frac{\partial R_{i,j}^{p,q}(\xi, \eta)}{\partial \eta} X_{i,j} \\
 J_{y\xi} &= \frac{\partial y}{\partial \xi} = \sum_{i=0}^n \sum_{j=0}^m \frac{\partial R_{i,j}^{p,q}(\xi, \eta)}{\partial \xi} Y_{i,j}, & J_{y\eta} &= \frac{\partial y}{\partial \eta} = \sum_{i=0}^n \sum_{j=0}^m \frac{\partial R_{i,j}^{p,q}(\xi, \eta)}{\partial \eta} Y_{i,j} \\
 J_{a\xi} &= \frac{\partial a}{\partial \xi} = \sum_{i=0}^n \sum_{j=0}^m \frac{\partial R_{i,j}^{p,q}(\xi, \eta)}{\partial \xi} a_{i,j}, & J_{a\eta} &= \frac{\partial a}{\partial \eta} = \sum_{i=0}^n \sum_{j=0}^m \frac{\partial R_{i,j}^{p,q}(\xi, \eta)}{\partial \eta} a_{i,j}
 \end{aligned}$$

دترمینان ماتریس ژاکوبی به صورت زیر محاسبه می‌شود:

$$\bar{J} = \begin{vmatrix} \frac{\partial x}{\partial \xi} & \frac{\partial y}{\partial \xi} \\ \frac{\partial x}{\partial \eta} & \frac{\partial y}{\partial \eta} \end{vmatrix} = \begin{vmatrix} J_{x\xi} & J_{y\xi} \\ J_{x\eta} & J_{y\eta} \end{vmatrix} = J_{x\xi} J_{y\eta} - J_{y\xi} J_{x\eta} \quad (۶-۲)$$

با قرار دادن رابطه‌ی (۵-۲) در رابطه‌ی (۶-۲):

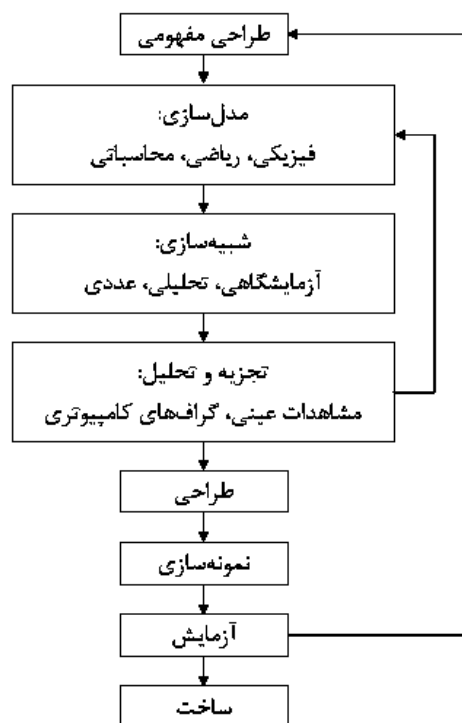
$$\begin{aligned}
 \frac{\partial u(\xi, \eta)}{\partial x(\xi, \eta)} &= \frac{J_{y\eta}}{\bar{J}} J_{u\xi} - \frac{J_{y\xi}}{\bar{J}} J_{u\eta} \\
 \frac{\partial u(\xi, \eta)}{\partial y(\xi, \eta)} &= -\frac{J_{x\eta}}{\bar{J}} J_{u\xi} - \frac{J_{x\xi}}{\bar{J}} J_{u\eta}
 \end{aligned} \quad (۷-۲)$$

# فصل سوم

## مروری مختصر بر روش های عددی

## ۳-۱ مقدمه

همان‌طور که قبلاً گفته شد با رشد سریع کامپیوترها و نرم‌افزارها، از روش عددی به‌طور وسیع‌تری برای بررسی پدیده‌های طبیعی استفاده می‌شود. فرآیند روش‌های عددی (مانند روش اجزای محدود، روش بدون شبکه و غیره) برای حل مسائل مهندسی را می‌توان در شکل ۳-۱ به‌طور خلاصه نشان داد.



شکل ۳-۱: فرآیند ساخت یک سیستم مهندسی

تمامی روش‌های عددی از دو بخش اساسی تقریب تابع<sup>۱</sup> و گسسته‌سازی معادلات حاکم<sup>۲</sup> تشکیل شده است. در بخش‌های بعدی به انواع روش‌های تقریب تابع و همچنین روش‌های گسسته‌سازی معادلات اشاره می‌شود و سعی بر آن است که تفاوت‌های این روش‌ها به‌طور مختصر بیان شود.

<sup>۱</sup> Function approximation

<sup>۲</sup> Discretization of the governing equations

## ۲-۳ تقریب تابع

مقادیر پارامترهای میدانی<sup>۱</sup> (مانند تغییر مکان، سرعت، فشار و غیره) در یک نقطه‌ی مشخص مانند  $(x,y,z)$  با مقادیر تابع در نقاط گرهی<sup>۲</sup> موجود در یک حوزه‌ی محلی کوچک به نام ناحیه‌ی تاثیر<sup>۳</sup> توسط رابطه‌ی زیر درون‌یابی<sup>۴</sup> می‌شود.

$$u(x, y, z) = \sum_{i=1}^n N_i(x, y, z) u_i \quad (1-3)$$

در این رابطه  $n$  تعداد نقاط موجود در ناحیه‌ی تاثیر گره مرجع مدنظر،  $N_i(x,y,z)$  تابع شکل گره  $i$  در نقطه‌ای با مختصات  $(x,y,z)$ ،  $u_i$  مقدار گرهی متغیر مدنظر در گره  $i$  و  $u(x,y,z)$  مقدار تقریب زده شده تابع مدنظر در نقطه‌ای با مختصات  $(x,y,z)$  است (شکل ۲-۳).

در شکل ۳-۳ یک گره مرجع و گره‌های موجود در ناحیه‌ی تاثیر آن در یک دامنه‌ی محاسباتی فرضی نشان داده شده است [45].

با توجه به معادله‌ی (۱-۳) تقریب تابع توسط توابع شکل صورت می‌گیرد. بنابراین انتخاب توابع شکل مناسب تاثیر بسیار زیادی در دقت تقریب تابع دارد.

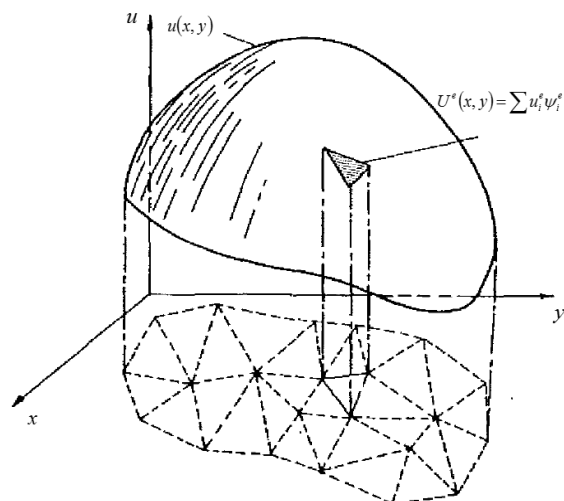
---

<sup>۱</sup> Field variables

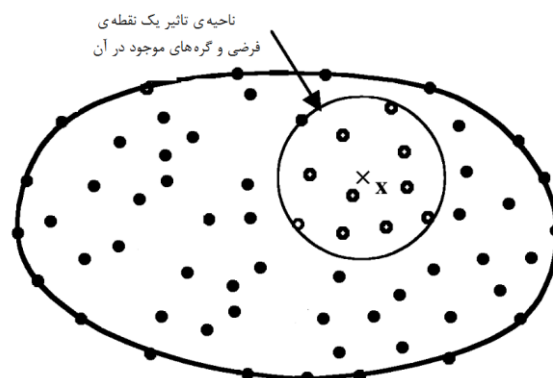
<sup>۲</sup> Nodal points

<sup>۳</sup> Support domain

<sup>۴</sup> Interpolation



شکل ۳-۲: نمایش تابع پیوسته با استفاده از توابع درون‌یاب المان‌های مثلثی سه نقطه‌ای (مرجع [46])



شکل ۳-۳: گره مرجع و گره‌های موجود در ناحیه‌ی تاثیر آن در یک دامنه‌ی محاسباتی (مرجع [46])

روش‌های مختلفی برای تولید تابع شکل وجود دارد. که عبارتند از:

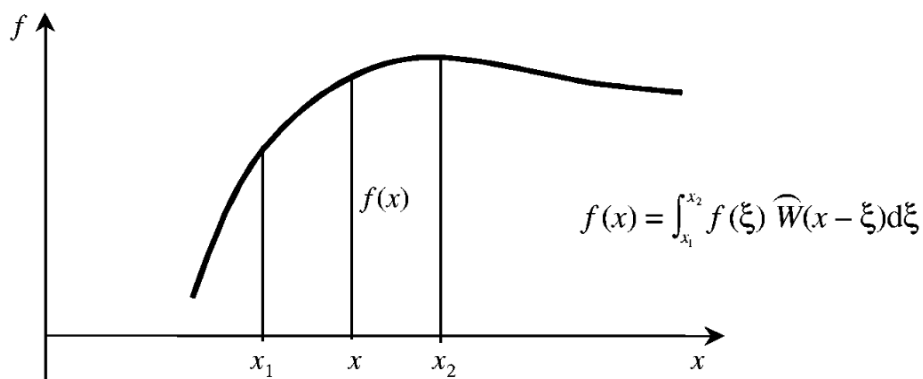
تولید تابع شکل با استفاده از فرم انتگرالی: در این روش تابع شکل توسط اطلاعات خود تابع در حوزه‌ی تاثیر

یک نقطه‌ی مشخص و یک تابع وزن دار به فرم انتگرالی ساخته می‌شود (مانند روش هیدرودینامیک ذرات هموار<sup>۱</sup>).

در شکل ۳-۴ نحوه‌ی تولید تابع شکل به فرم انتگرالی نشان داده شده است.

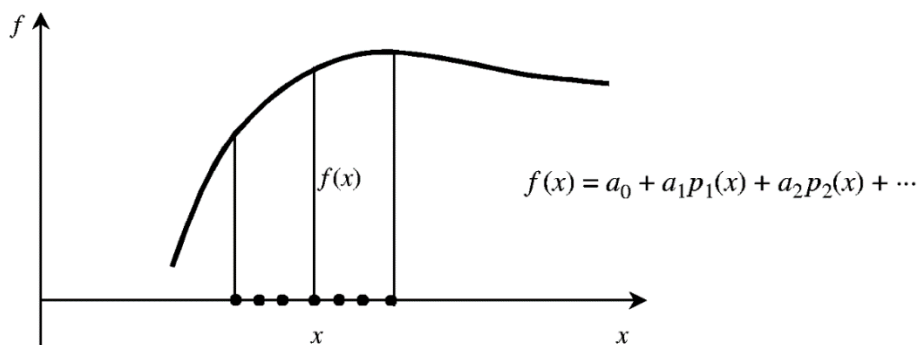
<sup>۱</sup> Smoothed Particle Hydrodynamic (SPH)





شکل ۳-۴: تولید تابع شکل به فرم انتگرالی

تولید تابع شکل با استفاده از توابع چندجمله‌ای<sup>۱</sup>: این روش از قدیمی‌ترین روش‌ها در تولید توابع شکل می‌باشد که در حوزه‌ی روش اجزای محدود به خوبی گسترش یافته است. در این روش از تعدادی مشخص جملات یک چندجمله‌ای با توجه به دقت مورد نظر استفاده می‌شود. چگونگی تولید توابع شکل با استفاده از این روش در شکل ۳-۵ نشان داده شده است.



شکل ۳-۵: تولید تابع شکل توسط توابع چندجمله‌ای

نشان داده شده که این روش در نهایت همان جواب‌های روش اول را با حجم عملیات بیشتر می‌دهد.

---

<sup>۱</sup> Polynomial function

۳-۳ گسسته‌سازی معادلات دیفرانسیلی<sup>۱</sup>

در روش‌های عددی پس از بکارگیری تابع شکل، خود تابع و مشتقات آن تقریب زده می‌شوند. با استفاده از این تقریب‌ها می‌توان معادلات حاکم را به شیوه‌های گوناگون گسسته‌سازی و در نهایت این معادلات را به یک دستگاه معادلات جبری با ضرایب مجهول تبدیل کرده و با حل آن مجهولات مساله را بدست آورد. به عنوان مثال در روش اجزای محدود محیط پیوسته به اجزای هندسی ساده‌تر و کوچکتری به نام جزء محدود<sup>۲</sup> تقسیم‌بندی می‌شود. سپس با انتخاب یک تابع شکل متغیرهای مدنظر برحسب تغییر مکان‌های مجهول گره‌های هر یک از این اجزاء تعریف می‌شود. معادلات هر یک از اجزاء با توجه به نحوه‌ی قرارگیری اجزا در کنار هم، روی هم‌گذاری<sup>۳</sup> و با در نظر گرفتن شرایط مرزی در محل گره‌ها، معادلات کل سیستم بدست می‌آید. با حل این معادلات مجهولات بدست می‌آیند.

چهار اصل برای گسسته‌سازی معادلات وجود دارد. اولین اصل براساس کار مجازی<sup>۴</sup> می‌باشد. که اصل همیلتون<sup>۵</sup> و اصل حداقل انرژی کل پتانسیل<sup>۶</sup> و غیره از این نوع می‌باشند. روش اجزای محدود<sup>۷</sup> بر پایه‌ی این اصل بنا شده است. دومین اصل براساس روش‌های باقیمانده<sup>۸</sup> می‌باشد که فرم کلی‌تری برای بدست آوردن معادلات اجزای محدود در مسائل مکانیک جامدات و دینامیک سیالات محاسباتی می‌باشد. سومین اصل بر مبنای سری تیلور<sup>۹</sup>

---

<sup>۱</sup> Discretization of the differential equations

<sup>۲</sup> Finite Element

<sup>۳</sup> Assemble

<sup>۴</sup> Virtual work

<sup>۵</sup> Hamilton

<sup>۶</sup> Minimum total potential energy

<sup>۷</sup> Finite element method

<sup>۸</sup> Residual methods

<sup>۹</sup> Taylor series

است که از این اصل در روش تفاضل محدود<sup>۱</sup> استفاده می‌شود. و آخرین اصل براساس قوانین بقا<sup>۲</sup> روی حجم محدود<sup>۳</sup> می‌باشد که روش حجم محدود<sup>۴</sup> براساس این روش می‌باشد. فرمول‌بندی که براساس دو روش اول بدست می‌آید شکل ضعیف<sup>۵</sup> گفته می‌شود. دستگاه معادلات گسسته‌سازی شده براساس روش شکل ضعیف پایدارتر هستند و نتایج بدست آمده دارای دقت بیشتری می‌باشند. با توجه به تجربیات مهندسی، دو اصل اول بیشتر در مکانیک جامدات استفاده می‌شود در حالی که دو اصل دیگر بیشتر برای دینامیک سیالات محاسباتی (مانند جریان سیالات و انتقال حرارت) استفاده می‌شود. اگر چه می‌توان از روش اجزای محدود در مدل‌سازی مسائل دینامیک سیالات محاسباتی استفاده کرد و همچنین از روش تفاضل محدود برای شبیه‌سازی مسائل مکانیک جامدات بهره برد.

پس از گسسته‌سازی معادلات و استفاده از تقریب تابع و مشتقات آنها معادله‌ی دیفرانسیلی به معادله‌ی جبری تبدیل می‌شوند. با توجه به مسئله‌ی مدنظر الگوریتم‌های مختلفی برای حل معادلات جبری وجود دارد. برای انتخاب الگوریتم مناسب باید دو نکته را رعایت کرد. یکی حجم اطلاعات ذخیره شده و دیگری زمان لازم برای پردازش اطلاعات می‌باشد.

به‌طور کلی دو روش برای حل همزمان معادلات وجود دارد. روش‌های مستقیم<sup>۶</sup> و روش‌های تکراری<sup>۷</sup>. از جمله روش‌های مستقیم می‌توان به معکوس‌سازی ماتریس ضرایب<sup>۸</sup>، روش حذفی گوس<sup>۹</sup> و روش تجزیه‌ی ماتریس<sup>۱۰</sup>

---

<sup>۱</sup> Finite difference method

<sup>۲</sup> Conservation laws

<sup>۳</sup> Finite volume

<sup>۴</sup> Finite volume method

<sup>۵</sup> Weak form

<sup>۶</sup> Direct methods

<sup>۷</sup> Iterative methods

<sup>۸</sup> Invertible matrix

<sup>۹</sup> Gauss elimination method

<sup>۱۰</sup> Matrix decomposition method

اشاره کرد. این روش‌های برای ماتریس‌های با ابعاد کوچک بسیار مناسب هستند. در روش مستقیم به علت اینکه فرآیند حل بر تمامی ماتریس اعمال می‌شود، فضای مورد نیاز برای ذخیره کردن اطلاعات زیاد می‌باشد. البته می‌توان طوری برنامه‌نویسی نمود که مونتاژ کردن المان‌ها فقط بر روی قسمتی که حل روی آن صورت می‌گیرد انجام شود و بدین ترتیب کاهش قابل ملاحظه‌ای در ذخیره‌سازی اطلاعات ایجاد کرد.

روش‌های تکراری شامل روش‌های ژاکوبی<sup>۱</sup>، روش گوس سایدل<sup>۲</sup> و غیره می‌باشد. این روش‌ها برای دستگاه‌های نسبتاً بزرگتر به خوبی عمل می‌کنند. به این شکل که جلوی مونتاژ کردن کامل المان‌ها را گرفته و بدین ترتیب حجم ذخیره‌سازی را کاهش می‌دهد.

### ۳-۴ عوامل خطا در روش‌های عددی

روش‌های عددی روش‌های تقریبی هستند بنابراین دارای خطا می‌باشند، این خطاها به سه گروه تقسیم می‌شوند [46]:

#### ۳-۴-۱ خطای ناشی از تقریب زدن دامنه‌ی حل مساله<sup>۳</sup>

در روش‌های عددی نمی‌توان دامنه‌ی حل مساله را با المان‌های مدنظر به طور کامل مدل‌سازی نمود، به خصوص زمانی که هندسه دارای مرزهای پیچیده می‌باشد. البته می‌توان با ریزتر نمودن شبکه‌بندی المان‌ها این خطا را کاهش داد که موجب افزایش تعداد مجهولات و در نتیجه افزایش تعداد معادلات و افزایش فضای مورد نیاز برای ذخیره‌ی اطلاعات می‌شود.

<sup>۱</sup> Jacobi method

<sup>۲</sup> Gauss-Seidel method

<sup>۳</sup> Domain approximation error

۳-۴-۲ خطای ناشی از گرد کردن اعداد<sup>۱</sup>

با توجه به اینکه تعداد محدودی از ارقام یک عدد را می‌توان در کامپیوتر ذخیره نمود، استفاده از این عدد در روش‌های عددی باعث ایجاد خطا خواهد شد و به علت اینکه محاسبات به صورت زنجیروار به نتایج مراحل قبلی وابسته است، موجب گسترش خطا در جواب نهایی خواهد شد. با ریزتر کردن شبکه‌بندی خطای ناشی از تقریب زدن دامنه‌ی حل مساله کاهش می‌یابد اما خطای ناشی از گرد کردن اعداد افزایش می‌یابد. برای کاهش این نوع خطا، باید تعداد ارقام یک عدد که در کامپیوتر نگهداری می‌شود افزایش داد. این امر موجب افزایش حافظه‌ی مورد نیاز و همچنین بالا رفتن زمان حل می‌شود.

۳-۴-۳ خطای ناشی از گسسته‌سازی معادلات<sup>۲</sup>

این نوع خطا ناشی از تقریب زدن میدان جابجایی به وسیله‌ی توابع شکل می‌باشد. با ریزتر کردن شبکه‌ی المان‌بندی و بالا بردن درجه‌ی توابع شکل می‌توان این نوع خطا را کاهش داد. که این نیز موجب افزایش تعداد مجهولات و در نتیجه افزایش تعداد معادلات و افزایش فضای مورد نیاز برای ذخیره‌ی اطلاعات می‌شود.

---

<sup>۱</sup> Quadrature and finite arithmetic errors

<sup>۲</sup> Approximation error



# فصل چہارم

## اسلامی ماونٹرز

## ۴-۱ مقدمه

با توجه به این روش تحلیل ایزوژئومتریک ترکیبی از روش هندسی (استفاده از تکنولوژی طراحی به وسیله کامپیوتر) و روش اجزای محدود می‌باشد لذا در این قسمت به بخش هندسه‌ی روش تحلیل ایزوژئومتریک پرداخته می‌شود.

## ۴-۲ فرم‌های نمایش اشکال هندسی

بطور کلی برای مدل‌سازی هندسی منحنی‌ها و سطوح دو روش عمومی وجود دارد:

۱- معادلات ضمنی<sup>۱</sup>

۲- توابع پارامتری<sup>۲</sup>

معادله‌ی ضمنی یک منحنی که در صفحه‌ی  $xy$  قرار می‌گیرد به صورت  $f(x, y) = 0$  نشان داده می‌شود. این معادله رابطه‌ی ضمنی بین  $x$  و  $y$  مختصات نقاط قرار گرفته روی منحنی را بیان می‌کند. به عنوان مثال دایره به شعاع واحد با مرکز در مبدا، به صورت  $f(x, y) = x^2 + y^2 - 1 = 0$  نوشته می‌شود.

در معادله‌ی پارامتریک، مختصات نقاط روی منحنی به صورت جداگانه با یک تابع صریح از یک متغیر مستقل بیان می‌شود:

$$C(\xi) = (x(\xi), y(\xi)) \quad a \leq \xi \leq b \quad (1-4)$$

<sup>۱</sup> Implicit equations

<sup>۲</sup> Parametric functions



بنابراین،  $C(\xi)$  یک تابع با مقدار برداری است، که تابعی از متغیر مستقل  $\xi$  می‌باشد. اگرچه بازه‌ی  $[a, b]$  اختیاری است، ولی معمولاً این بازه به صورت  $[0, 1]$  در نظر گرفته می‌شود. معادله‌ی ربع دایره را می‌توان به دو صورت زیر نشان داد:

$$\begin{cases} x(\xi) = \cos \xi \\ y(\xi) = \sin \xi \end{cases} \quad 0 \leq \xi \leq \frac{\pi}{2} \quad (2-4)$$

با در نظر گرفتن  $t = \tan(\xi/2)$  معادلات بالا به معادلات زیر تبدیل می‌شوند:

$$\begin{cases} x(t) = \frac{1-t^2}{1+t^2} \\ y(t) = \frac{2t}{1+t^2} \end{cases} \quad 0 \leq t \leq 1 \quad (3-4)$$

بنابراین معادلات یک منحنی در حالت پارامتری منحصر به فرد نمی‌باشد.

هر کدام از روش‌های گفته شده دارای معایب و مزایایی می‌باشد به عنوان مثال محاسبه‌ی مختصات یک نقطه روی منحنی در حالت ضمنی کار مشکلی است. در حالی که محاسبه‌ی مقدار تابع با استفاده از مختصات یک نقطه در حالت پارامتریک مشکل است. ولی برای مدل‌سازی یک شکل هندسی در کامپیوتر استفاده از فرم پارامتریک ساده‌تر است [47, 48].

۳-۴ منحنی‌های بزیر<sup>۱</sup>

یکی از توابع مهم، توابع چند جمله‌ای<sup>۲</sup> می‌باشد. در ادامه به مطالعه‌ی دو روش عمومی یعنی روش توانی<sup>۳</sup> و روش بزیر<sup>۴</sup> می‌پردازیم. هر چند که هر دو روش از لحاظ ریاضی معادل هستند ولی روش بزیر برای مدل‌سازی شکل‌های مختلف در برنامه‌نویسی مناسب‌تر می‌باشد.

یک منحنی مبنای توانی مرتبه‌ی  $n$  به صورت زیر می‌باشد:

$$C(\xi) = (x(\xi), y(\xi), z(\xi)) = \sum_{i=0}^n a_i \xi^i \quad 0 \leq \xi \leq 1 \quad (۴-۴)$$

که  $a_i = (x_i, y_i, z_i)$ ، بنابراین:

$$x(\xi) = \sum_{i=0}^n x_i \xi^i, \quad y(\xi) = \sum_{i=0}^n y_i \xi^i, \quad z(\xi) = \sum_{i=0}^n z_i \xi^i \quad (۵-۴)$$

منحنی درجه‌ی  $n$ ام بزیر به صورت زیر تعریف می‌شود:

$$C(\xi) = \sum_{i=0}^n B_{i,n}(\xi) \mathbf{P}_i \quad 0 \leq \xi \leq 1 \quad (۶-۴)$$

$\mathbf{P}_i$  ضرایب هندسی موسوم به نقاط کنترلی<sup>۵</sup> و  $B_{i,n}(\xi)$  چندجمله‌ای کلاسیک برنشتین<sup>۶</sup> نامیده می‌شود که به صورت

زیر بدست می‌آید:

<sup>۱</sup> Bézier Curves

<sup>۲</sup> Polynomial

<sup>۳</sup> Power Basis Form

<sup>۴</sup> Bézier

<sup>۵</sup> Control Points

<sup>۶</sup> Bernstein

$$B_{i,n}(\xi) = \frac{n!}{i!(n-i)!} \xi^i (1-\xi)^{n-i} \quad (۷-۴)$$

این توابع پایه شامل خواص زیر می‌باشد:

- برای تمام مقادیر  $0 \leq \xi \leq 1$ ،  $i$ ،  $n$  همواره مقدار  $B_{i,n}(\xi)$  مثبت است ( $B_{i,n}(\xi) \geq 0$ ).
- $B_{0,n}(0) = B_{n,n}(1) = 1$
- جمع مقادیر این توابع در  $0 \leq \xi \leq 1$  برابر واحد است ( $\sum_{i=0}^n B_{i,n}(\xi) = 1$ ).
- $B_{i,n}(\xi)$  دارای یک مقدار حداکثر در بازه‌ی  $[0, 1]$  می‌باشد که در  $\xi = \frac{i}{n}$  قرار می‌گیرد.
- به ازای هر  $n$  مجموعه‌ی چندجمله‌ای  $B_{i,n}(\xi)$  نسبت به  $\xi = 1/2$  متقارن است.
- تعریف بازگشتی:

$$B_{i,n}(\xi) = (1-\xi)B_{i,n-1}(\xi) + \xi B_{i-1,n-1}(\xi)$$

$$B_{i,n}(\xi) \cong 0 \quad \text{اگر } i < 0 \text{ یا } i > n \text{ باشد،}$$

- مشتقات این توابع به صورت زیر محاسبه می‌شود:

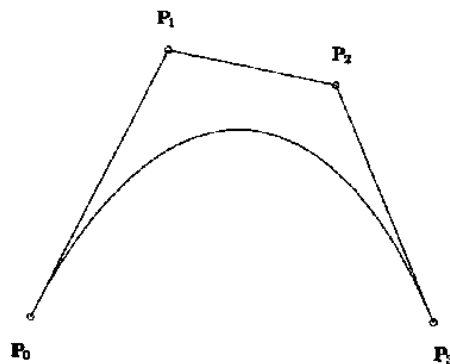
$$B'_{i,n}(\xi) = \frac{dB_{i,n}(\xi)}{d\xi} = n(B_{i-1,n-1}(\xi) - B_{i,n-1}(\xi))$$

$$B_{-1,n-1}(u) \cong B_{n,n-1}(u) \cong 0 \quad \text{که}$$

به عنوان مثال منحنی بزیر از درجه‌ی ۳ به صورت زیر می‌باشد:

$$C(\xi) = (1-\xi)^3 P_0 + 3\xi(1-\xi)^2 P_1 + 3\xi^2(1-\xi) P_2 + \xi^3 P_3 \quad (۸-۴)$$

که در شکل ۱-۴ نشان داده شده است.



شکل ۴-۱: منحنی بزیر درجه‌ی ۳

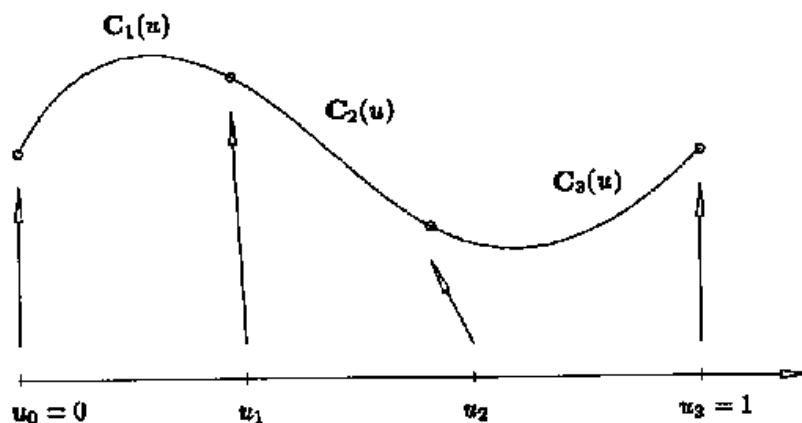
مهم‌ترین خصوصیات منحنی بزیر:

- چند ضلعی کنترل تقریباً شکل منحنی می‌باشد.
- نقاط کنترلی ابتدایی و انتهایی روی منحنی قرار می‌گیرند ( $C(0) = P_0, C(1) = P_3$ ).
- شیب منحنی در نقاط انتهایی موازی با شیب خط اتصال نقاط کنترلی می‌باشد.
- و غیره.

#### ۴-۴ منحنی‌های ب-اسپلاین

برای ایجاد دقیق اشکال پیچیده، استفاده از منحنی‌های بزیر مناسب نمی‌باشد، بدین علت که در نظر گرفتن تنها یک چندجمله‌ای برای ایجاد چنین اشکالی مناسب نمی‌باشد. به‌عنوان مثال برای برازش یک منحنی بزیر به  $n$  نقطه نیاز به چندجمله‌ای از درجه  $n-1$  داریم. استفاده از درجات بالا باعث افزایش حجم محاسبات و همچنین ناپایداری‌های عددی می‌شود. در صورتی که می‌توان منحنی استفاده کرد که شامل  $m$  قطعه‌ی چندجمله‌ای درجه  $n$  باشد. با توجه به این مطلب توابع پایه‌ای ب-اسپلاین مطرح شد.

در شکل ۴-۲ منحنی  $C(\xi)$  که دارای  $m=3$  قطعه‌ی چندجمله‌ای درجه  $n$  می‌باشد، نشان داده شده است.



شکل ۴-۲: منحنی چندجمله‌ای‌های قطعه‌ای درجه ۳ با سه قسمت

#### ۴-۴-۱ توابع پایه‌ای ب-اسپلاین

با فرض مجموعه‌ی زیر

$$\Xi = \{\xi_1, \xi_2, \dots, \xi_{n+p+1}\} \quad (۹-۴)$$

که به آن بردار گرهی گفته می‌شود، به شرطی که

$$\xi_{i+1} \geq \xi_i \quad i=1, 2, \dots, n+p+1$$

که در آن  $\xi_i$   $i$ امین گره<sup>۱</sup>،  $i$  شاخص گره<sup>۲</sup>،  $p$  درجه‌ی چندجمله‌ای و  $n$  تعداد توابع پایه‌ای ب-اسپلاین می‌باشد. چنانچه گره‌ها دارای فواصل برابر باشند، بردار یکنواخت<sup>۳</sup> گفته می‌شود. ولی چنانچه دارای فواصل نابرابر باشند، بردار غیریکنواخت<sup>۴</sup> گویند. تکرار گره در فضای پارامتریک مجاز است که به آن تکرار گره<sup>۵</sup> گفته می‌شود. بردار

<sup>۱</sup> Knot

<sup>۲</sup> Knot Index

<sup>۳</sup> Uniform Vector

<sup>۴</sup> Non-Uniform Vector

<sup>۵</sup> Repeated Knots

گره‌ی باز<sup>۱</sup> نامیده می‌شود که اولین و آخرین گره‌ها  $p+1$  مرتبه تکرار شده باشد ( $p$  درجه‌ی توابع پایه‌ی اسپلاین). در بردارهای که به صورت باز هستند، ابتدا و انتهای منحنی بر روی نقاط کنترلی قرار می‌گیرند، ولی در بردارهای که باز نیستند این انطباق وجود ندارد. بردارهای گره‌ی استاندارد به صورت زیر تعریف می‌شود:

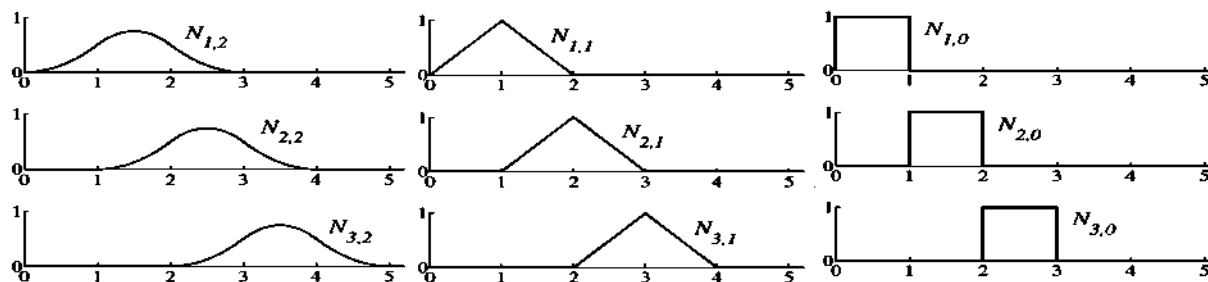
$$\Xi = \left\{ \underbrace{a, \dots, a}_{p+1}, \xi_{p+1}, \dots, \xi_{m+p+1}, \underbrace{b, \dots, b}_{p+1} \right\} \quad (10-4)$$

آمین تابع پایه‌ی ب-اسپلاین درجه‌ی  $p$  (مرتبه‌ی  $p+1$ )، به صورت  $N_{i,p}(\xi)$  نشان داده می‌شود و به صورت زیر تعریف خواهد شد.

$$N_{i,0}(\xi) = \begin{cases} 1 & \text{if } \xi_i \leq \xi < \xi_{i+1} \\ 0 & \text{otherwise} \end{cases} \quad (11-4)$$

$$N_{i,p}(\xi) = \frac{\xi - \xi_i}{\xi_{i+p} - \xi_i} N_{i,p-1}(\xi) + \frac{\xi_{i+p+1} - \xi}{\xi_{i+p+1} - \xi_{i+1}} N_{i+1,p-1}(\xi)$$

رابطه‌ی بالا به فرمول بازگشتی کاکس-دی‌بور<sup>۲</sup> مربوط می‌شود. با استفاده از روابط بالا برای بردار گره‌ای یکنواخت  $\Xi = \{1, 2, 3, 4, \dots\}$  بدست می‌آید [43].



شکل ۳-۴: توابع پایه‌ی مرتبه‌ی ۰، ۱ و ۲ برای بردار گره‌ای یکنواخت  $\Xi = \{1, 2, 3, 4, \dots\}$  (مرجع [43])

<sup>۱</sup> Open Knot Vector

<sup>۲</sup> Cox-de Boor recursion formula

توابع پایه‌ای ب-اسپلاین با  $p=0$  و  $p=1$  به ترتیب همان توابع استاندارد تکه‌ای ثابت و خطی اجزای محدود می‌باشند. توابع پایه‌ای ب-اسپلاین درجه‌ی دو متفاوت از توابع پایه‌ای درجه‌ی دو در اجزای محدود می‌باشد. در واقع تفاوتی که بین آنها وجود دارد جابجایی نسبت به هم می‌باشد.

با فرض درجه‌ی  $p$  و بردار گره‌ای  $\Xi = \{\xi_1, \xi_2, \dots, \xi_{n+p+1}\}$  خصوصیات مهم توابع پایه‌ای ب-اسپلاین به صورت زیر خواهد بود [47]:

- $N_{i,0}(\xi)$  تابع پایه‌ی  $i$  است و به غیر از  $\xi \in [\xi_i, \xi_{i+1})$  مقدار آن صفر می‌باشد.
- محاسبه‌ی  $p$  امین درجه‌ی توابع به صورت مثلث بریده شده بدست می‌آید:

$$\begin{array}{cccc}
 N_{0,0} & & & \\
 & N_{0,1} & & \\
 N_{1,0} & & N_{0,2} & \\
 & N_{1,1} & & N_{0,3} \\
 N_{2,0} & & N_{1,2} & \\
 & N_{2,1} & & N_{1,3} \\
 N_{3,0} & & N_{2,2} & \vdots \\
 & N_{3,1} & & \vdots \\
 N_{4,0} & & \vdots & \\
 & \vdots & & 
 \end{array}$$

- برای  $p > 0$ ،  $N_{i,p}(\xi)$  ترکیب خطی از دو تابع پایه با درجه‌ی  $p-1$  می‌باشد.
- محاسبه‌ی یک مجموعه توابع پایه نیاز به تعیین یک بردار گره  $\Xi$  و درجه‌ی  $p$  دارد.
- در رابطه‌ی (۴-۱۱) در صورت مواجه با کسر  $\frac{0}{0}$  برابر صفر در نظر می‌گیریم.

---

<sup>۱</sup> Step Function

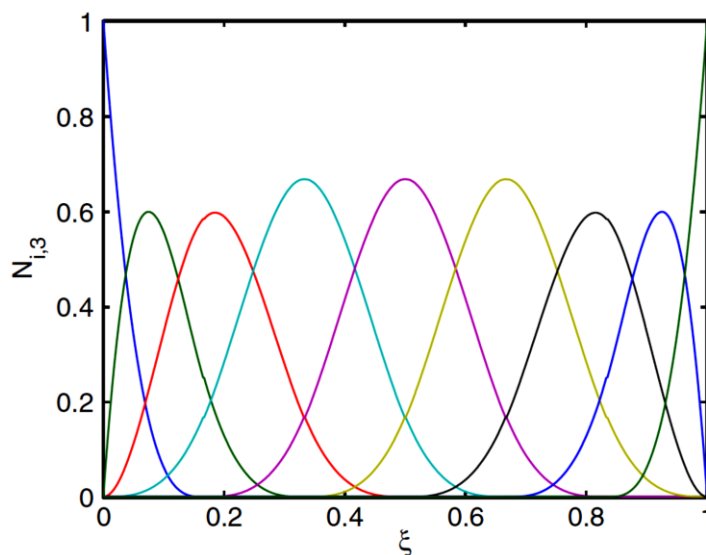
- اگر  $\xi$  خارج از بازه‌ی  $[\xi_i, \xi_{i+p+1})$  قرار بگیرد،  $N_{i,p}(\xi) = 0$  (خصوصیت کنترل محلی<sup>۱</sup>). این خصوصیت با استفاده از روش مثلثی مشخص می‌شود.
- بازه‌ی نیمه باز،  $[\xi_i, \xi_{i+1})$ ، آمین دهانه‌ی گره‌ای<sup>۲</sup> نامیده می‌شود، که می‌تواند طول آنها صفر باشد، زیرا استفاده از گره‌های تکراری در بردار گره‌ای مجاز می‌باشد.
- در هر دهانه‌ی گره فرضی،  $(\xi_j, \xi_{j+1})$ ، حداکثر  $p+1$  از  $N_{i,p}$  مقدار غیر صفر دارند (شامل توابع  $(N_{j-p,p}, \dots, N_{j,p})$ ).
- برای تمام  $i, p$ ، و  $\xi$  داریم  $N_{i,p}(\xi) \geq 0$ .
- جمع مقادیر این توابع در  $0 \leq \xi \leq 1$  برابر واحد است  $(\sum_{j=i-p}^i N_{j,p}(\xi) = 1)$ .
- تمامی مشتقات  $N_{i,p}(\xi)$  برای هر بازه‌ی دلخواه  $(\xi_i, \xi_{i+1})$  وجود دارد.
- به جزء مورد  $p=0$ ، دقیقاً یک مقدار ماکزیمم دارد.
- چنانچه گره‌های داخلی تکرار نباشند  $N_{i,p}(\xi)$  در هر گره  $p-1$  بار مشتق‌پذیر و پیوسته می‌باشد. حال چنانچه یک گره  $k$  مرتبه تکرار شده باشد  $p-k$  بار مشتق‌پذیر و پیوسته خواهد بود. بنابراین افزایش درجه‌ی تابع باعث افزایش پیوستگی، و افزایش تعداد گره‌های تکراری باعث کاهش پیوستگی می‌شود.
- اگر تعداد گره‌ها برابر  $m+1$  باشد، آنگاه  $n+1$  تابع پایه وجود دارد و رابطه‌ی  $n=m-p-1$  برقرار خواهد بود.

در شکل ۴-۴ توابع پایه‌ای درجه‌ی سوم برای بردار گره‌ای باز  $\Xi = \{0, 0, 0, 0, 1/6, 1/3, 1/2, 2/3, 5/6, 1, 1, 1, 1\}$  نشان داده شده است.

<sup>۱</sup> Local support property

<sup>۲</sup> Knot span





شکل ۴-۴: توابع پایه‌ای درجه‌ی سوم بردار گره‌ای باز  $\Xi = \{0, 0, 0, 0, 1/6, 1/3, 1/2, 2/3, 5/6, 1, 1, 1, 1\}$

#### ۴-۴-۲ مشتقات توابع پایه‌ای ب-اسپلاین

مشتقات توابع پایه‌ای ب-اسپلاین بر حسب توابع پایه‌ای درجه‌ی پایین‌تر بدست می‌آید. برای بردار گره‌ای  $\Xi$  و درجه‌ی چندجمله‌ای  $p$ ، آمین مشتق تابع پایه برابر است با:

$$\frac{d}{d\xi} N_{i,p}(\xi) = \frac{p}{\xi_{i+p} - \xi_i} N_{i,p-1}(\xi) - \frac{p}{\xi_{i+p+1} - \xi_{i+1}} N_{i+1,p-1}(\xi) \quad (12-4)$$

مشتقات مرتبه بالاتر برابر است با:

$$\frac{d^k}{d^k \xi} N_{i,p}(\xi) = \frac{p}{\xi_{i+p} - \xi_i} \left( \frac{d^{k-1}}{d^{k-1} \xi} N_{i,p-1}(\xi) \right) - \frac{p}{\xi_{i+p+1} - \xi_{i+1}} \left( \frac{d^{k-1}}{d^{k-1} \xi} N_{i+1,p-1}(\xi) \right) \quad (13-4)$$

البته به صورت زیر نیز قابل محاسبه می‌باشد:

$$\frac{d^k}{d^k \xi} N_{i,p}(\xi) = \frac{p!}{(p-k)!} \sum_{j=0}^k \alpha_{k,j} N_{i+j,p-k}(\xi) \quad (14-4)$$

که

$$\alpha_{0,0} = 1$$

$$\alpha_{k,0} = \frac{\alpha_{k-1,0}}{\xi_{i+p-k+1} - \xi_i}$$

$$\alpha_{k,j} = \frac{\alpha_{k-1,j} - \alpha_{k-1,j-1}}{\xi_{i+p+j-k+1} - \xi_{i+j}} \quad j = 1, \dots, k-1$$

$$\alpha_{k,k} = \frac{-\alpha_{k-1,k-1}}{\xi_{i+p+1} - \xi_{i+k}}$$

که  $\frac{d^k}{d\xi^k} N_{i,p}(\xi)$  مشتق مرتبه‌ی  $k$ ام تابع پایه‌ای  $N_{i,p}(\xi)$  می‌باشد. باید توجه شود که مقدار  $k$  نایستی از مقدار  $p$  تجاوز نماید. هر گاه مخرج کسر در روابط بالا برابر صفر شود، کل کسر مساوی صفر در نظر می‌گیریم. الگوریتم‌های مناسبی برای محاسبه‌ی روابط بالا نوشته شده است [47].

#### ۴-۳-۴ منحنی‌های ب-اسپلاین

منحنی‌های ب-اسپلاین با درجه‌ی  $p$  به صورت زیر تعریف می‌شود:

$$C(\xi) = \sum_{i=1}^n N_{i,p}(\xi) \mathbf{P}_i \quad a \leq \xi \leq b \quad (15-4)$$

که در آن  $\{\mathbf{P}_i\}$  مجموعه نقاط کنترلی و  $N_{i,p}(\xi)$  توابع پایه‌ی درجه‌ی  $p$ ام ب-اسپلاین می‌باشد که بر روی بردار گرهی غیریکنواخت (۴-۱۰) تعریف می‌شوند. چند ضلعی که با استفاده از نقاط کنترل بدست می‌آید، چند ضلعی کنترلی<sup>۱</sup> نامیده می‌شود.

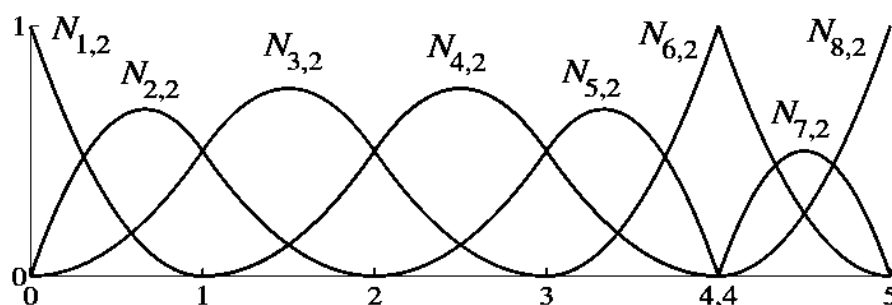
مراحل محاسبه‌ی موقعیت یک نقطه بر روی منحنی ب-اسپلاین به ازای یک مقدار مشخص  $\xi$ :

<sup>۱</sup> Control Polygon

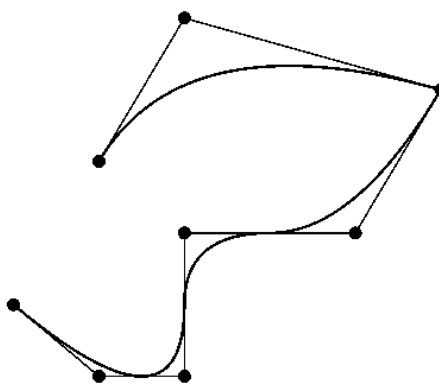
- یافتن بازه‌ای که  $\xi$  در آن قرار گرفته است.
- محاسبه‌ی کلیه‌ی توابع پایه‌ی غیر صفر مربوط به  $\xi$ .
- ضرب مقدار توابع پایه‌ی غیر صفر در نقاط کنترلی مربوط به آن.

به‌عنوان مثال با در نظر گرفتن توابع پایه‌ی درجه‌ی دو شکل ۴-۵ با بردار گره‌ای باز غیریکنواخت

$\Xi = \{0, 0, 0, 1, 2, 3, 4, 4, 5, 5, 5\}$ ، منحنی شکل ۴-۶ از توابع پایه‌ای این بردار گره‌ای بدست می‌آید [1].



شکل ۴-۵: توابع پایه‌ای درجه‌ی دوم بردار گره‌ای باز غیریکنواخت  $\Xi = \{0, 0, 0, 1, 2, 3, 4, 4, 5, 5, 5\}$

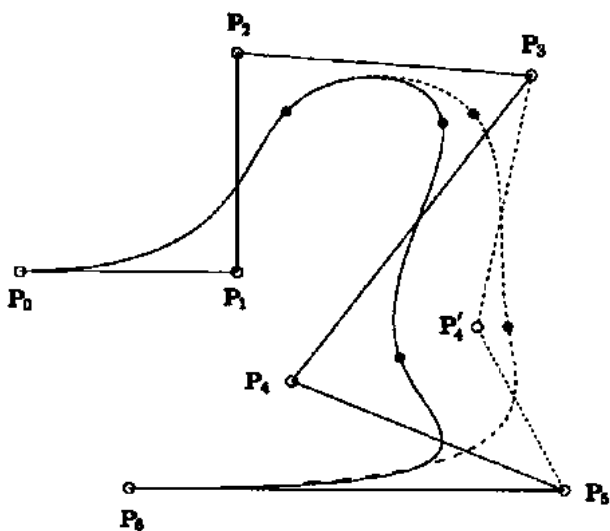


شکل ۴-۶: منحنی ب-اسپلاین با استفاده از توابع پایه‌ای شکل ۴-۵ (نقاط کنترل)

برخی از خصوصیات منحنی‌های ب-اسپلاین [47]:

- اگر  $n=p$  و  $\Xi = \{0, \dots, 0, 1, \dots, 1\}$  باشد، منحنی ب-اسپلاین تبدیل به یک منحنی بزیر می‌شود.
- نقاط کنترلی ابتدایی و انتهایی روی منحنی قرار دارند ( $C(0) = P_0, C(1) = P_n$ ).

- برای اعمال یک نگاهت بر روی منحنی کافی است این نگاهت را بر روی نقاط کنترلی منحنی اعمال کنیم.
- تمام نقاط منحنی در داخل چندضلعی کنترلی محدب ایجاد شده به وسیله نقاط کنترلی قرار می‌گیرد.
- قابلیت اصلاح محلی (ناحیه‌ای)<sup>۱</sup>: با جابجایی  $P_i$ ،  $C(\xi)$  فقط در داخل بازه‌ی  $(\xi_i, \xi_{i+p+1})$  تغییر می‌کند.
- چون برای  $\xi \notin [\xi_i, \xi_{i+p+1})$ ،  $N_{i,p}(\xi) = 0$  می‌باشد. مانند شکل ۴-۷ با تغییر نقطه‌ی کنترلی  $P_4$  به  $P'_4$  فقط قسمت‌هایی از منحنی که داخل بازه‌ی  $(1, 1/4]$  قرار دارند تغییر می‌کند.



شکل ۴-۷: منحنی درجه ۳ بر روی بردار گره‌ای  $\Xi\{0,0,0,0,1/4,1/2,3/4,1,1,1,1\}$

- چندضلعی کنترلی تقریب خطی تکه‌ای از منحنی می‌باشد؛ این تقریب با اضافه کردن گره یا بالاتر بردن درجه بهتر می‌شود.
- با عبور از یک گره،  $N_{i,p}(\xi)$  (و  $P_i$  متناظر با آن) تغییر می‌یابد.

<sup>۱</sup> Local Modification Scheme

- پیوستگی و مشتق‌پذیری  $C(\xi)$  از  $N_{i,p}(\xi)$  پیروی می‌کند (چون  $C(\xi)$  فقط یک ترکیب خطی از  $N_{i,p}(\xi)$  می‌باشد). بنابراین،  $C(\xi)$  در نقاط بین گره‌ها به‌طور نامحدود پیوسته و مشتق‌پذیر می‌باشد و در روی نقاط گره‌ای  $p-k$  مرتبه مشتق‌پذیر و پیوسته می‌باشد ( $k$  تعداد تکرار گره مورد نظر).

#### ۴-۴-۴ مشتقات منحنی‌های ب-اسپلاین

اگر  $C^{(k)}(\xi)$  برابر  $k$  امین مشتق  $C(\xi)$  باشد، برابر است با:

$$C^{(k)}(\xi) = \sum_{i=0}^n N_{i,p}^{(k)}(\xi) \mathbf{P}_i \quad (16-4)$$

#### ۴-۵ سطوح ب-اسپلاین

با در نظر گرفتن شبکه‌ی کنترل  $\{\mathbf{P}_{i,j}\}$ ،  $i=1, 2, \dots, n$ ،  $j=1, 2, \dots, m$  (بنابراین تعداد نقاط کنترلی برابر  $(n+1) \times (m+1)$ ، و مرتبه‌های چندجمله‌ای  $p$  و  $q$ ، همچنین بردارهای گره‌ای

$$\Xi = \left\{ \underbrace{0, \dots, 0}_{p+1}, \xi_{p+1}, \dots, \xi_{r-p-1}, \underbrace{1, \dots, 1}_{p+1} \right\}, \quad H = \left\{ \underbrace{0, \dots, 0}_{q+1}, \eta_{q+1}, \dots, \eta_{s-q-1}, \underbrace{1, \dots, 1}_{q+1} \right\}$$

به‌طوری‌که بردار گره‌ای  $\Xi$  دارای  $r+1$  گره و  $H$  دارای  $s+1$  گره باشد، سطح ب-اسپلاین به‌صورت زیر تعریف می‌شود:

$$S(\xi, \eta) = \sum_{i=1}^n \sum_{j=1}^m N_{i,p}(\xi) M_{j,q}(\eta) \mathbf{P}_{i,j} \quad (17-4)$$

<sup>۱</sup> Control Net

که  $N_{i,p}(\xi)$  و  $M_{j,q}(\eta)$  به ترتیب توابع پایه‌ای ب-اسپلاین تک متغیره‌ی مرتبه‌ی  $p$  و  $q$ ، متناظر با بردارهای گره‌ای  $\Xi$  و  $H$  می‌باشد.

مراحل محاسبه‌ی موقعیت یک نقطه روی سطح ب-اسپلاین به ازای مقادیر  $\xi$  و  $\eta$ :

- یافتن بازه‌ای که  $\xi \in [\xi_i, \xi_{i+1})$  در آن قرار گرفته است.
- محاسبه‌ی کلیه‌ی توابع پایه‌ای غیر صفر  $N_{i-p,p}(\xi), \dots, N_{i,p}(\xi)$ .
- یافتن بازه‌ای که  $\eta \in [\eta_j, \eta_{j+1})$  در آن قرار گرفته است.
- محاسبه‌ی کلیه‌ی توابع پایه‌ای غیر صفر  $N_{j-q,q}(\eta), \dots, N_{j,q}(\eta)$ .
- ضرب مقدار توابع پایه‌ی غیر صفر در نقاط کنترلی متناظرشان.

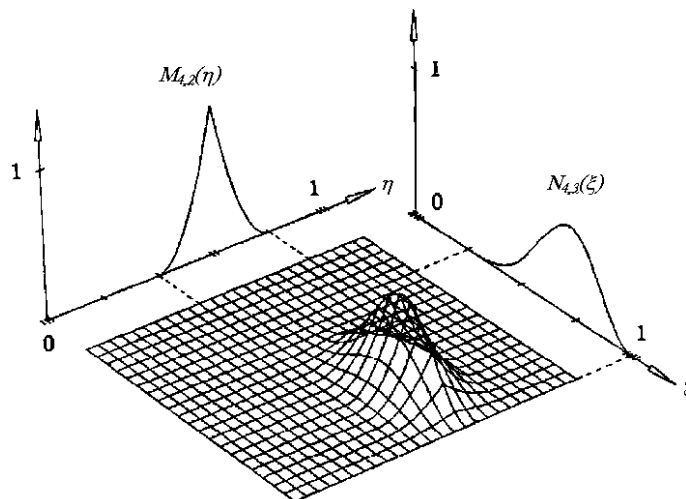
به عنوان مثال با فرض  $p=q=2$  و دو بردار گره‌ی  $\Xi = \{0,0,0,2/5,3/5,1,1,1\}$  و  $H = \{0,0,0,1/5,1/2,4/5,1,1,1\}$  مقدار  $C(1/5,3/5) = ?$

$$\xi = 1/5 \in [\xi_2 = 2/5, \xi_3 = 3/5) \quad , \quad \eta = 3/5 \in [\eta_4 = 1/2, \eta_4 = 4/5)$$

بنابراین مقدار  $C(1/5,3/5)$  برابر است:

$$C(1/5,3/5) = \begin{bmatrix} N_{0,2}(1/5) & N_{1,2}(1/5) & N_{2,2}(1/5) \end{bmatrix} \begin{bmatrix} P_{0,2} & P_{0,3} & P_{0,4} \\ P_{1,2} & P_{1,3} & P_{1,4} \\ P_{2,2} & P_{2,3} & P_{2,4} \end{bmatrix} \begin{bmatrix} N_{2,2}(3/5) \\ N_{3,2}(3/5) \\ N_{4,2}(3/5) \end{bmatrix}$$

شکل ۴-۸ نمونه‌ای از سطوح ب-اسپلاین را نشان می‌دهد [47].



شکل ۴-۸: توابع پایه‌ای مربعی  $\times$  مکعبی.  $N_{4,3}(\xi)M_{4,2}(\eta)$ ;  $\Xi = \{0,0,0,0,1/4,1/2,3/4,1,1,1,1\}$  و

$$H = \{0,0,0,1/5,2/5,3/5,4/5,1,1,1\}$$

خصوصیات مهم سطوح ب-اسپلاین:

- غیر منفی<sup>۱</sup>: برای تمام  $i, j, p, q, \xi, \eta$  داریم  $N_{i,p}(\xi)M_{j,p}(\eta) \geq 0$
  - مقدار واحد<sup>۲</sup>: برای تمام  $(\xi, \eta) \in [0,1] \times [0,1]$   $\sum_{i=0}^n \sum_{j=0}^m N_{i,p}(\xi)M_{j,p}(\eta) = 1$
  - اگر  $(\xi, \eta)$  بیرون از ناحیه‌ی مستطیلی  $[\xi_i, \xi_{i+p+1}] \times [\eta_j, \eta_{j+q+1}]$  باشد؛  $N_{i,p}(\xi)M_{j,q}(\eta) = 0$
- (شکل ۴-۸).
- اگر  $p > 0$  و  $q > 0$  باشد، بنابراین  $N_{i,p}(\xi)M_{j,q}(\eta)$  دقیقا دارای یک ماکزیمم می‌باشد (شکل ۴-۸).
  - قابلیت اصلاح محلی: اگر  $P_{i,j}$  جابجا شود، فقط در مستطیل  $[\xi_i, \xi_{i+p+1}] \times [\eta_j, \eta_{j+q+1}]$  تغییر ایجاد می‌شود.

<sup>۱</sup> Non-negativity

<sup>۲</sup> Partition of unity

## ۴-۵-۱ مشتقات سطوح ب-اسپلاین

با در نظر گرفتن  $(\xi, \eta)$  ثابت، مشتقات جزئی  $S(\xi, \eta)$  برابر است با:

$$\frac{\partial^{k+l}}{\partial \xi^k \partial \eta^l} S(\xi, \eta) = \sum_{i=0}^n \sum_{j=0}^m N_{i,p}^{(k)} M_{j,p}^{(l)} \mathbf{P}_{i,j} \quad (18-4)$$

## ۴-۶ منحنی‌های نربز

یکی از معایب توابع پایه‌ی ب-اسپلاین مدل‌سازی اشکال هندسی دارای انحناء مانند دایره و غیره می‌باشد. برای برطرف کردن این مشکل با کسری و وزن‌دار کردن این توابع، توابع نربز معرفی شدند. یک منحنی نربز درجه‌ی  $p$  به صورت زیر تعریف می‌شود:

$$C(\xi) = \frac{\sum_{i=0}^n N_{i,p}(\xi) w_i \mathbf{P}_i}{\sum_{i=0}^n N_{i,p}(\xi) w_i} \quad a \leq \xi \leq b \quad (19-4)$$

که  $\{\mathbf{P}_i\}$  نقاط کنترلی (که چندضلعی کنترل را تشکیل می‌دهند)،  $\{w_i\}$  پارامترهای وزنی، و  $\{N_{i,p}(\xi)\}$ ،  $p$ امین درجه‌ی توابع پایه‌ی ب-اسپلاین روی بردار گره غیر متناوب و غیریکنواخت که به صورت زیر تعریف می‌شوند:

$$\Xi = \left\{ \underbrace{a, \dots, a}_{p+1}, \xi_{p+1}, \dots, \xi_{m-p-1}, \underbrace{b, \dots, b}_{p+1} \right\}$$

با در نظر گرفتن  $a=0$ ،  $b=1$  و  $w_i > 0$  برای تمام  $i$  و

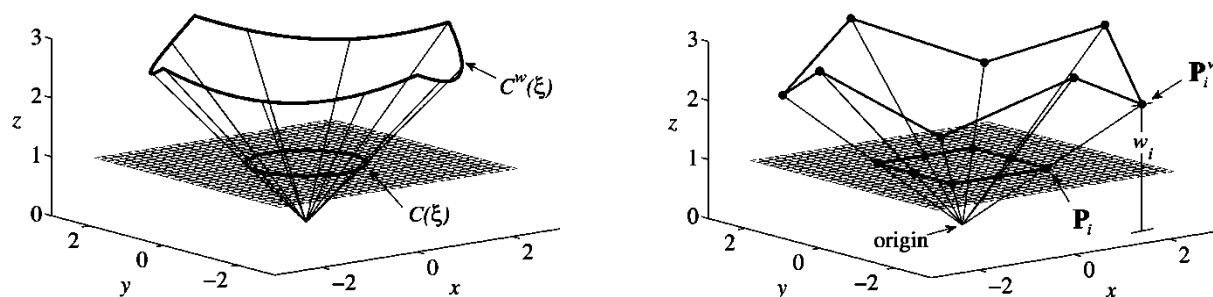
$$R_{i,p}(\xi) = \frac{N_{i,p}(\xi) w_i}{W(\xi)} = \frac{N_{i,p}(\xi) w_i}{\sum_{j=0}^n N_{j,p}(\xi) w_j} \quad (20-4)$$

رابطه‌ی (۱۹-۴) به صورت زیر نوشته می‌شود:



$$C(\xi) = \sum_{i=0}^n R_{i,p}(\xi) \mathbf{P}_i \quad (21-4)$$

مجموعه‌ی توابع پایه‌ی گویا<sup>۱</sup> می‌باشند و خصوصیات آن مشابه همان توابع پایه می‌باشد. در شکل ۹-۴ منحنی نربز با منحنی ب-اسپلاین مقایسه شده است [43].



شکل ۹-۴: مقایسه‌ی منحنی نربز با منحنی ب-اسپلاین

#### ۴-۶-۱ مشتقات منحنی‌های نربز

بطور کلی مشتقات توابع گویا پیچیده و دارای مخرج‌هایی با توان‌های بالایی می‌باشند، به علت اینکه منحنی‌های نربز به صورت گویا می‌باشند، مشتقات آنها کمی مشکل است. به منظور محاسبه‌ی مشتقات منحنی‌های نربز رابطه‌ی زیر را در نظر می‌گیریم:

$$C^w(\xi) = \sum_{i=0}^n N_{i,p}(\xi) \mathbf{P}_i^w \quad (22-4)$$

که در آن

<sup>۱</sup> Rational Basis Function

$$\mathbf{P}_i^w = (w_i x_i, w_i y_i, w_i z_i, w_i)$$

برای محاسبه‌ی مشتقات منحنی فرض می‌کنیم  $C(\xi) = \frac{w(\xi)C(\xi)}{w(\xi)} = \frac{A(\xi)}{w(\xi)}$ . بنابراین مشتق اول برابر است با:

$$C'(\xi) = \frac{w(\xi)A'(\xi) - w'(\xi)A(\xi)}{w(\xi)^2} = \frac{w(\xi)A'(\xi) - w'(\xi)w(\xi)C(\xi)}{w(\xi)^2} = \frac{A'(\xi) - w'(\xi)C(\xi)}{w(\xi)} \quad (23-4)$$

برای مشتقات بالاتر از قانون لایبنیتز استفاده می‌کنیم:

$$C^{(k)}(\xi) = \frac{A^{(k)}(\xi) - \sum_{i=1}^k \binom{k}{i} w^{(i)}(\xi) C^{(k-i)}(\xi)}{w(\xi)} \quad (24-4)$$

که

$$A^{(k)}(\xi) = w(\xi)C^{(k)}(\xi) + \sum_{i=1}^k \binom{k}{i} w^{(i)}(\xi) C^{(k-i)}(\xi)$$

مشتق نقاط ابتدایی و انتهایی  $C(\xi)$  برابر است با:

$$C'(0) = \frac{P}{\xi_{p+1}} \frac{w_1}{w_0} (\mathbf{P}_1 - \mathbf{P}_0) \quad (25-4)$$

$$C'(1) = \frac{P}{1 - \xi_{m-p-1}} \frac{w_{n-1}}{w_n} (\mathbf{P}_n - \mathbf{P}_{n-1})$$

#### ۴-۶-۲ خواص منحنی نریز

در این قسمت به برخی از خواص مهم منحنی نریز اشاره می‌شود:

- غیرمنفی: برای تمامی  $i$ ،  $p$  و  $\xi \in [0,1]$  داریم  $R_{i,p}(\xi) \geq 0$ .

- مقدار واحد: برای تمام  $\xi \in [0,1]$  داریم  $\sum_{i=0}^n R_{i,p}(\xi) = 1$ .

- $R_{0,p}(0) = R_{n,p}(1) = 1$
- برای  $p > 0$ ،  $R_{i,p}(\xi)$  در بازه‌ی  $\xi \in [0, 1]$  دارای یک مقدار ماکزیمم می‌باشد.
- خاصیت کنترل محلی: برای  $\xi \notin [\xi_i, \xi_{i+p+1}]$ ،  $R_{i,p}(\xi) = 0$ . همچنین در هر دهانه‌ی گره‌ی فرضی، در  $p+1$  از  $R_{i,p}(\xi)$  مخالف صفر خواهد بود.
- اگر  $w_i = 1$  باشد آنگاه  $R_{i,p}(\xi) = N_{i,p}(\xi)$ . یعنی  $N_{i,p}(\xi)$  حالت خاصی از  $R_{i,p}(\xi)$  است.
- و غیره.

#### ۷-۴ سطوح نربز

چنانچه سطح نربز دارای درجه‌ی  $p$  در راستای  $\xi$  و درجه‌ی  $q$  در راستای  $\eta$  باشد، می‌توان به صورت زیر تعریف کرد:

$$S(\xi, \eta) = \frac{\sum_{i=0}^n \sum_{j=0}^m N_{i,p}(\xi) M_{j,q}(\eta) w_{i,j} \mathbf{P}_{i,j}}{\sum_{i=0}^n \sum_{j=0}^m N_{i,p}(\xi) M_{j,q}(\eta) w_{i,j}} \quad 0 \leq \xi, \eta \leq 1 \quad (۲۶-۴)$$

$\{\mathbf{P}_{i,j}\}$  شبکه‌ی کنترلی می‌باشد که در دو جهت تعریف شده است،  $\{w_{i,j}\}$  وزن‌های مربوط به نقاط کنترل، و  $\{N_{i,p}(\xi)\}$  و  $\{M_{i,q}(\eta)\}$  توابع پایه‌ی غیر گویا ب-اسپلاین<sup>۱</sup> روی بردارهای گره‌ی زیر می‌باشند:

$$\Xi = \left\{ \underbrace{0, \dots, 0}_{p+1}, \xi_{p+1}, \dots, \xi_{r-p-1}, \underbrace{1, \dots, 1}_{p+1} \right\}, \quad H = \left\{ \underbrace{0, \dots, 0}_{q+1}, \eta_{q+1}, \dots, \eta_{s-q-1}, \underbrace{1, \dots, 1}_{q+1} \right\}$$

که  $r = n + p + 1$  و  $s = m + q + 1$

<sup>۱</sup> Nonrational B-Spline Basis Function

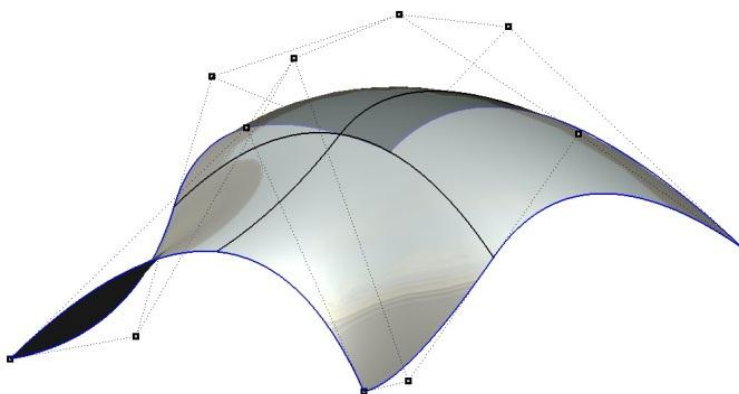
با در نظر توابع پایه‌ای نسبی زیر

$$R_{i,j}(\xi, \eta) = \frac{N_{i,p}(\xi)M_{j,q}(\eta)w_{i,j}}{\sum_{k=0}^n \sum_{l=0}^m N_{k,p}(\xi)N_{l,q}(\eta)w_{k,l}} \quad (27-4)$$

رابطه‌ی (۲۶-۴) به صورت زیر نوشته می‌شود:

$$S(\xi, \eta) = \sum_{i=0}^n \sum_{j=0}^m R_{i,j}(\xi, \eta) \mathbf{P}_{i,j} \quad (28-4)$$

نمونه‌ای از نقاط کنترلی و سطح نربز در شکل ۴-۱۰ نشان داده شده است.



شکل ۴-۱۰: مثالی از شبکه‌ی کنترلی و سطح نربز

#### ۴-۷-۱ مشتقات سطوح نربز

به منظور محاسبه‌ی مشتقات سطوح نربز از روش محاسبه‌ی مشتقات منحنی نربز استفاده می‌کنیم. بدین منظور مشتق سطح  $S(\xi, \eta)$  را با  $S_\alpha(\xi, \eta)$  نشان می‌دهیم که  $\alpha$  می‌تواند  $\xi$  یا  $\eta$  باشد.

$$S_\alpha(\xi, \eta) = \frac{A_\alpha(\xi, \eta) - w_\alpha(\xi, \eta)S(\xi, \eta)}{w(\xi, \eta)} \quad (29-4)$$

برای مشتقات بالاتر نیز داریم:

$$A^{(k,l)} = w^{(0,0)}S^{(k,l)} + \sum_{i=1}^k \binom{k}{i} w^{(i,0)}S^{(k-i,l)} + \sum_{j=1}^l \binom{l}{j} w^{(0,j)}S^{(k,l-j)} + \sum_{i=1}^k \binom{k}{i} \sum_{j=1}^l \binom{l}{j} w^{(i,j)}S^{(k-i,l-j)} \quad (30-4)$$

$$S^{(k,l)} = \frac{1}{w^{(0,0)}} \left( A^{(k,l)} - \sum_{i=1}^k \binom{k}{i} w^{(i,0)}S^{(k-i,l)} - \sum_{j=1}^l \binom{l}{j} w^{(0,j)}S^{(k,l-j)} - \sum_{i=1}^k \binom{k}{i} \sum_{j=1}^l \binom{l}{j} w^{(i,j)}S^{(k-i,l-j)} \right) \quad (31-4)$$

با توجه به رابطه‌ی (31-4) داریم:

$$S_{\xi\eta} = \frac{A_{\xi\eta} - w_{\xi\eta}S - w_{\xi}S_{\eta} - w_{\eta}S_{\xi}}{w}$$

$$S_{\xi\xi} = \frac{A_{\xi\xi} - 2w_{\xi}S_{\xi} - w_{\xi\xi}S}{w} \quad (32-4)$$

$$S_{\eta\eta} = \frac{A_{\eta\eta} - 2w_{\eta}S_{\eta} - w_{\eta\eta}S}{w}$$

#### ۴-۷-۲ خواص سطوح نریز

برخی از خواص مهم سطوح نریز به شرح زیر است:

- غیرمنفی: برای تمام مقادیر  $i, j, \xi$  و  $\eta$  داریم  $R_{i,j}(\xi, \eta) \geq 0$ .
- مقدار واحد: برای تمام مقادیر  $(\xi, \eta) \in [0, 1] \times [0, 1]$  داریم  $\sum_{i=0}^n \sum_{j=0}^m R_{i,j}(\xi, \eta) = 1$ .
- خاصیت کنترل محلی: اگر  $(\xi, \eta) \notin [\xi_i, \xi_{i+p+1}] \times [\eta_j, \eta_{j+q+1}]$  باشد آنگاه  $R_{i,j}(\xi, \eta) = 0$ .
- در هر مستطیل دلخواه  $(\xi_{i_0}, \xi_{i_0+1}) \times (\eta_{j_0}, \eta_{j_0+1})$  در بیشتر از  $(p+1)(q+1)$  توابع پایه‌ای غیر صفر هستند.
- اگر  $p > 0$  و  $q > 0$  باشد؛  $R_{i,j}(\xi, \eta)$  فقط یک ماکزیمم دارد.
- و غیره.



# فصل پنجم

## استفاده از روش ایندروژنو مشربک در دینامیک سیالات

### محاسباتی

## ۵-۱ مقدمه

در این فصل با استفاده از روش ایزوژئومتریکی به حل چند مسئله می‌پردازیم. تمامی برنامه‌های نوشته شده در محیط نرم‌افزار متلب می‌باشد. در ابتدا به کاربرد معادله‌ی پخش<sup>۱</sup> می‌پردازیم. در این قسمت معادله‌ی پخش با روش ایزوژئومتریکی مدل‌سازی شده و برای بررسی اثرات تعداد نقاط کنترلی با حل دقیق مقایسه می‌شود. در بخش بعدی توزیع سرعت در کانال شیب‌دار با جریان یکنواخت مورد بررسی قرار می‌گیرد و نتایج با روش اجزای محدود مقایسه می‌شود که هدف مقایسه‌ی کارایی این دو روش در حل مسائل می‌باشد. همچنین اثرات بی‌نظمی نقاط کنترلی، انتخاب نوع بردار گرهی، تعداد نقاط کنترلی و غیره مورد بحث قرار می‌گیرد. در ادامه‌ی این بخش به مدل‌سازی جریان غیرچرخشی اطراف مانع مستطیلی و دایروی پرداخته می‌شود که هدف بررسی توانایی روش ایزوژئومتریکی در مدل‌سازی هندسه‌ی دارای انحناء می‌باشد. در انتهای این فصل با روش ایزوژئومتریکی شکست سد مدل‌سازی شده و با نتایج روش‌های بدون شبکه و اجزای محدود مقایسه می‌شود. هدف از این بخش بررسی کارایی روش ایزوژئومتریکی در مسائلی است که شبکه‌بندی در زمان‌های مختلف تغییر کرده و نیاز به شبکه‌بندی مجدد می‌باشد.

## ۵-۲ حل معادله‌ی پخش

معادله‌ی پخش یکی از معادلاتی است که در مکانیک جامدات، دینامیک سیالات محاسباتی و غیره کاربرد فراوانی دارد. مثال‌های از کاربردهای معادله‌ی پخش در جدول ۵-۱ مشخص شده است [46]. در این قسمت به حل معادله‌ی پخش با روش ایزوژئومتریکی پرداخته می‌شود.

---

<sup>۱</sup> Diffusion



جدول ۵-۱: مثال‌های از کاربرد معادله‌ی پواسون  $-\nabla \cdot (k\nabla u) = f$  (مرجع [46])

کاربرد	<b>u</b>	<b>k</b>	<b>f</b>	$q, \frac{\partial u}{\partial x}, \frac{\partial u}{\partial y}$
انتقال حرارت <sup>۱</sup>	T درجه حرارت	k قابلیت هدایت	منبع حرارتی	q جریان حرارتی
جریان غیرچرخشی سیال ایده‌آل <sup>۲</sup>	$\psi$ تابع جریان	$\rho$ چگالی	تولید جرم (معمولا برابر صفر)	$\frac{\partial \psi}{\partial x} = -v, \frac{\partial \psi}{\partial y} = -u$
	$\phi$ پتانسیل سرعت	$\rho$ چگالی	تولید جرم (معمولا برابر صفر)	$\frac{\partial \phi}{\partial x} = u, \frac{\partial \phi}{\partial y} = v$
جریان آب زیرزمینی <sup>۳</sup>	$\phi$ هد پیزومتری	K نفوذپذیری	Q دبی (Q- پمپ)	نشت $q = K \frac{\partial \phi}{\partial n}$ سرعت $u = -K \frac{\partial \phi}{\partial x}, v = -K \frac{\partial \phi}{\partial y}$
پیچش عضوهای با سطح مقطع ثابت <sup>۴</sup>	$\Psi$ تابع تنش	G مدول برشی	f=2 $\theta$ زاویه‌ی پیچش بر طول واحد	$G\theta \frac{\partial \Psi}{\partial x} = -\sigma_{yz}, G\theta \frac{\partial \Psi}{\partial y} = -\sigma_{xz}$
الکتریسته‌ی ساکن <sup>۵</sup>	$\phi$ پتانسیل اسکالر	$\epsilon$ ثابت دی‌الکتریک	$\rho$ چگالی بار	$D_n$ چگالی شار جابجایی
مغناطیس ساکن <sup>۶</sup>	$\phi$ پتانسیل مغناطیس	$\mu$ نفوذپذیری مغناطیس	$\rho$ چگالی بار	$B_n$ چگالی شار مغناطیسی
خیز عرضی اعضای الاستیک <sup>۷</sup>	u خیز عرضی	T کشش عضو	بار توزیع شده به‌صورت عرضی	q نیروی عمودی

<sup>۱</sup> Heat transfer

<sup>۲</sup> Irrotational flow of an ideal fluid

<sup>۳</sup> Groundwater flow

<sup>۴</sup> Torsion of members with constant cross-section

<sup>۵</sup> Electrostatics

<sup>۶</sup> Magnetostatics

<sup>۷</sup> Transverse deflection of elastic membranes

## ۵-۲-۱ شرایط مرزی معادله‌ی پخش

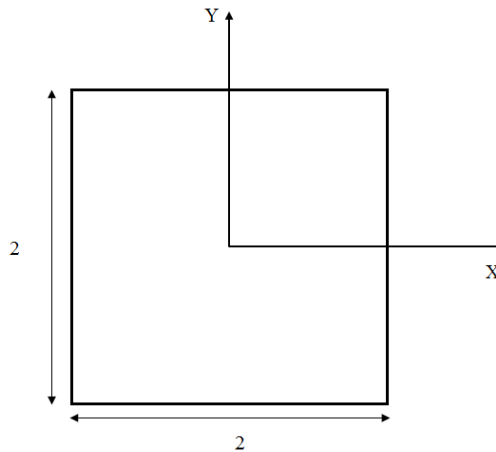
برای مدل‌سازی معادله‌ی پخش با روش ایزوژئومتریک معادله‌ی زیر را در نظر می‌گیریم:

$$\frac{\partial^2 u}{\partial x^2} + \frac{\partial^2 u}{\partial y^2} = -2\pi^2 \sin \pi x \sin \pi y \quad (1-5)$$

با شرایط هندسی نشان داده شده در شکل ۵-۱ و شرایط مرزی درپشته روی تمامی مرزها، حل تحلیلی معادله برابر است با [49]:

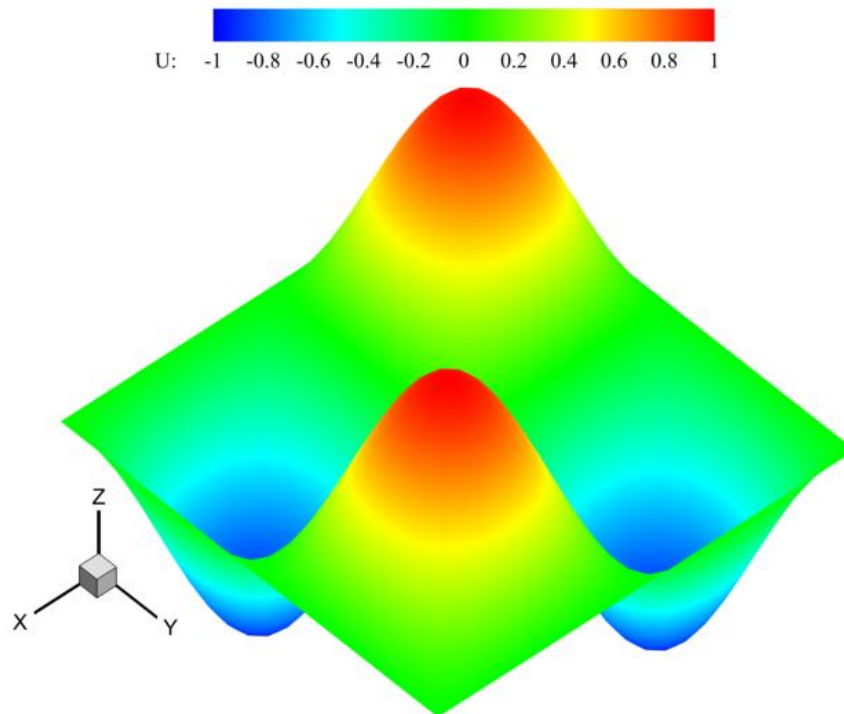
$$u(x, y) = \sin \pi x \sin \pi y \quad (2-5)$$

که در شکل ۵-۲ نشان داده شده است.

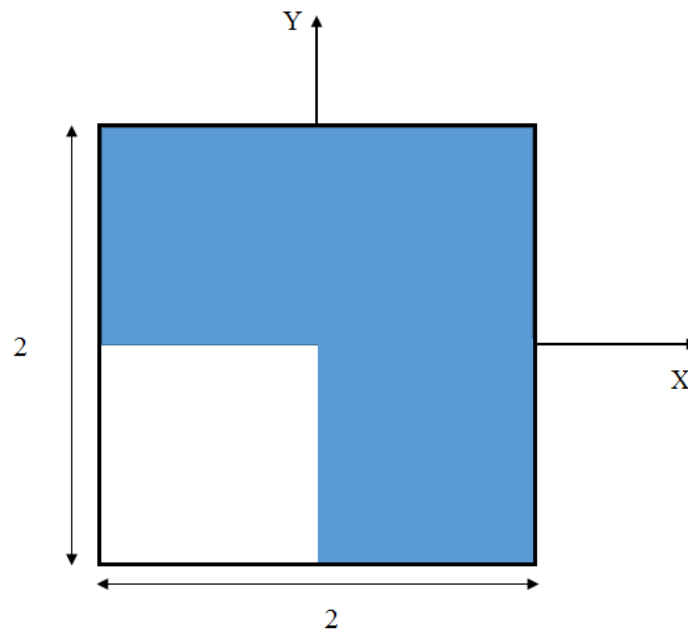


شکل ۵-۱: ابعاد هندسی معادله‌ی (۱-۵)

برای بررسی کارایی بهتر روش ایزوژئومتریک هندسه مشخص شده در شکل ۵-۳ را با شرایط مرزی درپشته در تمامی مرزها، مدنظر قرار می‌دهیم.



شکل ۲-۵: حل معادله‌ی (۱-۵) با شرایط هندسی شکل ۱-۵



شکل ۳-۵: شرایط هندسی در نظر گرفته برای مدل‌سازی با روش ایزوژئومتریک

### ۵-۲-۲ مدل سازی روش ایزوژئومتریکی معادله‌ی پخش

درجه‌ی توابع نرئز بکار رفته برای مدل سازی روش ایزوژئومتریکی برابر ۲ ( $p=q=2$ ) می‌باشد. برای مدل سازی با استفاده از روش ایزوژئومتریکی سه نوع شبکه‌ی کنترل با بردار گره‌ی مربوطه در نظر می‌گیریم که در شکل ۴-۵ نشان داده شده است. برای مدل سازی تعداد نقاط کنترلی به ترتیب ۱۵، ۲۸ و ۶۶ نقطه در نظر گرفته شده است. نتایج حاصل از روش ایزوژئومتریکی با ۶۶ نقطه‌ی کنترلی در شکل ۵-۵ نشان داده شده است.

برای مقایسه‌ی بهتر و بررسی اثرات نقاط کنترلی درصد خطا حاصل از روش ایزوژئومتریکی با جواب دقیق معادله‌ی (۲-۵) در نقاط نشان داده شده در شکل ۵-۶، در جدول ۲-۵ نشان داده شده است.

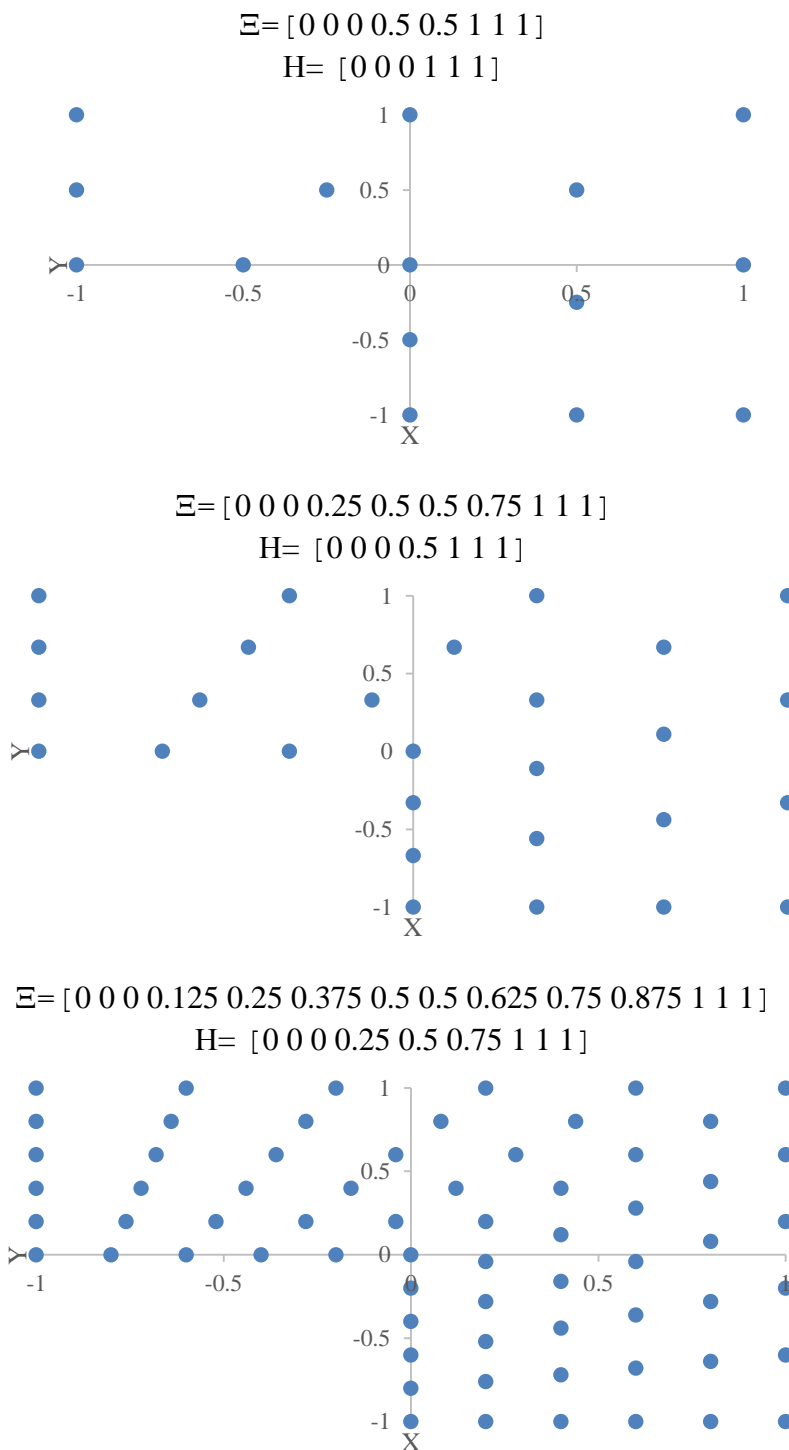
کاملاً مشخص است با افزایش نقاط کنترل جواب نتایج دقیق تر می‌شود که نتایج نشان داده شده در جدول ۲-۵ مشخص کننده‌ی این مطلب می‌باشد.

بررسی اثراتی مانند؛ نوع بردار گره‌ی، چیدمان نقاط کنترلی و غیره در بخش‌های بعدی بحث می‌شود.

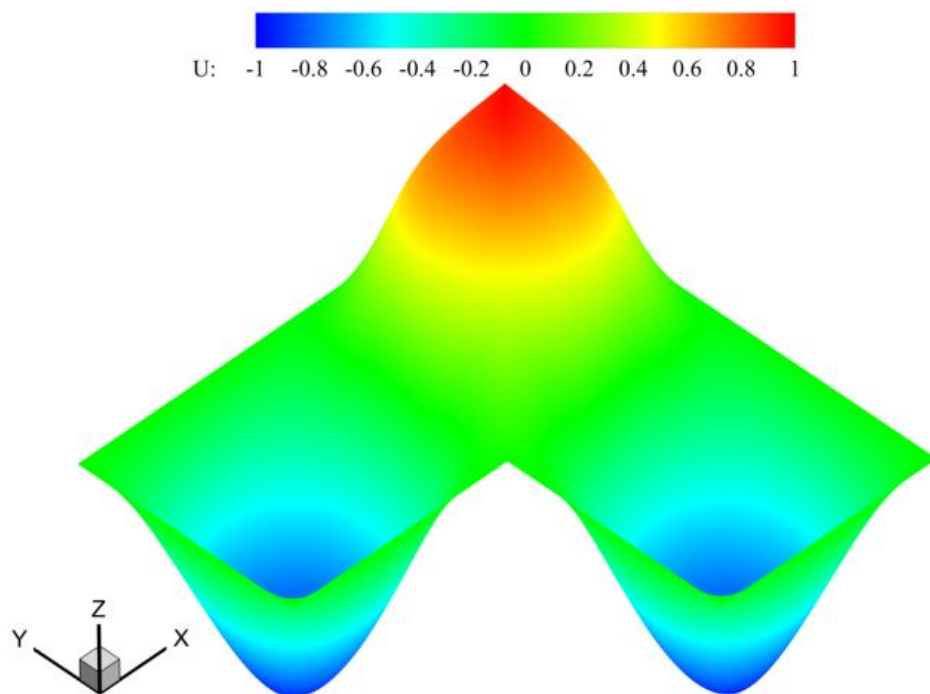
### ۵-۳ مدل سازی توزیع سرعت در کانال شیبدار با جریان یکنواخت

در این قسمت به بررسی توزیع سرعت در کانال شیبدار با جریان یکنواخت با استفاده از روش ایزوژئومتریکی پرداخته می‌شود. در شکل ۵-۷ کانال شیبدار با مقطع مستطیلی نشان داده شده است.

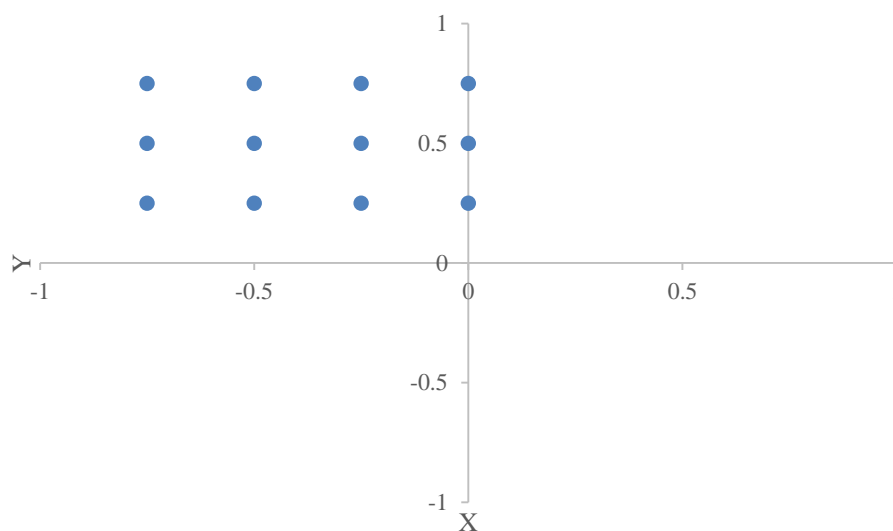
تفاوت توزیع سرعت در راستای کانال در جریان آرام و جریان آشفته با دبی و ابعاد کانال یکسان در شکل ۵-۸ مشخص شده است. همان‌طور که مشاهده می‌شود در جریان آرام تغییرات سرعت با شتاب بیشتری نسبت به جریان آشفته صورت می‌گیرد (شکل ۵-۹).



شکل ۴-۵: نقاط کنترلی و بردارهای گرهی برای مدل سازی با ایزوژئومتریک



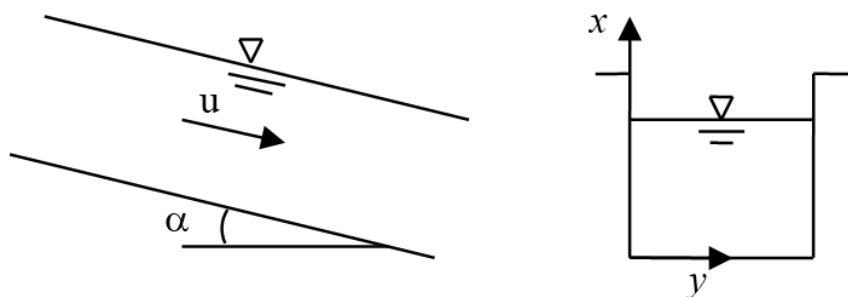
شکل ۵-۵: نتایج حاصل از روش ایزوژئومتریک معادله‌ی (۱-۵) با ۶۶ نقطه‌ی کنترلی



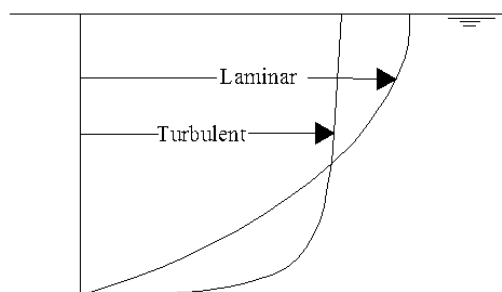
شکل ۵-۶: نقاط مشخص شده برای محاسبه‌ی درصد خطا

جدول ۵-۲: مقایسه‌ی نتایج نقاط کنترلی مختلف با روش ایزوژئومتریک

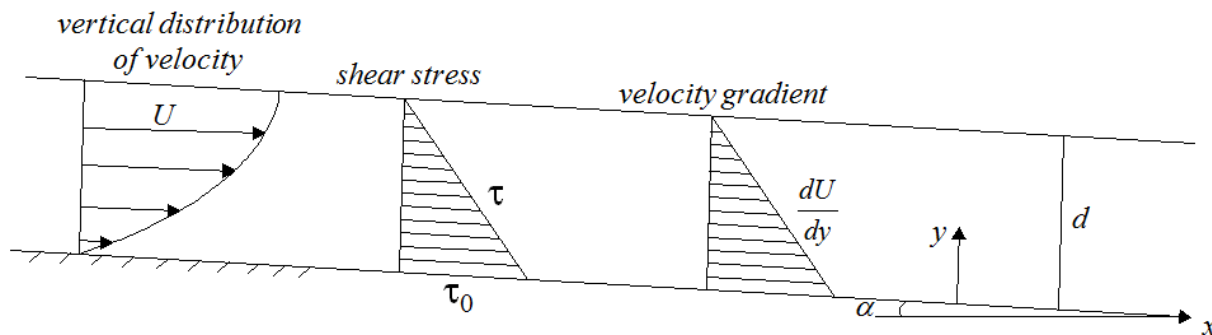
$X$	$Y$	<i>Exact</i>	<i>Iso</i>			<i>Err. Iso %</i>		
			$CP=15$	$CP=28$	$CP=60$	$CP=15$	$CP=28$	$CP=60$
-0.75	0.25	-0.5	-0.27	-0.48	-0.49	-45.82	-3.48	-1.37
-0.75	0.5	-0.71	-0.31	-0.65	-0.69	-56.16	-8.08	-2.14
-0.75	0.75	-0.5	-0.21	-0.46	-0.49	-57.94	-8.00	-1.59
-0.5	0.25	-0.71	-0.35	-0.68	-0.70	-51.21	-3.79	-0.73
-0.5	0.5	-1	-0.45	-0.99	-1.00	-54.80	-0.57	-0.19
-0.5	0.75	-0.71	-0.32	-0.65	-0.72	-54.15	-7.84	1.60
-0.25	0.25	-0.5	-0.22	-0.46	-0.50	-55.54	-8.00	0.82
-0.25	0.5	-0.71	-0.41	-0.64	-0.71	-41.88	-9.49	-0.11
-0.25	0.75	-0.5	-0.34	-0.47	-0.49	-32.14	-6.00	-2.46
0	0.25	0	0.10	0.04	-0.01	20.00	8.00	-1.80
0	0.5	0	0.16	0.03	0.01	32.00	0.03	2.00
0	0.75	0	-0.26	0.04	0.01	-52.00	7.20	2.04
Root-Mean-Square Error (RMSE)=						0.31	0.04	0.01



شکل ۵-۷: جریان در کانال شیبدار



شکل ۵-۸: مقایسه‌ی پروفیل سرعت در جریان آرام و آشفته



شکل ۵-۹: نمایش پروفیل سرعت، تنش برشی و تغییرات سرعت در کانال شیبدار با جریان یکنواخت

### ۵-۳-۱ معادلات حاکم بر جریان در کانال شیبدار با جریان یکنواخت

معادله‌ی ممنوم در راستای جریان در کانال شیبدار به صورت زیر نوشته می‌شود:

$$\frac{\partial u}{\partial t} + \frac{\partial}{\partial x} \left( u^2 + \frac{P}{\rho} \right) + \frac{\partial}{\partial y} (uv) + \frac{\partial}{\partial z} (uw) = \nu \left( \frac{\partial^2 u}{\partial x^2} + \frac{\partial^2 u}{\partial y^2} + \frac{\partial^2 u}{\partial z^2} \right) + g \sin \alpha \quad (۳-۵)$$

در این رابطه  $u$ ،  $v$  و  $w$  مولفه‌های سرعت در راستای  $x$ ،  $y$  و  $z$ ، فشار  $P$ ، شتاب جاذبه،  $g$  چگالی،  $\rho$  شیب کانال،  $\alpha$  لزجت سینماتیکی می‌باشد. در جریان پایدار و همچنین جریان یکنواخت عبارتهای زیر برقرار است:

$$\frac{\partial u}{\partial t} = 0, \quad \frac{\partial}{\partial x} u^2 = 0, \quad \frac{\partial}{\partial y} (uv) = 0, \quad \frac{\partial}{\partial z} (uw) = 0, \quad \frac{\partial^2 u}{\partial x^2} = 0, \quad \frac{\partial}{\partial x} \left( \frac{P}{\rho} \right) = 0 \quad (۴-۵)$$

بنابراین با در نظر گرفتن شرایط بیان شده در معادله‌ی (۴-۵) معادله‌ی ممنوم (۳-۵) در کانال شیبدار به صورت زیر نوشته خواهد شد:

$$\nu \left( \frac{\partial^2 u}{\partial x^2} + \frac{\partial^2 u}{\partial y^2} \right) + g \sin \alpha = 0 \Rightarrow \frac{\partial^2 u}{\partial x^2} + \frac{\partial^2 u}{\partial y^2} = -\frac{g \sin \alpha}{\nu} \quad (۵-۵)$$

حل تحلیلی این معادله در پیوست آمده است.



## ۵-۳-۲ گسسته‌سازی معادله با استفاده از روش ایزوژئومتریکی

فرآیند روش ایزوژئومتریکی برای مدل‌سازی را می‌توان به صورت زیر انجام داد (تقریباً مشابه روش اجزای محدود می‌شود با چند تفاوت، که مهم‌ترین آن استفاده از توابع شکل نریز می‌باشد و دیگری اینکه همان‌طور که گفته شد در روش ایزوژئومتریکی ابتدا هندسه ساخته می‌شود). در اولین مرحله هندسه‌ی مدنظر با استفاده از تکنیک نریز ساخته می‌شود. در صورت پیچیده بودن هندسه‌ی مسئله می‌توان از چند وصله<sup>۱</sup> استفاده کرد (در این مثال به توجه به ساده بودن مسئله از یک وصله استفاده شده است). در مرحله‌ی بعد با الهام گرفتن از مفهوم ایزوپارامتریکی روش اجزای محدود، هندسه و همچنین متغیرهای مجهول (در مسئله‌ی توزیع سرعت، سرعت متغیر مجهول است) با استفاده از توابع نریز تقریب زده می‌شوند. سپس با استفاده از روش‌های گوناگونی مانند روش‌های باقیمانده‌های وزنی<sup>۲</sup>، وردشی<sup>۳</sup> و غیره مقادیر تقریب زده در روابط بدست آمده جایگزین می‌شوند، که منجر به تشکیل دستگاه معادلات خطی می‌شود. با حل این دستگاه معادلات (با توجه به مطالب گفته شده در بخش ۳-۳ مناسب‌ترین روش انتخاب می‌شود) متغیرهای مجهول در نقاط کنترلی محاسبه می‌شود.

برای گسسته‌سازی از روش مرسوم شکل ضعیف<sup>۴</sup> استفاده می‌شود (برای مطالعه‌ی بیشتر به مرجع [46] مراجعه شود). با گسسته‌سازی معادله‌ی (۵-۵) با روش شکل ضعیف بخش‌های دوخطی<sup>۵</sup> و خطی<sup>۶</sup> به صورت زیر بدست می‌آید:

$$B(u, w) = \int_{\Omega_e} \left[ \frac{\partial w}{\partial x} \frac{\partial u}{\partial x} + \frac{\partial w}{\partial y} \frac{\partial u}{\partial y} \right] dx dy \quad (۶-۵)$$

<sup>۱</sup> Patch

<sup>۲</sup> Weighted residual method

<sup>۳</sup> Variational method

<sup>۴</sup> Weak Form

<sup>۵</sup> Bilinear

<sup>۶</sup> Linear

و

$$l(w) = \int_{\Omega_e} awdxdy + \oint_{\Gamma_e} w\alpha_n d\Gamma \quad (7-5)$$

که در این روابط  $w$  تابع وزن،  $\alpha$  مقدار ثابت  $-\frac{g \sin \alpha}{\nu}$  می باشد.  $\alpha_n$  به صورت زیر تعریف می شود:

$$\alpha_n = n_x \left( \frac{\partial u}{\partial x} \right) + n_y \left( \frac{\partial u}{\partial y} \right) \quad (8-5)$$

با در نظر گرفتن  $w$  به عنوان متغیر  $u$  تابع  $\Pi$  به صورت زیر بدست می آید:

$$\Pi = \frac{1}{2} B(u, u) - l(u) \quad (9-5)$$

با قرار دادن روابط (5-6) و (5-7) در رابطه ی (5-9) داریم:

$$\Pi = \frac{1}{2} \int_{\Omega_e} \left[ \left( \frac{\partial u}{\partial x} \right)^2 + \left( \frac{\partial u}{\partial y} \right)^2 \right] dxdy - \int_{\Omega_e} audxdy - \oint_{\Gamma_e} u\alpha_n d\Gamma_e \quad (10-5)$$

همانند روش های ایزوپارامتریک اجزای محدود و یا روش بدون شبکه، متغیرهای هندسی و توابع مجهول با استفاده

از تابع نرَبز تقریب زده می شوند بنابراین:

$$\begin{aligned} x(\xi, \eta) &= \sum_{i=0}^n \sum_{j=0}^m R_{i,j}^{p,q}(\xi, \eta) X_{i,j} \\ y(\xi, \eta) &= \sum_{i=0}^n \sum_{j=0}^m R_{i,j}^{p,q}(\xi, \eta) Y_{i,j} \\ u(\xi, \eta) &= \sum_{i=0}^n \sum_{j=0}^m R_{i,j}^{p,q}(\xi, \eta) u_{i,j} \end{aligned} \quad (11-5)$$

که  $R_{i,j}^{p,q}(\xi, \eta)$  تابع نریز،  $\xi$  و  $\eta$  مقادیر گرهی بین صفر و یک،  $X_{i,j}$  و  $Y_{i,j}$  مختصات نقاط کنترلی و  $u_{i,j}$  مختصات  $Z$  می باشند.

در روابط (۱۱-۵) تمام متغیرها برحسب پارامترهای  $\xi$  و  $\eta$  می باشد، بنابراین با استفاده از رابطه‌ی (۷-۲) و در نظر نگرفتن شرایط مرزی و

$$dx dy = J d\xi d\eta \quad (۱۲-۵)$$

رابطه‌ی (۱۰-۵) به صورت زیر می شود:

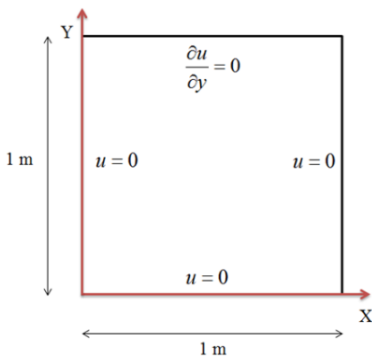
$$\Pi = \frac{1}{2} \int_{\Omega_e} \left[ \left( \frac{J_{y\eta}}{J} J_{a\xi} - \frac{J_{y\xi}}{J} J_{a\eta} \right)^2 + \left( -\frac{J_{x\eta}}{J} J_{a\xi} - \frac{J_{x\xi}}{J} J_{a\eta} \right)^2 \right] \bar{J} d\xi d\eta \quad (۱۳-۵)$$

### ۳-۳-۵ شرایط مرزی جریان در یک کانال

شرایط مرزی حاکم بر جریان یکنواخت در کانال در شکل ۱۰-۵ مشخص شده است. همان‌طور که مشخص است در سطح آب که دارای شرط نیومن<sup>۱</sup> می باشد و در بقیه‌ی مرزها دارای شرط مرزی دریشله<sup>۲</sup> است.

<sup>۱</sup> Neumann

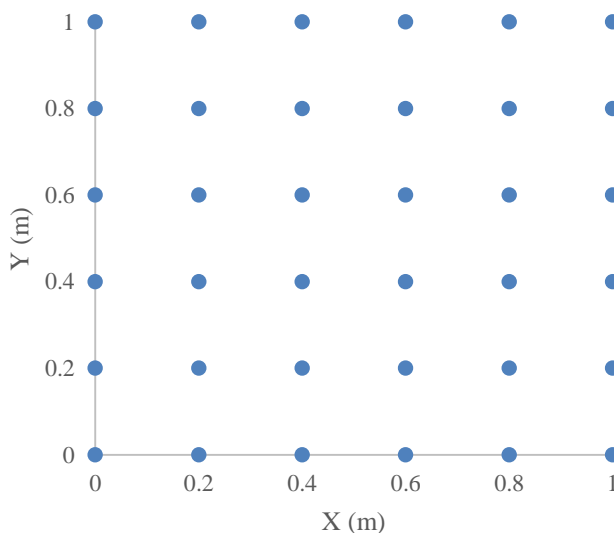
<sup>۲</sup> Dirichlet



شکل ۵-۱۰: ابعاد کانال شیبدار با مقطع مستطیلی

### ۵-۳-۴ مدل سازی جریان در کانال شیبدار با استفاده از روش ایزوژئومتریک

نقاط کنترلی در نظر گرفته برای مدل سازی جریان در کانال شیبدار با روش ایزوژئومتریک در شکل ۵-۱۱ نشان داده شده است. همان طور که مشخص است تعداد نقاط کنترلی ۳۶ عدد می باشد و نقاط کنترلی با فواصل برابر در کنار یکدیگر قرار گرفته اند.



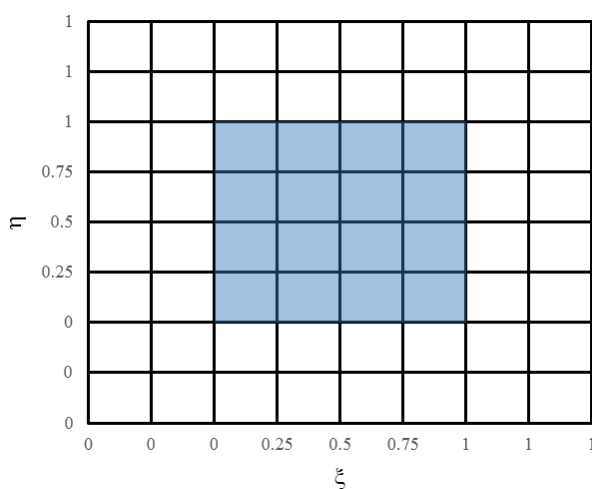
شکل ۵-۱۱: نقاط کنترلی برای مدل سازی کانال شیبدار

بردار گرهی در هر دو راستا درجه دو ( $p=q=2$ ) و به صورت زیر در نظر گرفته شده است:

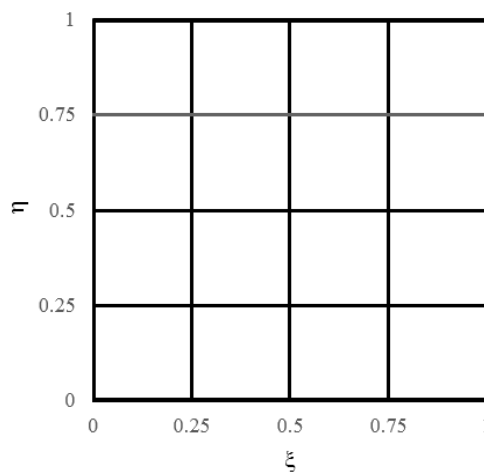
$$\Xi=H=[0 \ 0 \ 0 \ 0.25 \ 0.5 \ 0.75 \ 1 \ 1 \ 1]$$

به علت فواصل برابر گره‌ها، بردار گرهی یکنواخت می‌باشد. فضای پارامتری و فضای اندیکسی<sup>۱</sup> این بردار گرهی در شکل ۵-۱۲ نشان داده شده است.

نتایج حاصل از روش ایزوژئومتریک برای رابطه‌ی (۵-۵) با در نظر گرفتن شرایط مرزی و ابعاد هندسی شکل ۵-۱۰ و ۳۶ نقطه‌ی کنترلی در شکل ۵-۱۳ نمایش داده شده است (با فرض  $\alpha=1^\circ$ ,  $g=9.81 \text{ m}^2/\text{s}$ ).



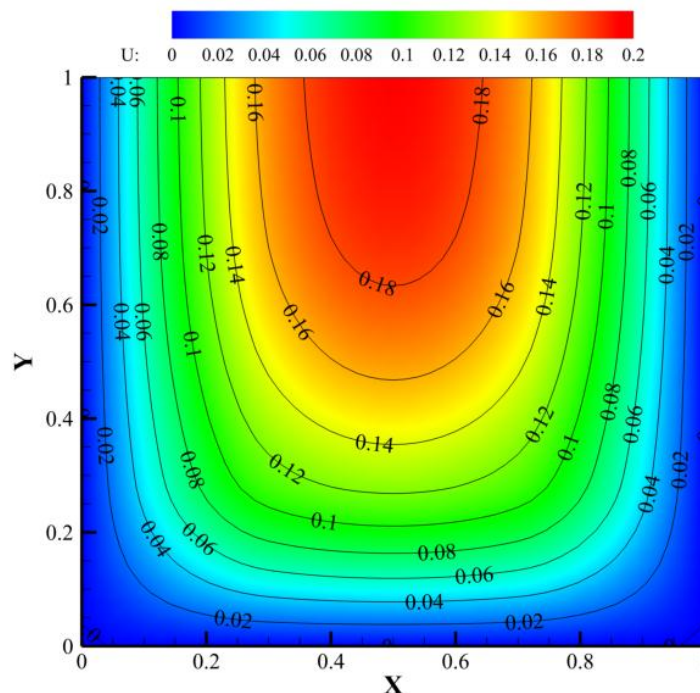
(ب) فضای اندیکسی



(الف) فضای پارامتری

شکل ۵-۱۲: فضای پارامتری و فضای اندیکسی بردار گرهی  $\Xi=H=[0 \ 0 \ 0 \ 0.25 \ 0.5 \ 0.75 \ 1 \ 1 \ 1]$

<sup>۱</sup> Index Space



شکل ۵-۱۳: نتایج روش ایزوژئومتریک برای سرعت در کانال شیبدار با استفاده از نقاط کنترلی شکل ۵-۱۱ (برحسب m/s)

### الف) مقایسه‌ی نتایج روش ایزوژئومتریک و روش اجزای محدود

در این قسمت برای بررسی کارایی روش ایزوژئومتریک در برابر روش اجزای محدود معادله‌ی (۵-۵) را با هر دو روش مدل‌سازی و نتایج حاصل را با هم مقایسه می‌کنیم. در روش ایزوژئومتریک نقاط کنترل شکل ۵-۱۱ در نظر می‌گیریم بنابراین تعداد مجهولات و تعداد معادلات ۳۶ می‌باشد. در مدل‌سازی روش اجزای محدود نیز تعداد نقاط گرهی را برای ۳۶ در نظر می‌گیریم و از المان مستطیلی برای حل معادله استفاده می‌کنیم. نتایج حاصل در جدول ۵-۳ آورده شده است. درصد خطا به صورت زیر بدست آمده است:

$$\text{درصد خطا} = \frac{\text{جواب ایزوژئومتریک (یا اجزای محدود)} - \text{جواب دقیق}}{\text{جواب دقیق}} \times 100$$

جدول ۵-۳: مقایسه‌ی نتایج روش اجزای محدود و روش ایزوژئومتریک در مدل‌سازی کانال شیبدار (برحسب m/s)

<i>X</i>	<i>Y</i>	<i>Exact</i>	<i>Iso</i>	<i>FE</i>	<i>Err. Iso %</i>	<i>Err. FE %</i>
0.2	0.2	0.0662	0.0674	0.0607	-1.81	8.35

0.4	0.2	0.0936	0.0939	0.0801	-0.35	14.41
0.5	0.2	0.0969	0.0971	0.0755	-0.3	22.02
0.2	0.4	0.0991	0.0992	0.0856	-0.18	13.56
0.4	0.4	0.1445	0.1445	0.1143	0.01	20.94
0.5	0.4	0.1500	0.1502	0.1090	-0.13	27.31
0.2	0.6	0.1157	0.1158	0.0958	-0.11	17.15
0.4	0.6	0.1711	0.1710	0.1287	0.03	24.79
0.5	0.6	0.1779	0.1778	0.1235	0.03	30.56
0.2	0.8	0.1235	0.1236	0.0990	-0.1	19.86
0.4	0.8	0.1836	0.1836	0.1338	0.02	27.16
0.5	0.8	0.1911	0.1911	0.1294	-0.01	32.27
0.2	1	0.1258	0.1258	0.0999	-0.03	20.59
0.4	1	0.1873	0.1873	0.1281	0.02	31.62
0.5	1	0.1950	0.1950	0.1285	-0.02	34.07
Root-Mean-Square Error (RMSE)=					0.0003	0.04

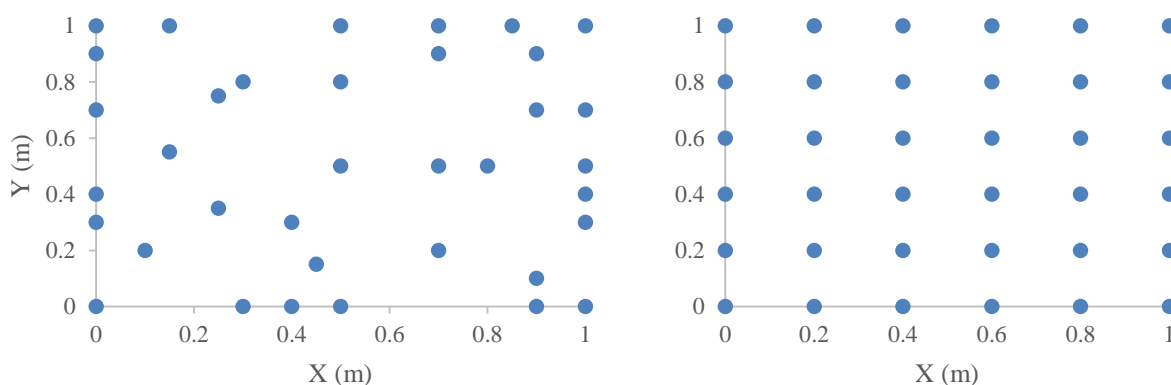
با توجه به جدول ۳-۵ می‌توان کارایی روش ایزوژئومتریکی در برابر روش اجزای محدود را به وضوح مشاهده کرد. در روش ایزوژئومتریکی خطای جذر میانگین مربعات بسیار کمی می‌باشد. در حالی که روش اجزای محدود با همان تعداد معادلات مقدار بیشتر می‌باشد و برای رسیدن به خطای مناسب باید تعداد نقاط گره را بیشتر کرد که باعث افزایش تعداد معادلات و در نتیجه افزایش زمان حل و همچنین افزایش حافظه‌ی مورد نیاز برای ذخیره‌ی اطلاعات می‌شود.

#### ب) بررسی اثرات بی‌نظمی نقاط کنترل در روش ایزوژئومتریکی

در ادامه به بررسی اثرات بی‌نظمی نقاط کنترل بر روی حل معادلات در روش ایزوژئومتریکی می‌پردازیم. هدف از این قسمت بررسی کارایی روش ایزوژئومتریکی در مسائلی که با دیدگاه لاگرانژی حل می‌شوند می‌باشد. همان‌طور که می‌دانیم در دیدگاه لاگرانژی نقاط نسبت به زمان در حال حرکت می‌باشند و بنابراین شبکه‌ی ایجاد شده در این دیدگاه در طول زمان دچار تغییر می‌شود و در صورتی که در ابتدای حل مسئله نقاط کنترلی دارای فواصل برابر و منظم باشند پس از حل در زمان‌های بعدی نقاط کنترل به صورت نامنظم شده و نظم و ترتیب اولیه‌ی خود را از دست می‌دهند (در بخش‌های بعدی مسئله‌ی شکست با دیدگاه لاگرانژی مورد بررسی قرار می‌گیرد). برای

بررسی اثرات بی‌نظمی نقاط کنترلی در روش ایزوژئومتریک دو نوع شبکه‌ی کنترلی، یکی منظم و یکی دیگر نامنظم، مطابق شکل ۵-۱۴ با تعداد نقاط کنترلی یکسان در نظر می‌گیریم.

در هر دو حالت بردار گرهی درجه دو و به صورت  $\Xi=H=[0 \ 0 \ 0 \ 0.25 \ 0.5 \ 0.75 \ 1 \ 1 \ 1]$  استفاده می‌شود. با در نظر گرفتن این بردار گرهی فضای پارامتری و فضای اندیکسی مطابق شکل ۵-۱۲ خواهد شد. با در نظر گرفتن دو نوع نقاط کنترلی شکل ۵-۱۴ نتایج حاصل از روش ایزوژئومتریک در جدول ۵-۴ و شکل ۵-۱۵ نشان داده شده است. همان‌طور که مشخص است با مدنظر قرار دادن بی‌نظمی بسیار زیاد در شکل ۵-۱۴ درصد متوسط خطای مطلق در این حالت نسبت به نقاط کنترلی منظم چندان زیاد نمی‌باشد. بنابراین روش ایزوژئومتریک در برابر جابجایی نقاط کنترلی (البته نه هر جابجایی) بسیار انعطاف‌پذیر می‌باشد و از این خاصیت بسیار مهم می‌توان برای بررسی مسائلی که نقاط کنترلی در مراحل مختلف تغییر مکان پیدا می‌کنند (مانند دیدگاه لاگرانژی) استفاده نمود.



ب) نقاط کنترلی نامنظم

الف) نقاط کنترلی منظم

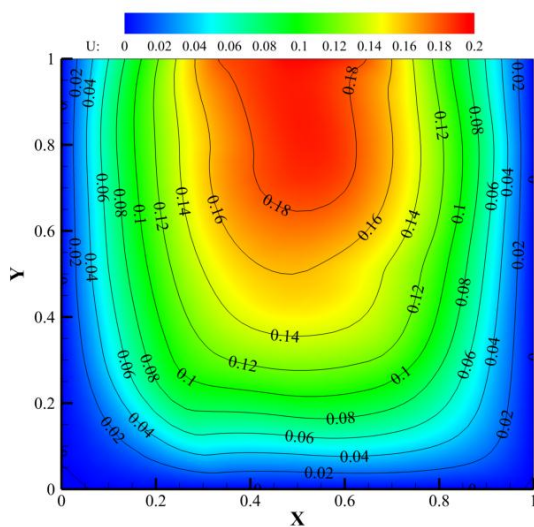
شکل ۵-۱۴: نقاط کنترلی منظم و نامنظم برای بررسی اثرات نامنظمی نقاط کنترلی

جدول ۵-۴: مقایسه‌ی نتایج اثرات منظمی یا نامنظمی نقاط کنترلی روش ایزوژئومتریک (برحسب m/s)

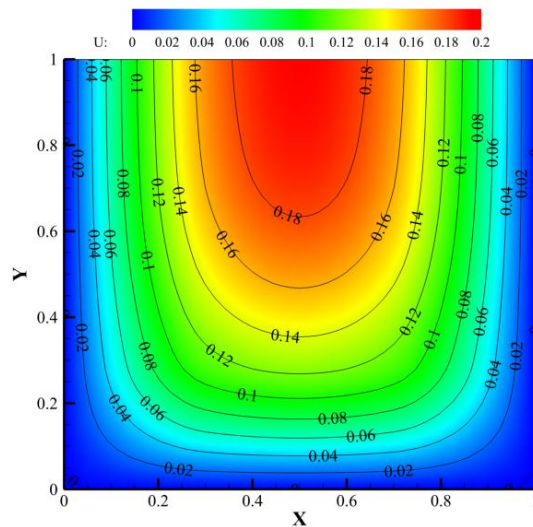
X	Y	Exact	Iso		Err. Iso %	
			regularity	irregularity	regularity	irregularity
0.2	0.2	0.0662	0.0674	0.0657	-1.81	0.79
0.4	0.2	0.0936	0.0939	0.0992	-0.35	-6.04
0.5	0.2	0.0969	0.0971	0.0996	-0.3	-2.84
0.2	0.4	0.0991	0.0992	0.1001	-0.18	-1.08



0.4	0.4	0.1445	0.1445	0.1448	0.01	-0.19
0.5	0.4	0.1500	0.1502	0.1512	-0.13	-0.82
0.2	0.6	0.1157	0.1158	0.1179	-0.11	-1.96
0.4	0.6	0.1711	0.1710	0.1745	0.03	-1.99
0.5	0.6	0.1779	0.1778	0.1853	0.03	-4.19
0.2	0.8	0.1235	0.1236	0.1265	-0.1	-2.47
0.4	0.8	0.1836	0.1836	0.1877	0.02	-2.22
0.5	0.8	0.1911	0.1911	0.1909	-0.01	0.08
0.2	1	0.1258	0.1258	0.1350	-0.03	-7.31
0.4	1	0.1873	0.1873	0.1880	0.02	-0.34
0.5	1	0.1950	0.1950	0.1930	-0.02	0.99
Root-Mean-Square Error (RMSE)=					0.0003	0.004



ب) نقاط کنترلی نامنظم



الف) نقاط کنترلی منظم

شکل ۵-۱۵: نتایج حاصل از نقاط کنترلی شکل ۵-۱۴ (برحسب m/s)

### ج) بررسی اثرات بردار گرهی در روش ایزوژئومتریک

یکی از عوامل موثر در رسیدن به جواب مطلوب در روش ایزوژئومتریک انتخاب صحیح و مناسب بردار گرهی می‌باشد. در این بخش به بررسی انواع بردار گرهی می‌پردازیم بدین منظور سه نوع بردار گرهی زیر انتخاب می‌شود.

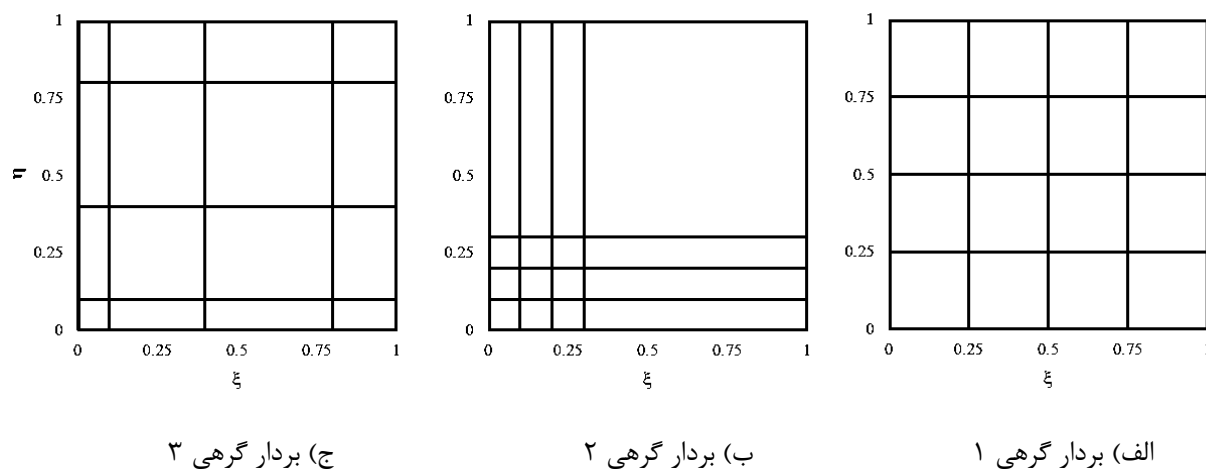
بردار گرهی ۱  $\Xi=H= [0 \ 0 \ 0 \ 0.25 \ 0.5 \ 0.75 \ 1 \ 1 \ 1]$

بردار گرهی ۲  $\Xi=H= [0 \ 0 \ 0 \ 0.1 \ 0.2 \ 0.3 \ 1 \ 1 \ 1]$

بردار گرهی ۳  $\Xi=H= [0 \ 0 \ 0 \ 0.1 \ 0.4 \ 0.8 \ 1 \ 1 \ 1]$

با توجه به برابر بودن فواصل گره‌ها در بردار گرهی اول، بردار گرهی یکنواخت می‌باشد. در حالی که دو بردار گرهی دیگر (به دلیل برابر نبودن فواصل گره‌ها) بردار گرهی غیر یکنواخت می‌باشند. فضای پارامتری این سه بردار گرهی در شکل ۱۶-۵ نشان داده شده است.

نتایج حاصل از سه بردار گرهی شکل ۱۶-۵ در جدول ۵-۵ و شکل ۱۷-۵ مشخص شده است. همان‌طور که کاملاً مشخص است در حل مسئله‌ی توزیع سرعت در کانال شیبدار هرچه بردار گرهی یکنواخت‌تر باشد روش ایزوژئومتریک کارایی بیشتری دارد. به عنوان مثال با به کار بردن بردار گرهی یکنواخت (مورد الف شکل ۱۶-۵) میانگین درصد خطای مطلق برابر ۰,۲۱ است در حالی که با تغییر کمی در یکنواختی آن (مورد ج شکل ۱۶-۵) خطا برابر ۰,۷۲ درصد شده است. البته خطای چندان زیادی نیست. در حالی که با تمرکز نقاط گرهی در یک قسمت (مورد ب شکل ۱۶-۵) خطا بسیار زیاد یعنی ۲۸ درصد شده است. بنابراین یکی از پارامترهای مهم در رسیدن به جواب مطلوب انتخاب مناسب بردار گرهی می‌باشد که در هر مسئله باید نسبت به آن دقت نمود.



شکل ۱۶-۵: فضای پارامتری بردار گرهی برای مقایسه‌ی اثرات بردار گرهی

(د) اثرات تعداد نقاط کنترلی در روش ایزوژئومتریک

یکی دیگر از عوامل موثر در روش ایزوژئومتریکی تعداد نقاط کنترلی می‌باشد. کاملاً مشخص است که با انتخاب تعداد نقاط کنترلی بیشتر می‌توان به جواب دقیق‌تر دست یافت. اما باید به این نکته توجه نمود که با انتخاب بیشتر تعداد نقاط کنترلی موجب افزایش تعداد مجهولات و تعداد معادلات می‌شود که این امر باعث افزایش زمان حل و نیاز به حافظه‌ی بیشتر برای ذخیره‌ی اطلاعات خواهد شد. بنابراین باید تعداد نقاط کنترلی همواره با توجه به دقت جواب مورد نظر انتخاب شود. در این مسئله تعداد نقاط کنترلی برابر ۹، ۱۶ و ۳۶ انتخاب شده است و نتایج آن در جدول ۵-۶ بیان شده است. همان‌طور که مشخص است حتی با انتخاب ۹ نقطه‌ی کنترلی جواب بدست آمده تقریباً در حد قابل قبول بوده ولی نتایج حاصل از ۱۶ نقطه‌ی کنترلی مناسب‌تر می‌باشد و می‌توان آن‌را به عنوان جواب مناسب در نظر گرفت.

جدول ۵-۵: مقایسه‌ی بررسی انواع بردار گرهی روش ایزوژئومتریکی (برحسب m/s)

<i>X</i>	<i>Y</i>	<i>Exact</i>	<i>Iso</i>			<i>Err. Iso %</i>		
			<i>Case 1</i>	<i>Case 2</i>	<i>Case 3</i>	<i>Case 1</i>	<i>Case 2</i>	<i>Case 3</i>
0.2	0.2	0.0662	0.06741	0.0498	0.0684	-1.81	24.74	-3.27
0.4	0.2	0.0936	0.09391	0.0638	0.0945	-0.35	31.88	-0.98
0.5	0.2	0.0969	0.09714	0.0626	0.0979	-0.3	35.41	-1.1
0.2	0.4	0.0991	0.09924	0.0643	0.1	-0.18	35.07	-0.91
0.4	0.4	0.1445	0.1445	0.0847	0.1443	0.01	41.4	0.15
0.5	0.4	0.15	0.1502	0.0832	0.1504	-0.13	44.54	-0.27
0.2	0.6	0.1157	0.1158	0.1027	0.1168	-0.11	11.21	-0.93
0.4	0.6	0.1711	0.171	0.139	0.1708	0.03	18.72	0.12
0.5	0.6	0.1779	0.1778	0.1368	0.1784	0.03	23.08	-0.33
0.2	0.8	0.1235	0.1236	0.1027	0.1245	-0.1	16.83	-0.81
0.4	0.8	0.1836	0.1836	0.1391	0.1834	0.02	24.26	0.15
0.5	0.8	0.1911	0.1911	0.1368	0.1918	-0.01	28.4	-0.39
0.2	1	0.1258	0.1258	0.1027	0.1269	-0.03	18.34	-0.88
0.4	1	0.1873	0.1873	0.1391	0.1872	0.02	25.75	0.05
0.5	1	0.195	0.195	0.2736	0.1959	-0.02	-40.34	-0.48
Root-Mean-Square Error (RMSE)=						0.0003	0.042	0.0009

(د) مدل‌سازی توزیع سرعت در کانالی با مقطع پیچیده

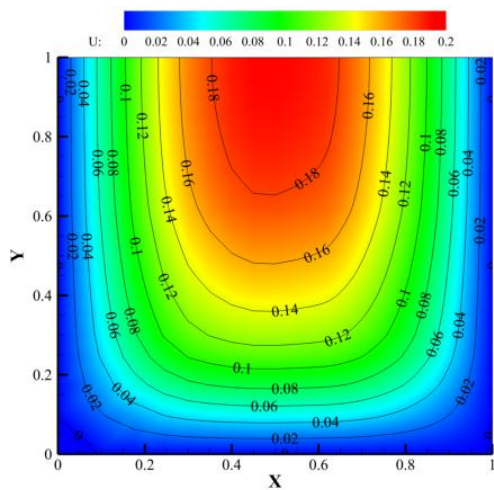
در این قسمت برای بررسی کارایی بیشتر روش ایزوژئومتریك برای مدل‌سازی هندسه‌ی پیچیده، کانالی با مقطع مرکب در نظر می‌گیریم.

هندسه‌ی در نظر گرفته شده در شکل ۵-۱۸ نشان داده شده است.

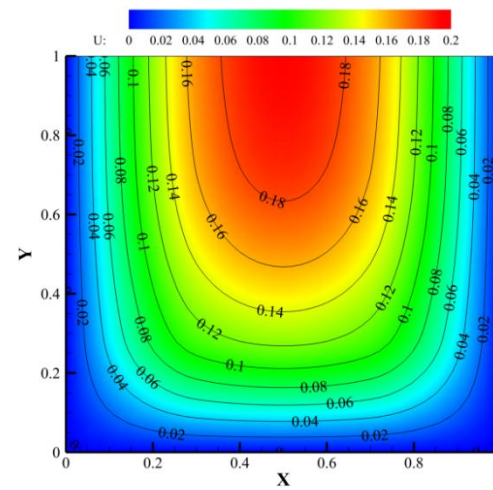
برای مدل‌سازی با استفاده از روش ایزوژئومتریك از بردار گرهی زیر در هر دو راستا استفاده می‌کنیم:

$$\Xi=H=[0 \ 0 \ 0 \ 0.25 \ 0.25 \ 0.5 \ 0.5 \ 0.75 \ 0.75 \ 1 \ 1 \ 1]$$

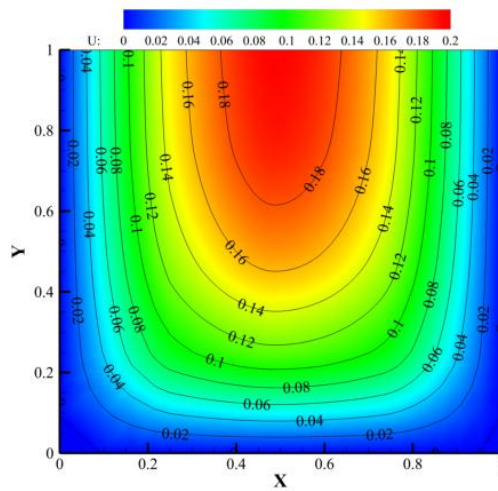
همچنین نقاط کنترلی در نظر گرفته شده برای مدل‌سازی در شکل ۵-۱۹ نشان داده شده است.



ب) بردار گرهی ۲



الف) بردار گرهی ۱

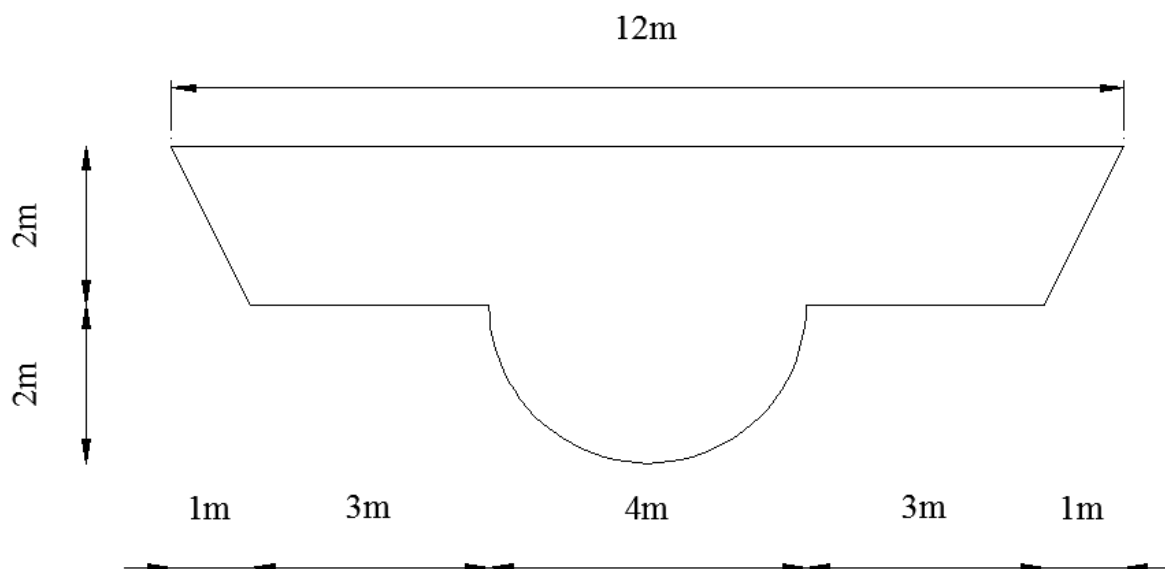


ج) بردار گرهی ۳

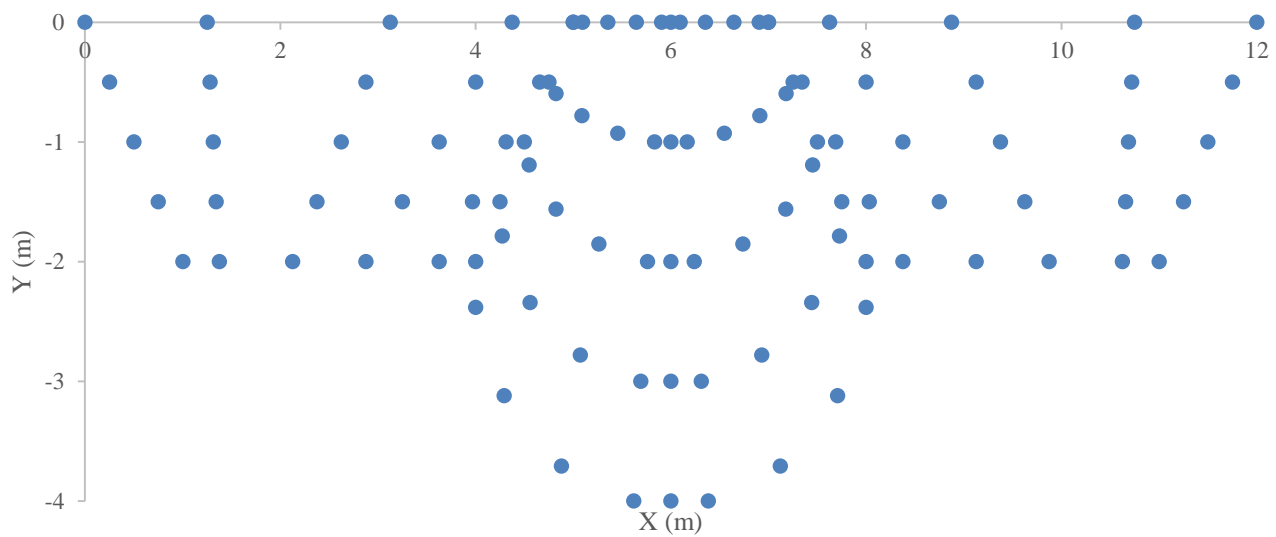
شکل ۵-۱۷: نتایج بردار گرهی مختلف روش ایزوژئومتریک (برحسب m/s)

جدول ۵-۶: مقایسه‌ی اثرات تعداد نقاط کنترلی روش ایزوژئومتریک (برحسب m/s)

<i>X</i>	<i>Y</i>	<i>Exact</i>	<i>Iso</i>			<i>Err. Iso %</i>		
			<i>CP=9</i>	<i>CP=16</i>	<i>CP=36</i>	<i>CP=9</i>	<i>CP=16</i>	<i>CP=36</i>
0.2	0.2	0.0662	0.05479	0.06231	0.06741	17.25	5.89	-1.81
0.4	0.2	0.0936	0.08218	0.09346	0.09391	12.19	0.14	-0.35
0.5	0.2	0.0969	0.08539	0.09375	0.09714	11.83	3.2	-0.3
0.2	0.4	0.0991	0.09432	0.09973	0.09924	4.78	-0.68	-0.18
0.4	0.4	0.1445	0.1415	0.1496	0.1445	2.08	-3.52	0.01
0.5	0.4	0.15	0.1474	0.1558	0.1502	1.74	-3.86	-0.13
0.2	0.6	0.1157	0.1186	0.1148	0.1158	-2.53	0.75	-0.11
0.4	0.6	0.1711	0.1779	0.1721	0.171	-4	-0.61	0.03
0.5	0.6	0.1779	0.1853	0.1793	0.1778	-4.19	-0.81	0.03
0.2	0.8	0.1235	0.1276	0.1225	0.1236	-3.34	0.79	-0.1
0.4	0.8	0.1836	0.1914	0.1837	0.1836	-4.23	-0.04	0.02
0.5	0.8	0.1911	0.1994	0.1914	0.1911	-4.36	-0.17	-0.01
0.2	1	0.1258	0.1214	0.1253	0.1258	3.47	0.37	-0.03
0.4	1	0.1873	0.182	0.188	0.1873	2.84	-0.36	0.02
0.5	1	0.195	0.1896	0.1958	0.195	2.75	-0.43	-0.02
Root-Mean-Square Error (RMSE)						0.007	0.002	0.0003

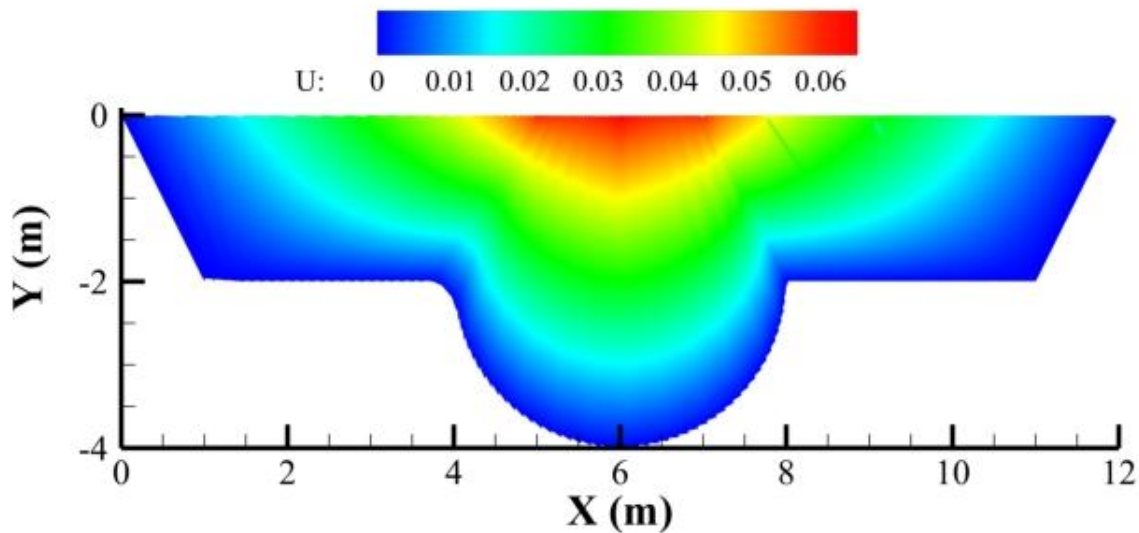


شکل ۵-۱۸: مشخصات هندسی کانال مرکب



شکل ۵-۱۹: نقاط کنترلی برای مدل‌سازی هندسه‌ی کانال مرکب

شرایط مرزی همانند شرایط مرزی حاکم بر مثال قبلی می‌باشد. نتایج بدست آمده با روش ایزوژئومتری در نشان داده شده است.



شکل ۵-۲۰: نتایج روش ایزوژئومتری برای سرعت در کانال مرکب (برحسب m/s)

### ۴-۵ مدل سازی جریان غیرچرخشی اطراف یک مانع دایروی و مستطیلی

یکی از مشکلات روش های عددی مانند روش اجزای محدود و غیره تعریف هندسه می باشد. در این روش ها نزدیک شدن به هندسه واقعی کاملاً به نحوه ی شبکه بندی وابسته است و در بعضی از مسائل که دارای هندسه ی پیچیده می باشند ایجاد هندسه بسیار مشکل می باشد. البته می توان برای بهتر شدن هندسه تعداد المان های در نظر گرفته برای تعریف هندسه را بیشتر انتخاب نمود که این امر موجب افزایش تعداد معادلات و در نتیجه افزایش زمان حل می شود. در این قسمت با مدل سازی جریان غیرچرخشی اطراف مانع دایروی و مستطیلی، قابلیت روش ایزوژئومتریک در مدل سازی هندسه ی پیچیده مورد بررسی قرار می گیرد.

#### ۱-۴-۵ معادله ی حاکم بر جریان غیرچرخشی

چنانچه در جریان غیرچرخشی-تراکم ناپذیر در حالت دوبعدی مولفه های سرعت در راستای  $x$  و  $y$  به ترتیب با  $u$  و  $v$ ، تابع جریان را با  $\psi$  و پتانسیل سرعت را با  $\phi$  نشان دهیم، خواهیم داشت:

$$u = \frac{\partial \psi}{\partial y} \quad (14-5)$$

$$v = -\frac{\partial \psi}{\partial x}$$

$$u = -\frac{\partial \phi}{\partial x} \quad (15-5)$$

$$v = -\frac{\partial \phi}{\partial y}$$

با جایگذاری رابطه ی (۱۴-۵) در رابطه ی غیرچرخشی ( $\frac{\partial v}{\partial x} - \frac{\partial u}{\partial y} = 0$ ) داریم:

$$\frac{\partial^2 \psi}{\partial x^2} + \frac{\partial^2 \psi}{\partial y^2} = \nabla^2 \psi = 0 \quad (16-5)$$



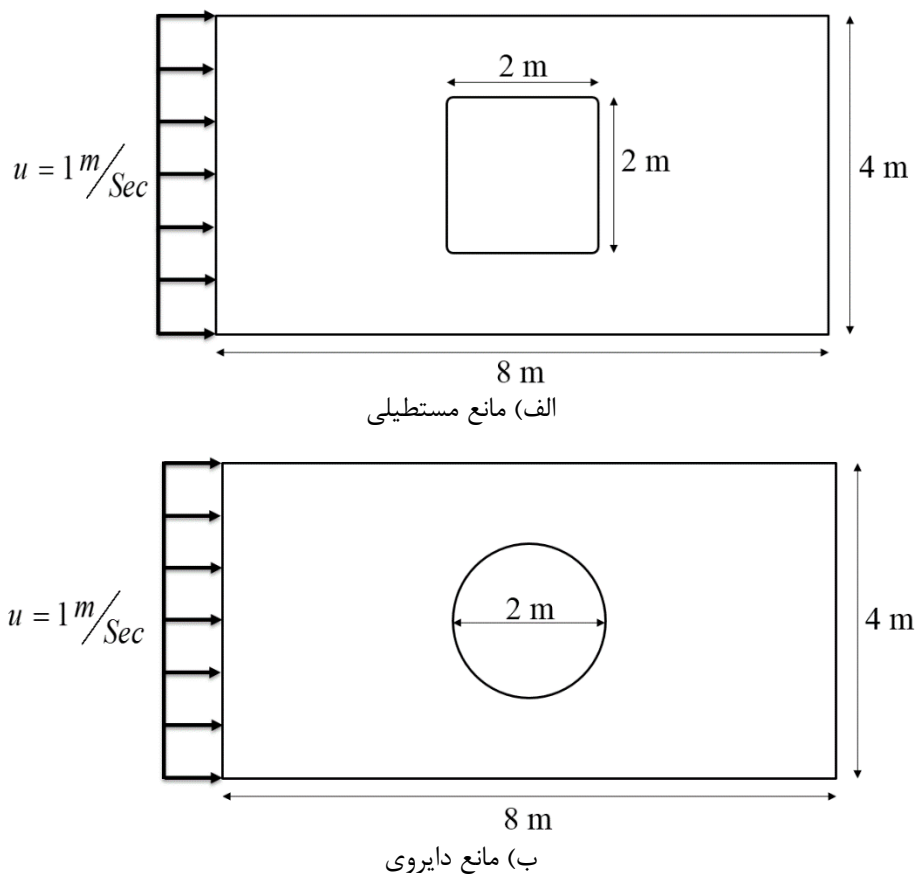
و با قرار دادن رابطه‌ی (۵-۱۵) در معادله‌ی پیوستگی ( $\frac{\partial u}{\partial x} + \frac{\partial v}{\partial y} = 0$ ) داریم:

$$\frac{\partial^2 \phi}{\partial x^2} + \frac{\partial^2 \phi}{\partial y^2} = \nabla^2 \phi = 0 \quad (۵-۱۷)$$

معادلات (۵-۱۶) و (۵-۱۷)، معادلات لاپلاس هستند که در برخی از مسائل مهندسی بکار می‌رود (به جدول ۱-۵ مراجعه شود).

### ۵-۴-۲ شرایط مرزی جریان غیرچرخشی

برای مدل‌سازی جریان غیرچرخشی دو مانع در نظر گرفته می‌شود، مانع مستطیلی و مانع دایروی (شکل ۵-۲۱).



شکل ۵-۲۱: شرایط هندسی و شرایط مرزی مدل‌سازی جریان غیرچرخشی

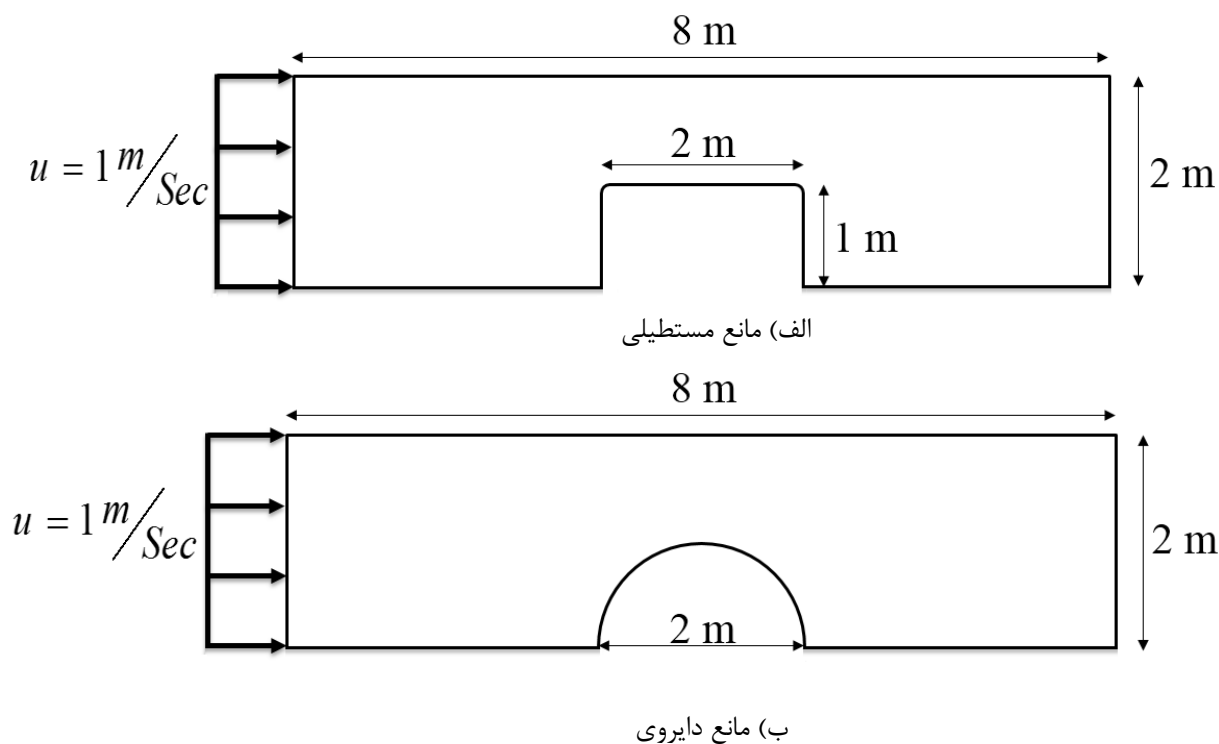
با توجه به تقارن فقط نصف مدل شکل ۲۱-۵ را در برای مدل سازی در نظر می گیریم (شکل ۵-۲۲).

شرایط مرزی حاکم بر تابع جریان و پتانسیل سرعت به ترتیب در شکل ۵-۲۳ و شکل ۵-۲۴ مشخص شده است (برای بررسی چگونگی تعیین شرایط مرزی به مرجع [46] مراجعه شود).

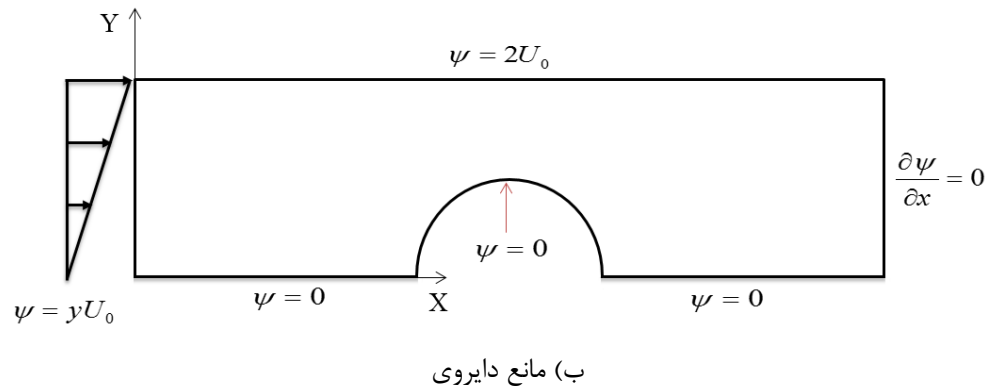
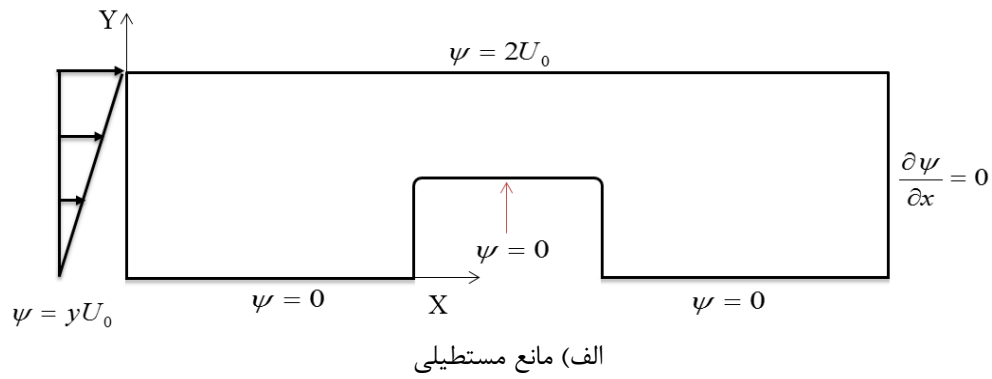
### ۵-۴-۳ بردار گرهی و نقاط کنترل استفاده شده برای مدل سازی

برای مدل سازی هندسه ی شکل ۵-۲۲ تعداد نقاط کنترلی برابر ۸۱ عدد در نظر گرفته می شود (شکل ۵-۲۵). درجه ی توابع نرَبز برابر ۲ ( $p=q=2$ ) و بردار گرهی استاندارد، باز و یکنواخت در هر دو راستا را به صورت زیر استفاده می شود:

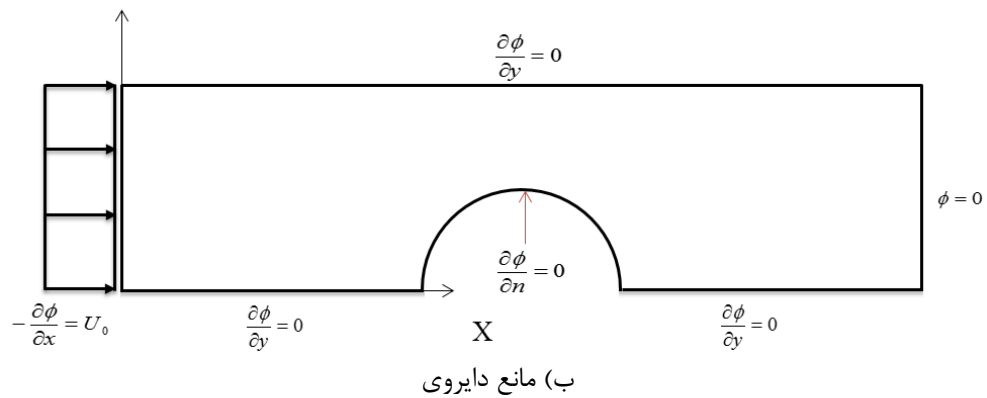
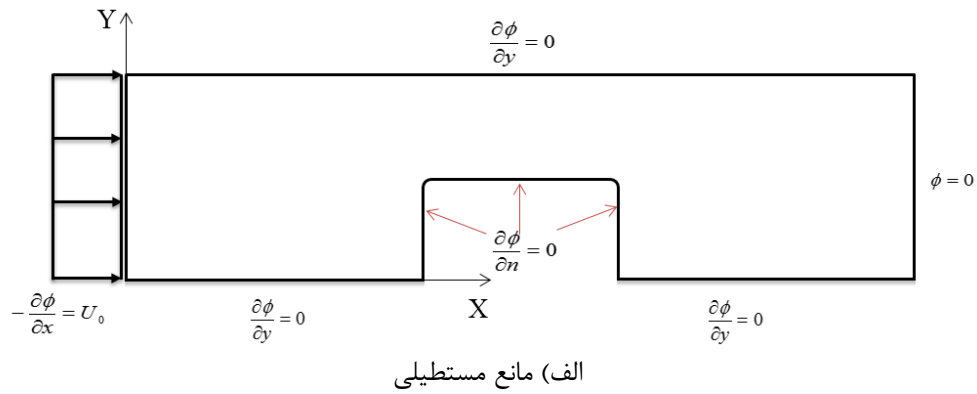
$$\mathbf{E} = \mathbf{H} = [0 \ 0 \ 0 \ 0.14 \ 0.29 \ 0.43 \ 0.57 \ 0.71 \ 0.86 \ 1 \ 1 \ 1]$$



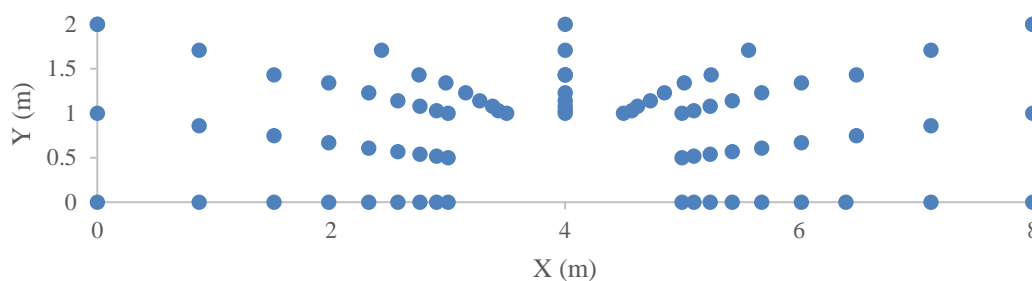
شکل ۵-۲۲: شرایط هندسی و شرایط مرزی جریان غیرچرخشی برای مدل سازی



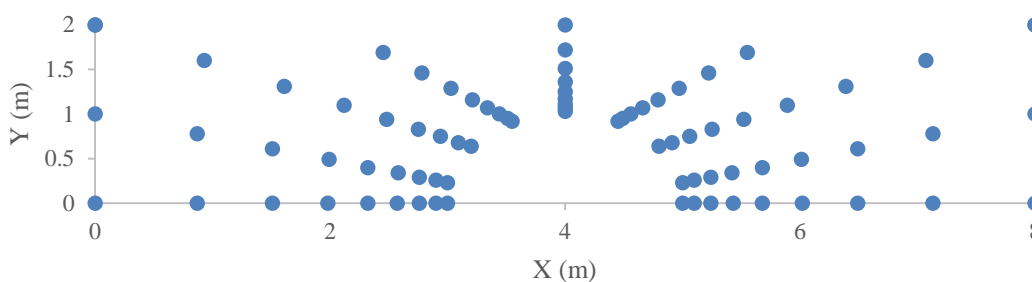
شکل ۵-۲۳: شرایط مرزی مدل سازی خطوط جریان غیر چرخشی



شکل ۵-۲۴: شرایط مرزی خطوط هم‌پتانسیل جریان غیرچرخشی



الف) مانع مستطیلی



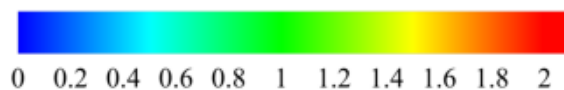
ب) مانع دایروی

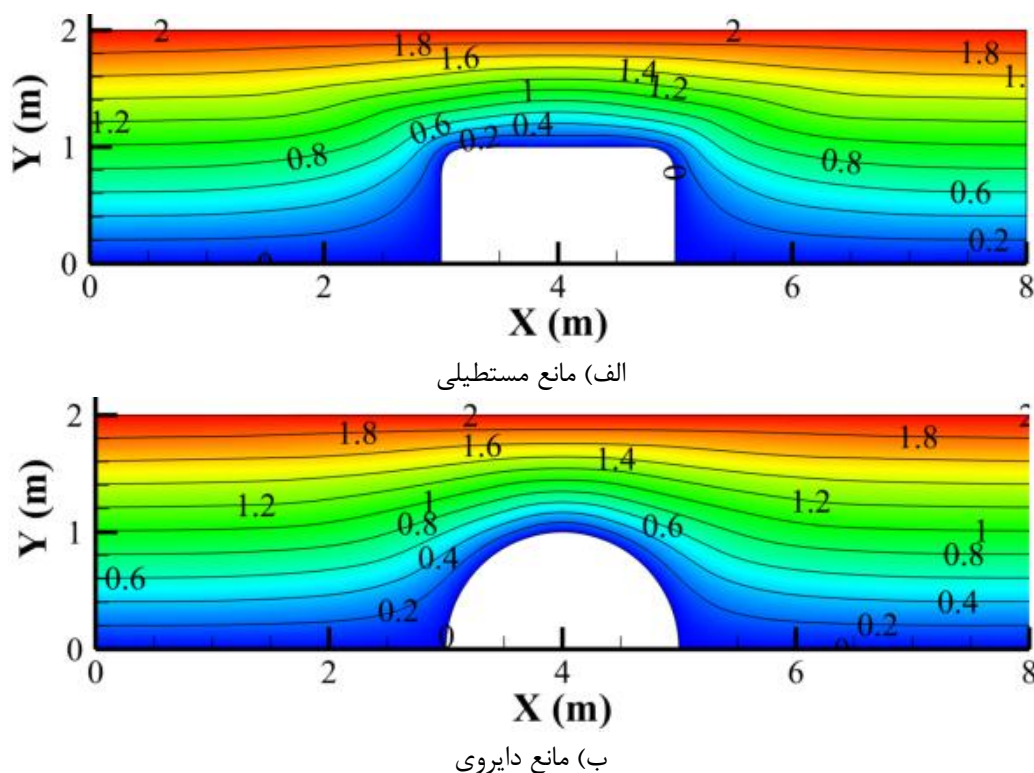
شکل ۵-۲۵: نقاط کنترلی برای مدل‌سازی جریان غیرچرخشی

### ۵-۴-۴ نتایج مدل‌سازی جریان غیرچرخشی

#### الف) نتایج مدل‌سازی خطوط جریان

مدل‌سازی خطوط جریان اطراف موانع مستطیلی و دایروی با استفاده از ایزوژئومتریک رابطه‌ی (۵-۱۶) با در نظر گرفتن شرایط مرزی نشان داده شده در شکل ۵-۲۳ صورت می‌گیرد. خطوط جریان همیشه در جهت جریان رسم می‌شوند. این خطوط در جریان پایدار مسیر حرکت ذرات نیز هستند. خطوط جریان، حوزه‌ی جریان را به تعداد مشخصی مجرا یا کانال تقسیم می‌نمایند و معمولاً دبی عبوری از میان هر یک از این مجراها یا کانال‌ها یکسان است. جواب‌های بدست آمده در شکل ۵-۲۶ نشان داده شده است. همان‌طور که مشاهده می‌شود خطوط جریان یکدیگر را قطع نمی‌کنند که یکی از خصوصیات خطوط جریان می‌باشد.





شکل ۵-۲۶: نتایج روش ایزوژئومتریک خطوط جریان (برحسب  $m^2/s$ )

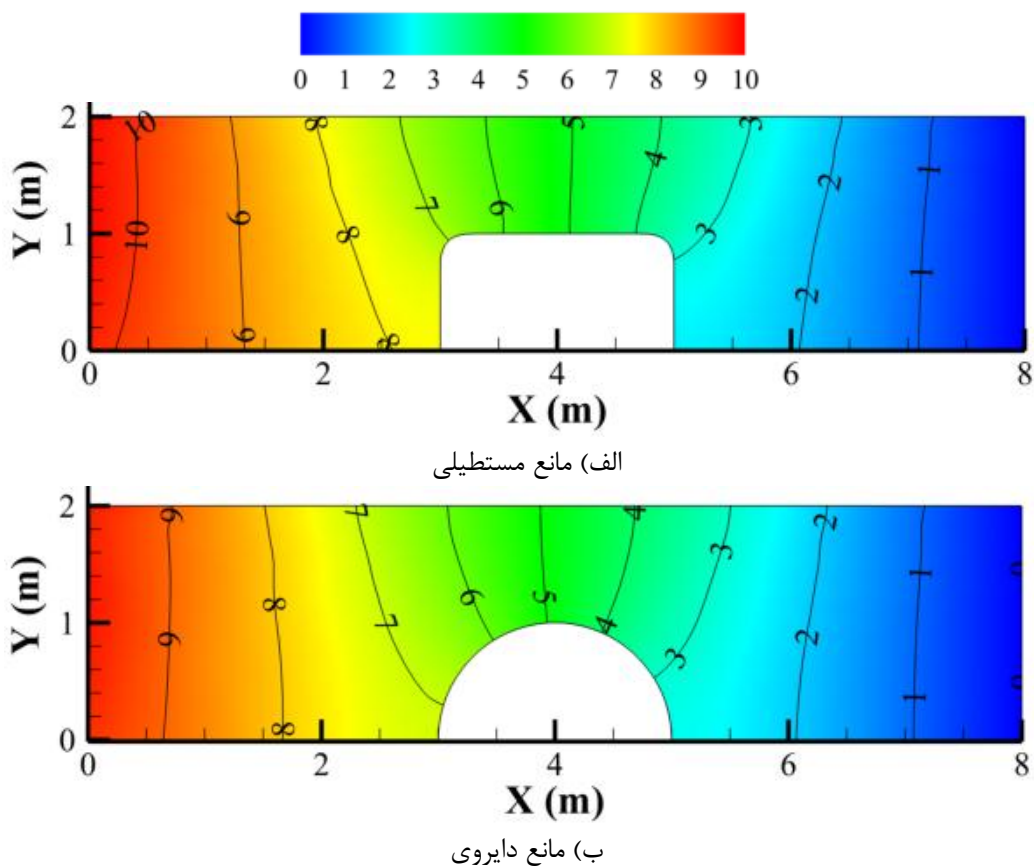
#### ب) نتایج مدل سازی خطوط پتانسیل سرعت

مدل سازی خطوط هم پتانسیل اطراف موانع مستطیلی و دایروی با استفاده از ایزوژئومتریک رابطه‌ی (۵-۱۷) با در نظر گرفتن شرایط مرزی نشان داده شده در شکل ۵-۲۴ صورت می‌گیرد. خطوط هم پتانسیل نقاط با پتانسیل سرعت یکسان را به هم وصل می‌کنند. جواب‌های بدست آمده در شکل ۵-۲۷ نشان داده شده است. همان‌طور که مشاهده می‌شود خطوط هم پتانسیل مانند خطوط جریان یکدیگر را قطع نمی‌کنند که یکی از خصوصیات خطوط هم پتانسیل می‌باشد.

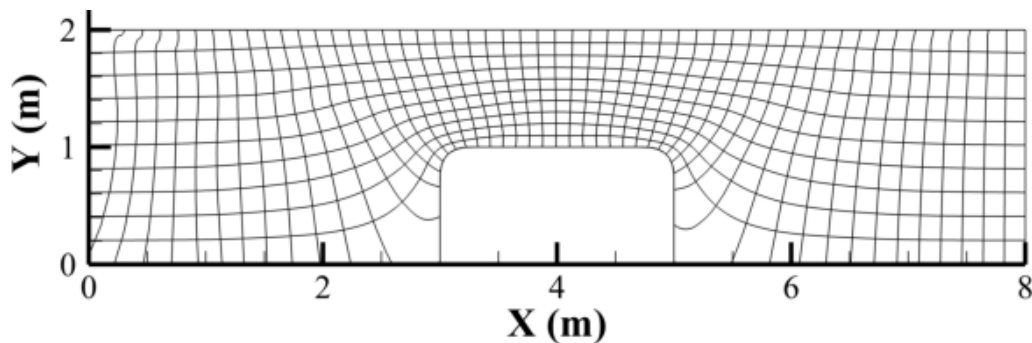
#### ج) نتایج مدل سازی شبکه‌ی جریان

شبکه‌ی جریان نمایش ترسیمی آرایش جریان دو بعدی در یک منطقه است که از ترسیم خطوط جریان و خطوط هم پتانسیل نظیر تشکیل می‌شود. اگر شبکه‌ی جریان به درستی رسم شده باشد، اولاً دو گروه خطوط جریان و

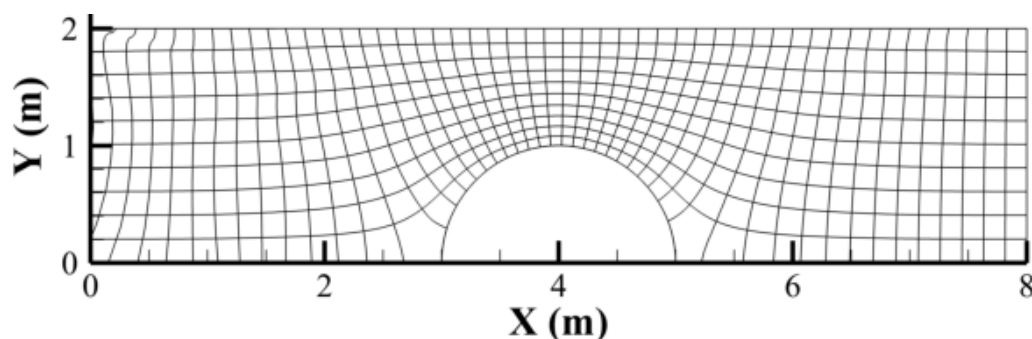
خطوط هم‌پتانسیل یکدیگر را تحت زاویه‌ی ۹۰ درجه قطع می‌نمایند و در حوزه‌ی جریان یک شبکه‌ی متعامد را به وجود می‌آورند؛ ثانیاً افت سرعت بین دو خط هم‌پتانسیل مجاور ثابت است. در شکل ۵-۲۸ شبکه‌ی جریان بدست آمده از خطوط جریان و خطوط هم‌پتانسیل در موانع مستطیلی و دایروی نشان داده شده است.



شکل ۵-۲۷: نتایج روش ایزوژئومتریک پتانسیل سرعت (برحسب  $m^2/s$ )



الف) مانع مستطیلی



ب) مانع دایروی

شکل ۵-۲۸: نتایج روش ایزوژئومتریک شبکه‌ی جریان

### ۵-۵ مدل‌سازی شکست سد در زمان‌های مختلف

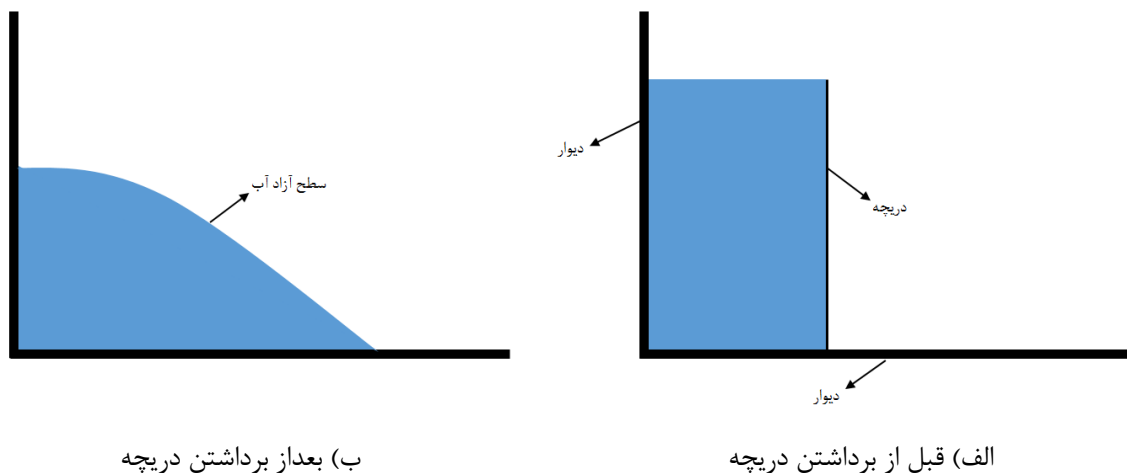
یکی دیگر از مشکلات روش اجزای محدود در مسائلی که هنگام حل باید شبکه‌ی جدید را ایجاد کند ظاهر می‌شود. مانند مسائلی که با دیدگاه لاگرانژی حل می‌شوند. به عنوان مثال شکست سد در زمان‌های مختلف دارای سطح آزاد<sup>۱</sup> مختلفی می‌باشد و برای مدل‌سازی می‌توان از دیدگاه اویلری<sup>۲</sup> و یا دیدگاه لاگرانژی [2, 50-52] استفاده نمود. هر یکی از این دو روش دارای مزایا و معایبی می‌باشند [53]. در دیدگاه اویلری نیازی به شبکه‌بندی مجدد

<sup>۱</sup> Free surface

<sup>۲</sup> Eulerian approach

در زمان‌های مختلف نیست و برای مدل‌سازی سطح آزاد می‌توان از روش حجم سیال<sup>۱</sup> [54-57] و یا سطوح تراز<sup>۲</sup> [26, 58-60] استفاده نمود. ولی چنانچه بخواهیم از دیدگاه لاگرانژی استفاده کنیم باید در زمان‌های مختلف و با حرکت سطح آزاد شبکه‌بندی جدید را ایجاد نمود. استفاده از روش اجزای محدود برای مدل‌سازی شکست سد با دیدگاه لاگرانژی به علت ایجاد شبکه‌بندی جدید در زمان‌های مختلف بسیار سخت می‌باشد و فضای زیادی از حافظه‌ی کامپیوتر را به خود اختصاص می‌دهد. در این بخش به مدل‌سازی سطح آزاد آب در پدیده‌ی شکست سد پرداخته می‌شود و قابلیت روش ایزوژئومتریک در مسائلی که با دیدگاه لاگرانژی حل می‌شوند مورد بررسی قرار می‌گیرد. همچنین شکست سد با دیدگاه اویلری نیز مدل‌سازی می‌شود.

همان‌طور که در شکل ۵-۲۹ الف نشان داده شده است در ابتدا سیال بین دو دیوار و یک دریچه قرار دارد. در لحظه‌ی ابتدایی سیال هیچگونه حرکتی ندارد. با برداشتن دریچه (شکل ۵-۲۹ ب) سیال حرکت کرده و در زمان‌های مختلف دارای سطح آزاد متفاوتی می‌باشد.



شکل ۵-۲۹: طرح مسئله‌ی شکست سد

<sup>۱</sup> Volume of fluid (VOF)

<sup>۲</sup> Level set method



## ۵-۵-۱ معادلات حاکم بر جریان

معادلات ناویر-استوکس<sup>۱</sup> حاکم بر جریان در دیدگاه لاگرانژی به صورت زیر است (مرجع [61]):

$$\frac{1}{\rho} \frac{D\rho}{Dt} + \nabla \cdot \bar{\mathbf{u}} = 0 \quad (18-5)$$

$$\frac{D\bar{\mathbf{u}}}{Dt} = -\frac{1}{\rho} \nabla P + \bar{\mathbf{g}} + \nu \nabla^2 \bar{\mathbf{u}} + \frac{1}{\rho} \nabla \cdot \bar{\boldsymbol{\tau}} \quad (19-5)$$

رابطه‌ی (۱۸-۵)، معادله‌ی بقای جرم در حالت تراکم‌پذیر و رابطه‌ی (۱۹-۵) معادله‌ی بقای ممنتوم می‌باشد. که در این معادلات:  $\rho$  چگالی سیال،  $t$  زمان،  $\bar{\mathbf{u}}$  بردار سرعت سیال در راستای،  $P$  فشار،  $\nu$  ویسکوزیته سینماتیکی،  $\bar{\mathbf{g}}$  شتاب ثقل،  $\bar{\boldsymbol{\tau}}$  تنش آشفتگی می‌باشند. همچنین  $\frac{D}{Dt}$  مشتق مادی<sup>۲</sup> می‌باشد که به صورت زیر تعریف می‌شود:

$$\frac{D}{Dt} = \frac{\partial}{\partial t} + \nu \nabla$$

با فرض اینکه سیال غیر ویسکوز و تراکم‌ناپذیر باشد، روابط (۱۸-۵) و (۱۹-۵) به صورت زیر ساده می‌شوند.

$$\nabla \cdot \bar{\mathbf{u}} = 0 \quad (20-5)$$

$$\frac{D\bar{\mathbf{u}}}{Dt} = -\frac{1}{\rho} \nabla P + \bar{\mathbf{g}} \quad (21-5)$$

معادله‌ی بقای جرم در دیدگاه اویلری برای سیال غیرویسکوز و تراکم‌ناپذیر همانند معادله (۲۰-۵) می‌باشد ولی معادله‌ی بقای ممنتوم در دیدگاه اویلری به صورت زیر می‌باشد:

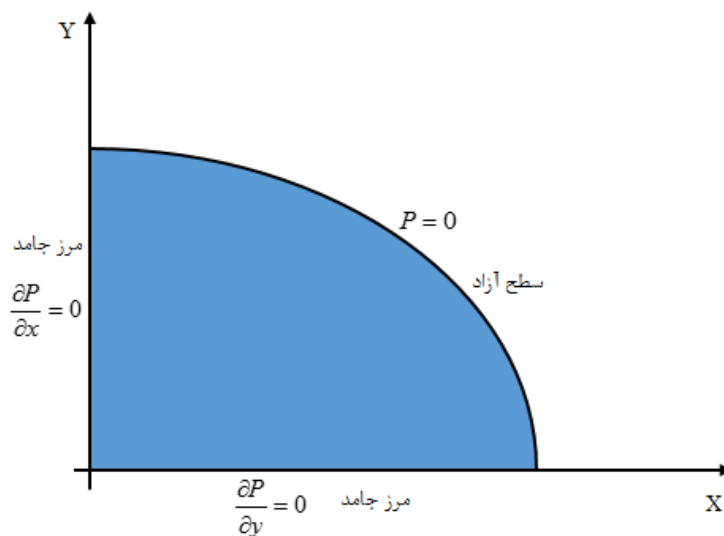
<sup>۱</sup> Navier-Stokes equation

<sup>۲</sup> Material derivative

$$\frac{\partial u}{\partial t} + \bar{\mathbf{u}} \cdot \nabla \bar{\mathbf{u}} = -\frac{1}{\rho} \nabla P + \bar{\mathbf{g}} \quad (۲۲-۵)$$

## ۵-۵-۲ شرایط مرزی

مطابق شکل ۵-۳۰ دو نوع شرط مرزی در مسائل شکست سد وجود دارد. شرط مرزی اول مربوط به سطح آزاد است که میزان فشار در آن برابر با فشار جو (برابر صفر) است و شرط دوم مربوط به میزان جریان عبوری در راستای عمود بر دیواره به سمت خارج است که برابر صفر می‌باشد.



شکل ۵-۳۰: شرایط مرزی مسئله‌ی شکست سد

بنابراین برای فشار دو نوع شرط مرزی متمایز در مسائل شکست سد وجود دارد. اولین شرط فشار اتمسفر روی سطح آزاد (شرط دریشه<sup>۱</sup>) و دومین شرط روی سطح دیوار می‌باشد (شرط نیومن<sup>۲</sup>). این دو شرط به صورت زیر نوشته می‌شود:

<sup>۱</sup> Dirichlet

<sup>۲</sup> Neumann

$$P = 0 \quad \text{روی سطح آزاد}$$

$$\frac{\partial P}{\partial \mathbf{n}} = 0 \quad \text{روی دیوارها}$$

(۲۳-۵)

که  $\mathbf{n}$  بردار واحد عمود به سمت بیرون دیوار می باشد.

### ۳-۵-۵ گسسته سازی زمانی معادلات حاکم

برای گسسته سازی زمانی از روش پیش بینی و اصلاح<sup>۱</sup> سرعت و فشار استفاده می شود. ایده ای اصلی این روش و روش های مشابه (همچون معادله ی پواسون فشار<sup>۲</sup>، روش تصویر کردن<sup>۳</sup> و غیره) با استفاده از معادله ی پیوستگی، معادله ی ممنوم به یک معادله بر حسب فشار می باشد. این روش به صورت دو مرحله ای می باشد.

#### الف) دیدگاه لاگراتژی

در مرحله ی اول فقط عبارت گرانشی معادله ی را در نظر می گیریم (مرحله ی پیش بینی) که برای پیش بینی سرعت و موقعیت نقاط کنترلی استفاده می شود. بنابراین داریم:

$$\Delta \mathbf{u}^* = \mathbf{g} \Delta t \quad (۲۴-۵)$$

$$\mathbf{u}^* = \mathbf{u}^t + \Delta \mathbf{u}^* \quad (۲۵-۵)$$

$$\mathbf{r}^* = \mathbf{r}^t + \mathbf{u}^* \Delta t \quad (۲۶-۵)$$

که  $\mathbf{u}^t$  سرعت نقاط کنترلی،  $\mathbf{r}^t$  موقعیت نقاط کنترلی در زمان  $t$ ،  $\mathbf{u}^*$  سرعت موقتی نقاط کنترلی،  $\mathbf{r}^*$  موقعیت نقاط کنترلی و  $\Delta \mathbf{u}^*$  تغییر سرعت نقاط کنترلی در طی مرحله ی پیش بینی می باشد.

<sup>۱</sup> Prediction-Correction method

<sup>۲</sup> Poisson equation for pressure

<sup>۳</sup> Projection method

در مرحله‌ی دوم که مرحله‌ی تصحیح نامیده می‌شود، عبارت فشار برای محاسبه‌ی تغییرات اصلاحی در سرعت نقاط کنترلی بکار برده می‌شود:

$$\Delta \mathbf{u}^{**} = -\frac{1}{\rho} \nabla P^{t+1} \Delta t \quad (27-5)$$

$$\mathbf{u}^{t+1} = \mathbf{u}^* + \Delta \mathbf{u}^{**} \quad (28-5)$$

که  $\Delta \mathbf{u}^{**}$  تغییر سرعت نقطه‌ی کنترلی در طی مرحله‌ی تصحیح،  $\nabla P^{t+1}$  فشار نقطه‌ی کنترلی در زمان  $t+1$ ،  $\mathbf{u}^{t+1}$  سرعت نقطه‌ی کنترلی در زمان  $t+1$  و  $\rho$  چگالی می‌باشد.

اما برای محاسبه‌ی  $\Delta \mathbf{u}^{**}$  نیاز به تعیین توزیع فشار در زمان  $t+1$  می‌باشد. از دو طرف معادله‌ی (27-5) دیورژانس<sup>۱</sup> می‌گیریم. بنابراین داریم:

$$\nabla \cdot (\Delta \mathbf{u}^{**}) = \nabla \cdot \left( -\frac{1}{\rho} \nabla P^{t+1} \Delta t \right) \quad (29-5)$$

با قرار دادن معادله‌ی (28-5) در رابطه‌ی (29-5) داریم:

$$\nabla \cdot (\mathbf{u}^{t+1} - \mathbf{u}^*) = \nabla \cdot \left( -\frac{1}{\rho} \nabla P^{t+1} \Delta t \right) \quad (30-5)$$

$\mathbf{u}^{t+1}$  سرعت در زمان  $t+1$  می‌باشد، با توجه به قانون پیوستگی  $\nabla \cdot \mathbf{u}^{t+1} = 0$  خواهد و بنابراین رابطه‌ی (30-5) به صورت زیر خواهد شد:

$$\nabla^2 P^{t+1} = \frac{\rho \nabla \cdot \mathbf{u}^*}{\Delta t} \quad (31-5)$$

---

<sup>۱</sup> divergence operator

موقعیت جدید به صورت یک الگوی مرکزی برای زمان به صورت زیر محاسبه می شود:

$$\mathbf{r}^{t+1} = \mathbf{r}^t + \frac{\mathbf{u}^{t+1} + \mathbf{u}^t}{2} \Delta t \quad (32-5)$$

که  $\mathbf{r}^t$  موقعیت نقطه‌ی کنترلی در زمان  $t$  و  $\mathbf{r}^{t+1}$  موقعیت نقطه‌ی کنترلی در زمان  $t+1$  می باشد.

### ب) دیدگاه اوپلری

همانند دیدگاه لاگرانژی از روش دو مرحله‌ی برای گسسته‌سازی زمانی معادلات استفاده می کنیم. در مرحله‌ی پیش‌بینی عبارت گرادیان فشار معادله‌ی (5-22) را صرف نظر کرده و در مرحله‌ی بعدی اصلاح می شود:

$$\mathbf{u}^* = \mathbf{u}^t - (\mathbf{u}^t \nabla \mathbf{u}^* + \bar{\mathbf{g}}) \Delta t \quad (33-5)$$

که  $\mathbf{u}^*$  سرعت حدسی در گام زمانی  $t+1$  و  $\mathbf{u}^t$  سرعت در گام زمانی  $t$  می باشد. در مرحله‌ی تصحیح عبارت گرادیان فشار لحاظ می شود:

$$\mathbf{u}^{t+1} = \mathbf{u}^* - \frac{1}{\rho} \nabla P^{t+1} \Delta t \quad (34-5)$$

همانند روش دیدگاه لاگرانژی می توان معادله‌ی زیر را بدست آورد:

$$\nabla^2 P^{t+1} = \frac{\rho \nabla \cdot \mathbf{u}^*}{\Delta t} \quad (35-5)$$

### ۵-۴-۵ مقدار گام زمانی

مقدار گام زمانی مناسب با توجه به سعی و خطا بدست می آید. مقدار مناسب گام زمانی برای این مسئله برابر 0.001 ثانیه می باشد. چنانچه مقدار بزرگتر از 0.001 ثانیه در نظر گرفته شود جوابها در گام‌های بعدی واگرا

می‌شود و در صورتی که مقدار کمتری در نظر گرفته شود موجب افزایش زمان حل تا رسیدن به زمان مدنظر می‌شود.

### ۵-۵-۵ گسسته‌سازی مکانی با استفاده از روش ایزوژئومتریک

معادله‌ی پواسون<sup>۱</sup> فشار با توجه به شرایط مرزی به صورت زیر دوباره نوشته می‌شود:

$$\nabla^2 P^{t+1} = \frac{\rho}{\Delta t} \nabla \cdot \mathbf{u}^*$$

$$P = 0 \quad \text{روی سطح آزاد} \quad (36-5)$$

$$\frac{\partial P}{\partial \mathbf{n}} = 0 \quad \text{روی دیورهاها}$$

رابطه‌ی (۴-۲۸) را به عنوان تابع شکل در نظر می‌گیریم. بنابراین مقدار تقریبی فشار  $P$  در نقطه‌ی  $(\xi_k, \eta_l)$  به صورت زیر بدست می‌آید:

$$P(\xi_k, \eta_l) = \sum_{i=0}^n \sum_{j=0}^m R_{i,j}(\xi_k, \eta_l) p_{i,j} \quad (37-5)$$

گرادیان و لاپلاس<sup>۲</sup> فشار با استفاده از رابطه‌ی (۵-۳۷) به صورت زیر بدست می‌آید:

$$\nabla P(\xi_k, \eta_l) = \sum_{i=0}^n \sum_{j=0}^m \nabla R_{i,j}(\xi_k, \eta_l) p_{i,j} \quad (38-5)$$

$$\nabla^2 P(\xi_k, \eta_l) = \sum_{i=0}^n \sum_{j=0}^m \nabla^2 R_{i,j}(\xi_k, \eta_l) p_{i,j} \quad (39-5)$$

<sup>۱</sup> Poisson

<sup>۲</sup> Laplacian

با قرار دادن رابطه‌ی (۳۹-۵) در رابطه‌ی (۳۶-۵) باقی‌مانده‌ی معادله‌ی دیفرانسیل  $R^d$ ، و باقی‌مانده‌ی شرط مرزی درپشله  $R^p$  و باقی‌مانده‌ی شرط مرزی نیومن به صورت زیر بدست می‌آید:

$$R_{k,l}^{(d)} = \nabla^2 P_{k,l}^{t+1} - \frac{\rho}{\Delta t} \nabla \cdot \mathbf{u}^* = \sum_{i=0}^n \sum_{j=0}^m \nabla^2 R_{i,j}(\xi_k, \eta_l) P_{i,j}^{t+1} - \frac{\rho}{\Delta t} \nabla \cdot \mathbf{u}^* \quad (۴۰-۵)$$

$$R_{k,l}^{(p)} = P_{k,l}^{t+1} = \sum_{i=0}^n \sum_{j=0}^m R_{i,j}(\xi_k, \eta_l) P_{i,j}^{t+1} \quad (۴۱-۵)$$

$$R_{k,l}^{(t)} = \frac{\partial(P_{k,l}^{t+1})}{\partial \mathbf{n}} = \sum_{i=0}^n \sum_{j=0}^m \frac{\partial R_{i,j}(\xi_k, \eta_l) P_{i,j}^{t+1}}{\partial \mathbf{n}} \quad (۴۲-۵)$$

تابع حداقل مربعات در تمام گره‌ها را می‌توان به صورت زیر نوشت:

$$J = \frac{1}{2} \left( \sum_{k=1}^{M_d} [R_{k,l}^{(d)}]^2 + \alpha \sum_{k=1}^{M_p} [R_{k,l}^{(p)}]^2 + \beta \sum_{k=1}^{M_t} [R_{k,l}^{(t)}]^2 \right) \quad (۴۳-۵)$$

که  $M_d$ ،  $M_p$  و  $M_t$  به ترتیب تعداد نقاط گرهی در قلمرو حل، روی مرز درپشله و روی مرز نیومن می‌باشد.  $\alpha$  و  $\beta$  ضرایب پنالتی درپشله و نیومن با مقادیر به اندازه‌ی کافی بزرگ که شرایط مرزی را ارضاء کنند، می‌باشند.

با حداقل‌سازی رابطه‌ی (۴۳-۵) نسبت به پارامتر گرهی  $P_i$  داریم:

$$\frac{\partial J}{\partial P_{i,j}} = \sum_{k=1}^{M_d} \frac{\partial R_k^{(d)}}{\partial P_{i,j}^{t+1}} [R_{k,l}^{(d)}] + \alpha \sum_{k=1}^{M_p} \frac{\partial R_k^{(p)}}{\partial P_{i,j}^{t+1}} [R_{k,l}^{(p)}] + \beta \sum_{k=1}^{M_t} \frac{\partial R_k^{(t)}}{\partial P_{i,j}^{t+1}} [R_{k,l}^{(t)}] = 0 \quad (۴۴-۵)$$

با قرار دادن روابط (۴۰-۵)، (۴۱-۵) و (۴۲-۵) در رابطه‌ی (۴۴-۵) دستگاه معادلات زیر بدست می‌آید:

$$\mathbf{K} \mathbf{P}^{t+1} = \mathbf{F} \quad (۴۵-۵)$$

که  $\mathbf{P}^{t+1}$  بردار پارامتری فشار در زمان  $t+1$ ، و ماتریس  $\mathbf{K}$  و بردار  $\mathbf{F}$  به صورت زیر بدست می‌آیند:

(۴۶-۵)

$$\mathbf{K}_{lm} = \sum_{i=1}^{M_d} [\nabla^2(N_l)]_i^T [\nabla^2(N_m)]_i + \alpha \sum_{i=1}^{M_p} [(N_l)]_i^T [(N_m)]_i + \beta \sum_{i=1}^{M_t} \left[ \left( \frac{\partial N_l}{\partial \mathbf{n}} \right) \right]_i^T \left[ \left( \frac{\partial N_m}{\partial \mathbf{n}} \right) \right]_i \quad l, m = 1, \dots, M$$

$$\mathbf{F}_l = - \sum_{i=1}^{M_d} [\nabla^2 N_l]_i^T \frac{\rho_i}{\Delta t} \nabla \cdot \mathbf{u}_i^* \quad l = 1, \dots, M \quad (۴۷-۵)$$

که  $M$  کل تعداد گره‌های شامل  $M_d$ ,  $M_p$  و  $M_t$  می‌باشد. ماتریس  $\mathbf{K}$  در رابطه‌ی (۴۶-۵) متقارن و مثبت می‌باشد.

در حالت لاگرانژی هر زمان که توزیع فشار مشخص شد، با استفاده از رابطه‌ی (۲۷-۵) مقدار تصحیح شده  $\Delta \mathbf{u}^{**}$  تعیین می‌شود و مقدار  $\mathbf{u}^{t+1}$  بدست می‌آید. پس از آن می‌توان جابجایی نقاط کنترلی را محاسبه کرد و سپس جابجایی شبکه‌ی کنترل را مشخص نمود. در شکل ۵-۳۱ الگوریتم مدل‌سازی جریان شکست سد با استفاده از روش پیش‌بینی - تصحیح در دیدگاه لاگرانژی و شکل ۵-۳۲ در دیدگاه اویلری نشان داده شده است.

### ۵-۵-۶ ردیابی سطح آزاد

با توجه به اینکه سطح آزاد در زمان‌های مختلف تغییرات قابل ملاحظه‌ای دارد بنابراین استفاده از شیوه‌های مناسب باعث مدل‌سازی دقیق‌تر سطح آزاد می‌شود.

#### الف) ردیابی سطح آزاد در دیدگاه لاگرانژی

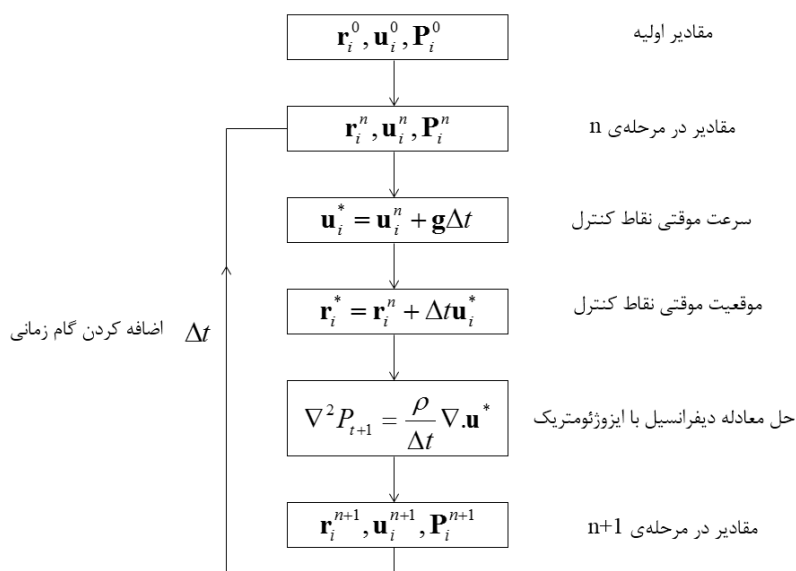
با توجه به اینکه در دیدگاه لاگرانژی نقاط در زمان‌های مختلف حرکت می‌کنند بنابراین ردیابی در این روش بسیار آسان می‌باشد و با دنبال کردن نقاط سطح آزاد در زمان‌های مختلف می‌توان سطح آزاد را مدل‌سازی نمود.

#### ب) ردیابی سطح آزاد در دیدگاه اویلری

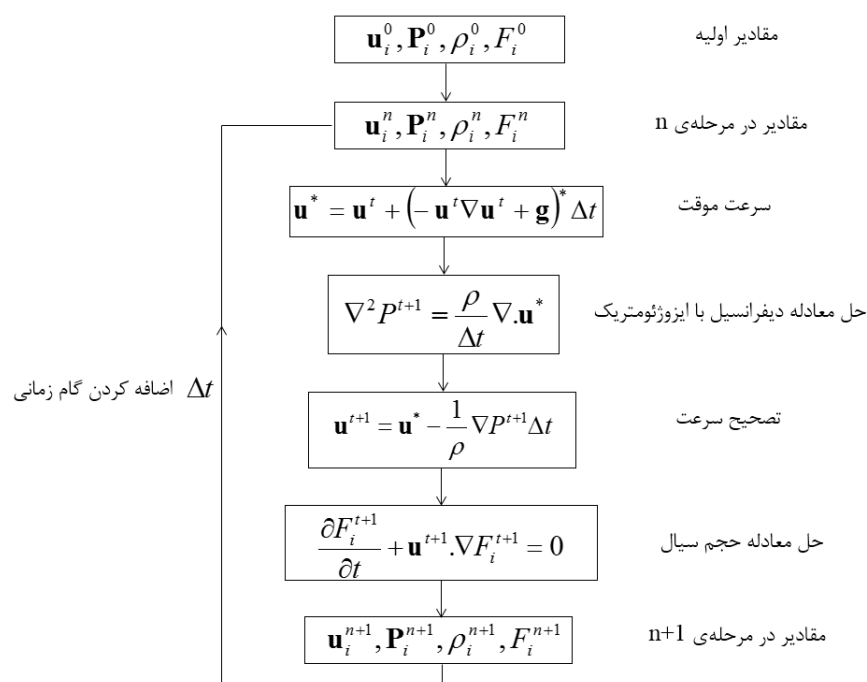
در دیدگاه اویلری دامنه‌ی محاسباتی در طول زمان ثابت می‌باشد. برای مدل‌سازی سطح آزاد روش‌های مختلفی پیشنهاد شده است. روش حجم سیال یکی از پر کاربردترین روش‌های می‌باشد [54]. در این روش دامنه‌ی



محاسباتی به تعداد سلول منظم مستطیلی تقسیم‌بندی می‌شود و پارامتری کسر حجمی سیال (معمولا با  $F$  نشان می‌دهند) تعریف می‌شود که مشخص کننده‌ی درصد پرشدگی یک سلول از سیال می‌باشد به طوری که  $F=0$  یعنی سلول خالی از سیال مدنظر،  $F=1$  یعنی سلول پر از سیال مدنظر و  $0 < F < 1$  سیال به صورت نیمه پر می‌باشد.



شکل ۵-۳: الگوریتم مدل سازی جریان شکست سد با استفاده از روش دو مرحله‌ای با دیدگاه لاگرانژی



شکل ۵-۳۲: الگوریتم مدل سازی جریان شکست سد با استفاده از روش دو مرحله‌ای با دیدگاه اویلری

مقدار تغییرات کسر حجمی سیال در هر بازه‌ی زمانی از رابطه‌ی زیر بدست می‌آید [54]:

$$\frac{\partial F}{\partial t} + \mathbf{u} \cdot \nabla F = 0 \quad (48-5)$$

با حل معادله‌ی (۴۸-۵) می‌توان سطح آزاد را در زمان‌های مختلف ردیابی نمود. مشکل اساسی هنگامی رخ می‌دهد که سلول‌های معمولاً به صورت نیمه پر می‌باشند. برای رفع این مشکل از روش سلول دهنده-گیرنده<sup>۱</sup> استفاده می‌کنیم [54].

$$\delta F = \text{MIN} \{ F_{AD} |\mathbf{u} \cdot \delta t| + CF, F_D \delta x_D \} \quad (49-5)$$

که

$$CF = \text{MAX} \{ (1 - F_{AD}) |\mathbf{u} \cdot \delta t| - (1 - F_D) \delta x_D, 0 \} \quad (50-5)$$

که  $\delta x_D$  برابر طول سطحی که شار عبوری از آن محاسبه می‌شود،  $F_D$  و  $F_A$  به ترتیب برابر با نسبت پرشدگی یک سلول دهنده و گیرنده و  $F_{AD}$  برابر با  $F_D$  و  $F_A$  بسته به وضعیت سطح آزاد در سلول مورد نظر دارد.  $F_{AD}$  برابر با  $F_D$  است زمانی که سطح آزاد تقریباً عمود بر سطح مشترک بین سلول دهنده و گیرنده باشد و در غیر این صورت  $F_{AD}$  برابر با  $F_A$  می‌باشد.

<sup>۱</sup> Doner-Acceptor

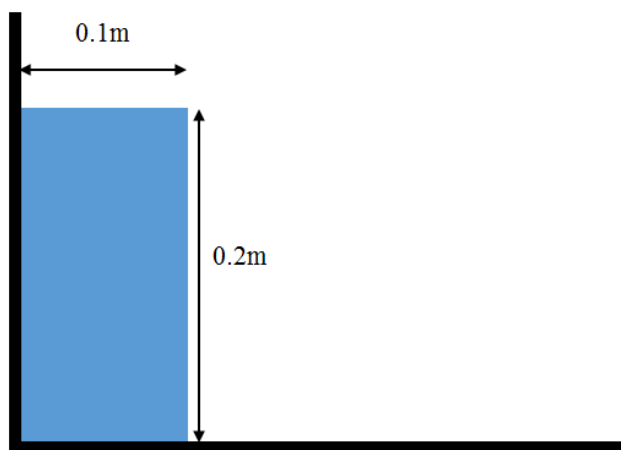
## ۵-۵-۷ مقایسه‌ی روش ایزوژئومتریکی و روش بدون شبکه

برای مدل‌سازی شکست سد با استفاده از روش ایزوژئومتریکی و مقایسه‌ی آن با روش بدون شبکه (مرجع [2]) و همچنین مقایسه روش حجم سیال (مرجع [62]) ارتفاع اولیه‌ی ستون آب را ۰,۲ متر و عرض آن را ۰,۱ متر در نظر گرفته می‌شود (شکل ۵-۳۳).

برای مدل‌سازی شکست سد با استفاده از روش ایزوژئومتریکی درجه توابع نریز را ۲ ( $p=q=2$ ) و تعداد نقاط کنترلی را برابر ۱۰۰ در نظر گرفته می‌شود (شکل ۵-۳۴). وزن‌ها در تمامی نقاط کنترل برابر ۱ می‌باشد. بردارهای گرهی در هر دو راستا به صورت یکنواخت، باز و استاندارد می‌باشد. و به صورت زیر است:

$$\Xi=H=[0 \ 0 \ 0 \ 0.125 \ 0.25 \ 0.375 \ 0.5 \ 0.625 \ 0.75 \ 1 \ 1 \ 1]$$

فضای پارامتری و فضای اندیکسی بردار گرهی بالا در شکل ۵-۳۵ نشان داده شده است.

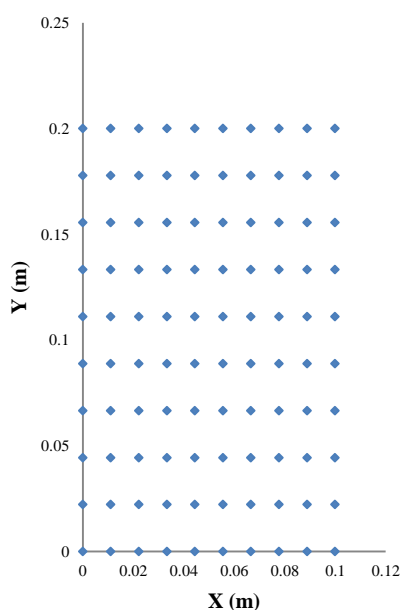


شکل ۵-۳۳: ابعاد ستون آب برای مدل‌سازی شکست سد

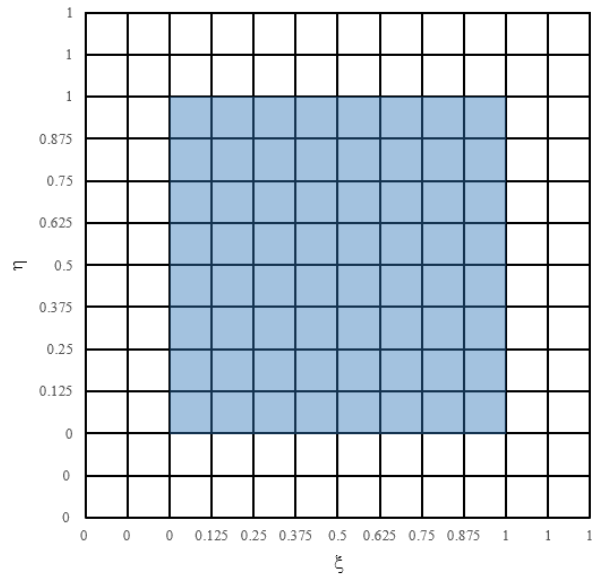
در شکل ۵-۳۶ مدل‌سازی شکست سد با استفاده از روش ایزوژئومتریکی و روش بدون شبکه مرجع [2] با هم مقایسه شده است.

همان‌طور که در شکل ۵-۳۶ مشاهده می‌شود با در نظر گرفتن ۱۰۰ نقطه‌ی کنترلی جواب‌ها بدست آمده از روش ایزوژئومتریک و روش بدون شبکه نزدیک به هم می‌باشد. برای مدل‌سازی در روش بدون شبکه ۴۵۰ گره در نظر گرفته شده است (مرجع [2]). بنابراین دستگاه معادلات روش ایزوژئومتریک دارای اندازه بسیار کمتر نسبت به روش بدون شبکه می‌باشد.

در شکل ۵-۳۷ جابجایی نقاط کنترلی در زمان‌های مختلف را نشان می‌دهد.

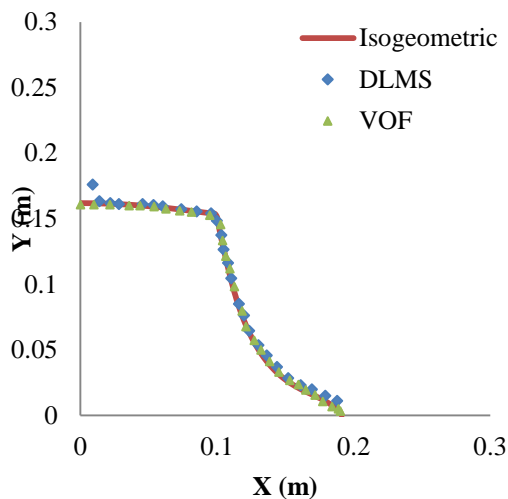


شکل ۵-۳۴: نقاط کنترلی برای مدل‌سازی روش ایزوژئومتریک

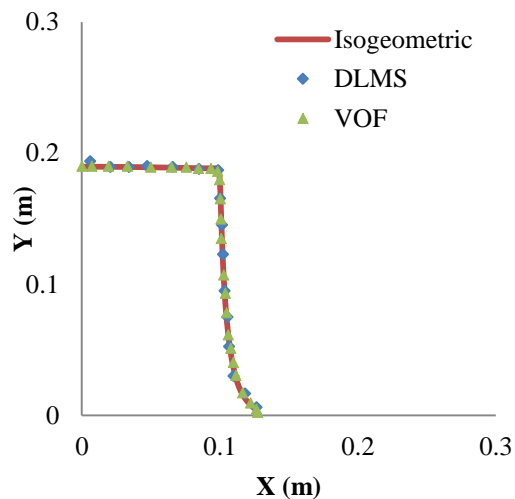


شکل ۵-۳: فضای پارامتری و فضای اندیکسی بردار گرهی

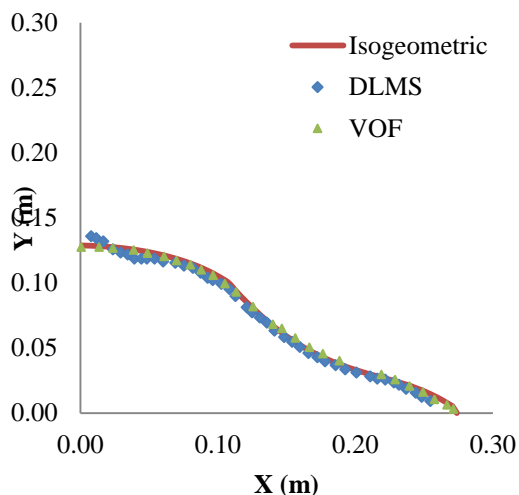
$$\Xi=H=[0 \ 0 \ 0.125 \ 0.25 \ 0.375 \ 0.5 \ 0.625 \ 0.75 \ 1 \ 1 \ 1]$$



ب) ۰,۱ ثانیه



الف) ۰,۰۵ ثانیه



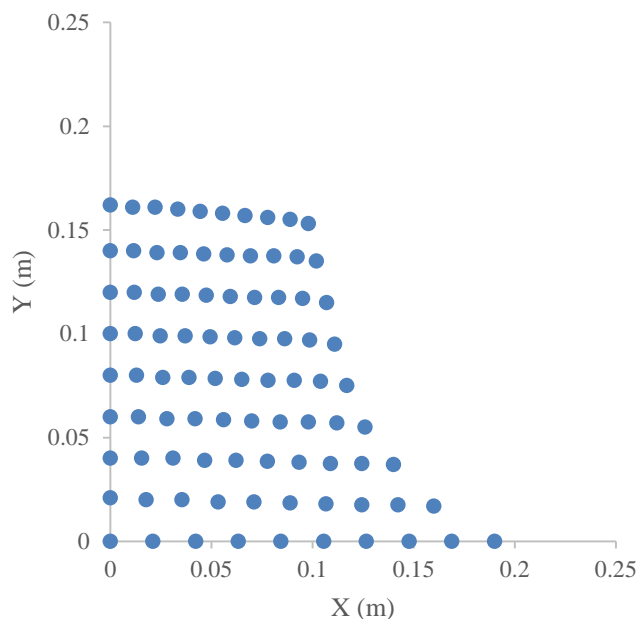
ج) ۰,۱۵ ثانیه

شکل ۵-۳۶: مقایسه‌ی مدل‌سازی شکست سد با استفاده از روش ایزوژئومتریک و روش بدون شبکه (مرجع [2])

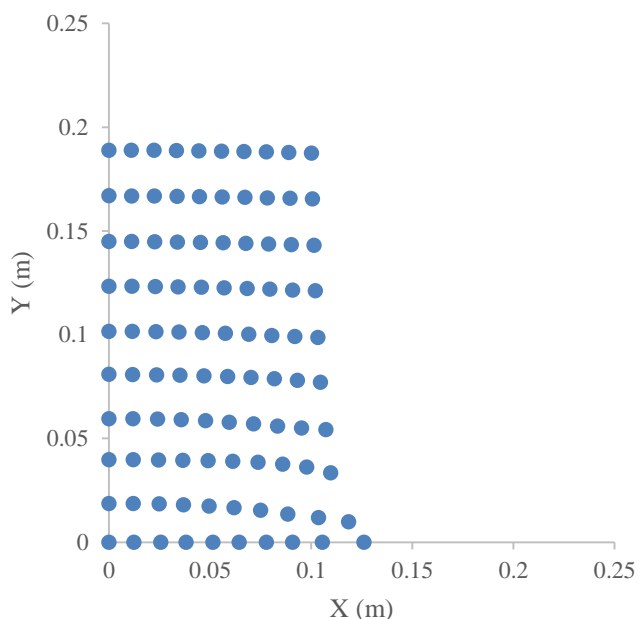
در زمان‌های الف) ۰,۰۵ ثانیه، ب) ۰,۱ ثانیه و ج) ۰,۱۵ ثانیه

در شکل ۵-۳۸ بردارهای سرعت بدست آمده از روش ایزوژئومتریک و روش بدون شبکه مرجع [2] با هم مقایسه شده است.

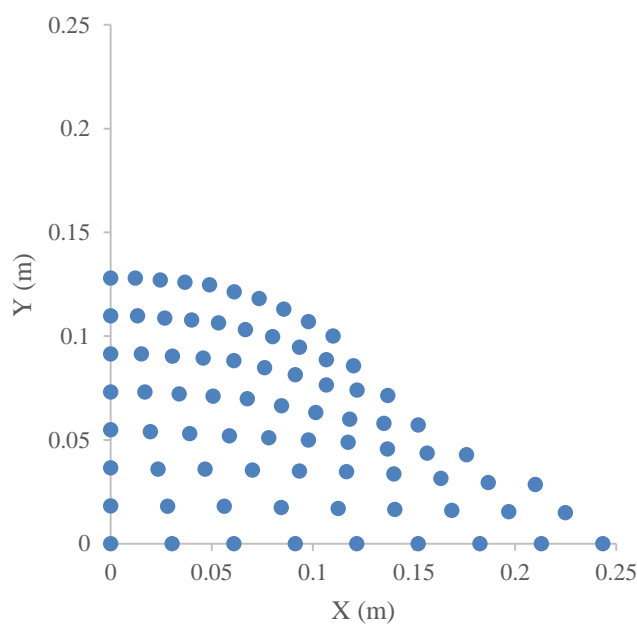
با توجه به شکل می‌توان فهمید که در ابتدا سرعت ذرات بیشتر تحت تاثیر نیروی گرانشی هستند و با افزایش زمان سرعت در راستای قائم کم شده و سرعت در راستای افقی بیشتر می‌شود.



ب) ۰,۱ ثانیه



الف) ۰,۵ ثانیه



ج) ۰,۱۵ ثانیه

شکل ۵-۳۷: موقعیت نقاط کنترلی در زمان‌های الف) ۰,۵ ثانیه و ب) ۰,۱ ثانیه ج) ۰,۱۵ ثانیه

در شکل ۵-۳۹ پروفیل فشار در زمان‌های مختلف بدست آمده از روش ایزوژئومتریک و روش بدون شبکه مرجع

[2] با هم مقایسه شده است.

با توجه به مقایسه‌ی نتایج روش ایزوژئومتریکی و روش بدون شبکه می‌توان به قابلیت مهم روش ایزوژئومتریکی برای مدل‌سازی جریاناتی که با دیدگاه لاگرانژی حل می‌شوند پی‌برد. البته یکی از مشکلات روش ایزوژئومتریکی با دیدگاه لاگرانژی حل جابجایی‌های بزرگ و یا پیچیده می‌باشد. به عنوان مثال جریان شکست سد که مانع جلو آن قرار گرفته است (شکل ۵-۴۰) مدل‌سازی آن با دیدگاه لاگرانژی و استفاده از روش ایزوژئومتریکی کاری بسیار سخت می‌باشد. بنابراین برای مدل‌سازی چنین پدیده‌هایی باید از دیدگاه اویلری استفاده نمود و برای مدل‌سازی سطح آزاد از روش‌های مرسوم مانند روش حجم سیال و یا سطوح تراز استفاده نمود. در ادامه با استفاده از دیدگاه اویلری شکست با مانع را مورد بررسی قرار می‌دهیم.

### ۵-۵-۸ مدل‌سازی شکست سد با مانع با دیدگاه اویلری

در این بخش برای بررسی دیدگاه اویلری و مقایسه‌ی با نتایج آزمایشگاهی از مرجع [62] استفاده می‌کنیم. ابعاد کانال و ستون آب در شکل ۵-۴۰ نشان داده شده است.

در شکل ۵-۴۰ نقاط GP2، GP8، GP10، GP11، GP13، GP20 به ترتیب از مخزن دارای فاصله‌های ۲، ۸، ۱۰، ۱۱، ۱۳، ۲۰ متر می‌باشد. نتایج مدل‌سازی در شکل ۵-۴۱ نشان داده شده است.

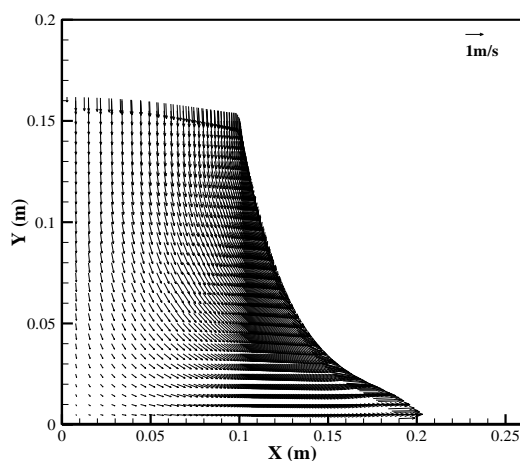
### ۵-۵-۹ مقایسه‌ی روش ایزوژئومتریکی و روش اجزای محدود

در این قسمت به مقایسه‌ی نتایج مدل‌سازی شکست سد با روش ایزوژئومتریکی (دیدگاه لاگرانژی) و روش اجزای محدود می‌پردازیم. برای مدل‌سازی شکست با روش اجزای محدود از مرجع [3] استفاده شده است. در این مرجع برای مدل‌سازی از روش جداسازی بر پایه‌ی مشخصه<sup>۱</sup> استفاده شده است. ابعاد مدل‌سازی شکست سد در شکل

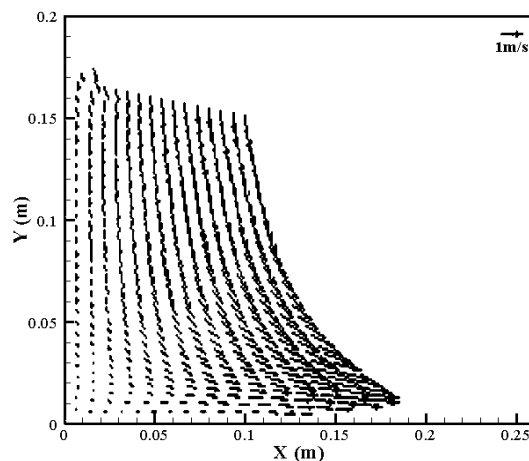
<sup>۱</sup> Characteristic Based Split (CBS)



۴۲-۵ نشان داده شده است. عرض ستون آب برابر 0.35 متر و ارتفاع آن 0.7 متر است. برای مدل سازی با روش ایزوژئومتریک تعداد گره ها و بردار گرهی مانند مثال قبل استفاده می شود.

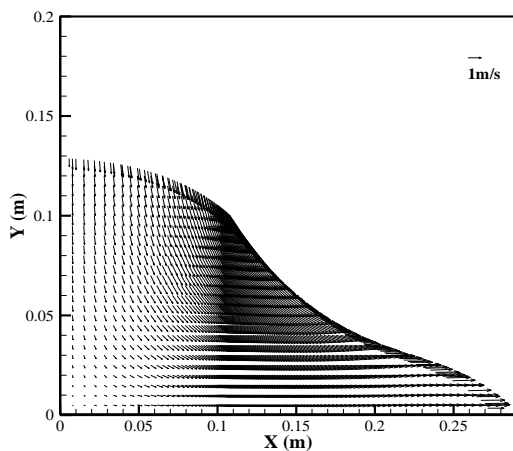


روش ایزوژئومتریک

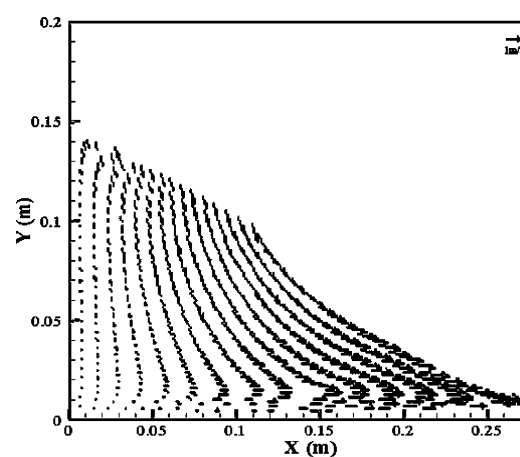


روش بدون شبکه (مرجع [2])

الف) ۰,۱ ثانیه



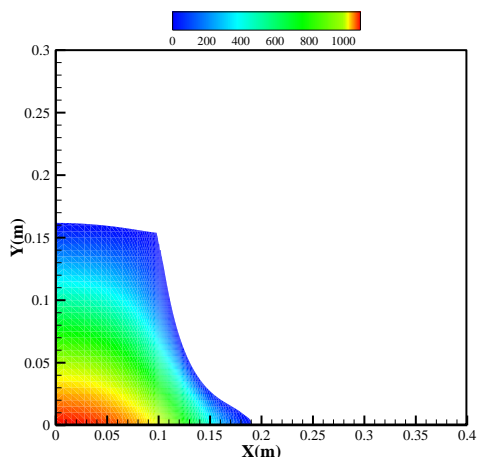
روش ایزوژئومتریک



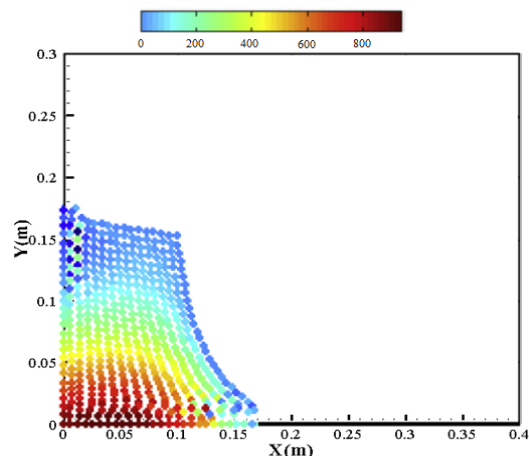
روش بدون شبکه (مرجع [2])

ب) ۰,۱۵ ثانیه

شکل ۳۸-۵: مقایسه ی بردار سرعت با استفاده از روش ایزوژئومتریک و روش بدون شبکه (مرجع [2]) در زمان های الف) ۰,۱ ثانیه و ب) ۰,۱۵ ثانیه.

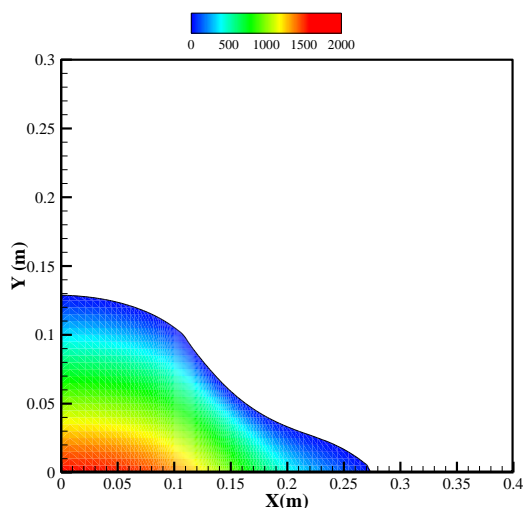


روش ایزوژئومتریک

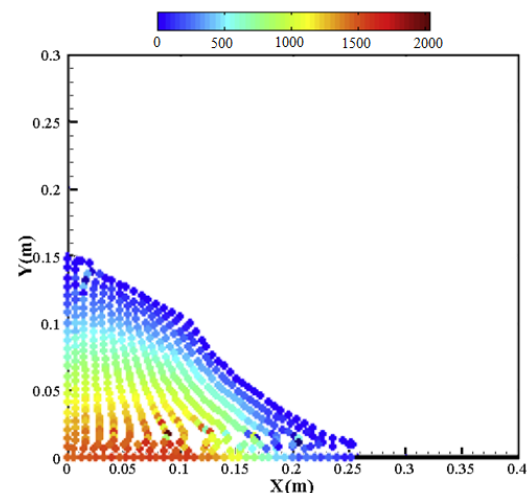


روش بدون شبکه (مرجع [2])

الف) ۰,۱ ثانیه



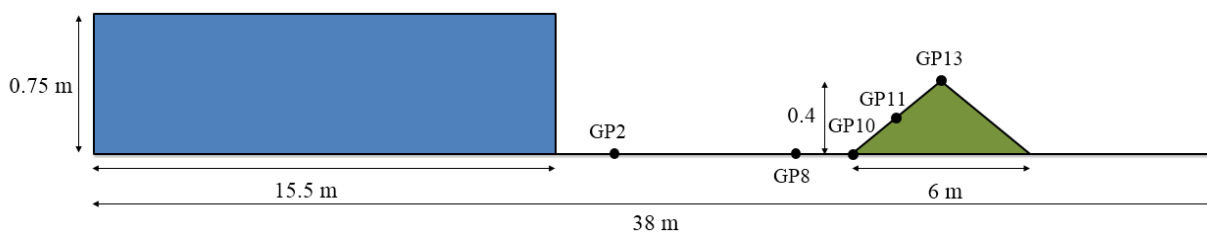
روش ایزوژئومتریک



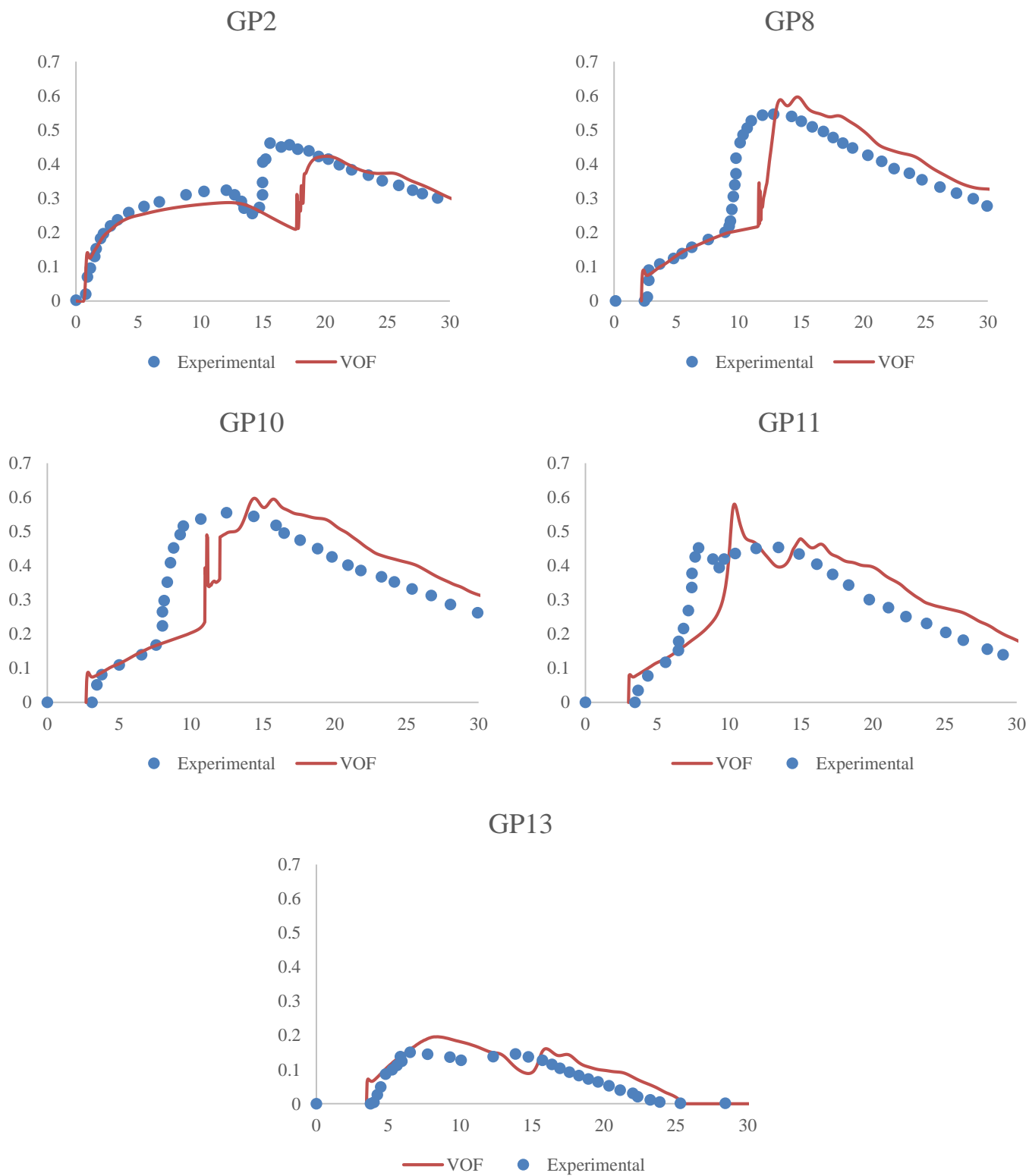
روش بدون شبکه (مرجع [2])

ب) ۰,۱۵ ثانیه

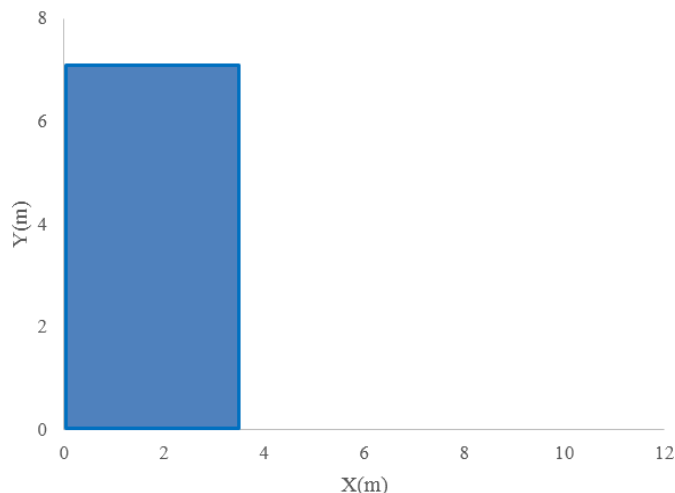
شکل ۵-۳۹: مقایسه‌ی پروفیل فشار با استفاده از روش ایزوژئومتریک و روش بدون شبکه (مرجع [2]) در زمان‌های الف) ۰,۱ ثانیه و ب) ۰,۱۵ ثانیه (برحسب پاسکال)



شکل ۵-۴۰: ابعاد و هندسه‌ی شکست سد با مانع مرجع [62]



شکل ۵-۴۱: مقایسه‌ی نتایج روش ایزوژئومتریک با نتایج آزمایشگاه با مرجع [62]



شکل ۵-۴۲: هندسه‌ی مدل شکست سد.

نتایج شکست سد در زمان‌های مختلف حاصل از روش ایزوژئومتریکی در شکل ۵-۴۳ با روش اجزای محدود مقایسه شده است. با توجه به شکل ۵-۴۳ می‌توان از صحت نتایج روش ایزوژئومتریکی اطمینان حاصل کرد. در شکل ۵-۴۴ نتایج بردار سرعت و در شکل ۵-۴۵ نتایج پروفیل فشار از روش ایزوژئومتریکی نشان داده شده است. البته در مرجع [3] اشاره‌ای به مقادیر بردار سرعت و پروفیل فشار نشده بنابراین مقایسه‌ای بین این نتایج هم نشده است.

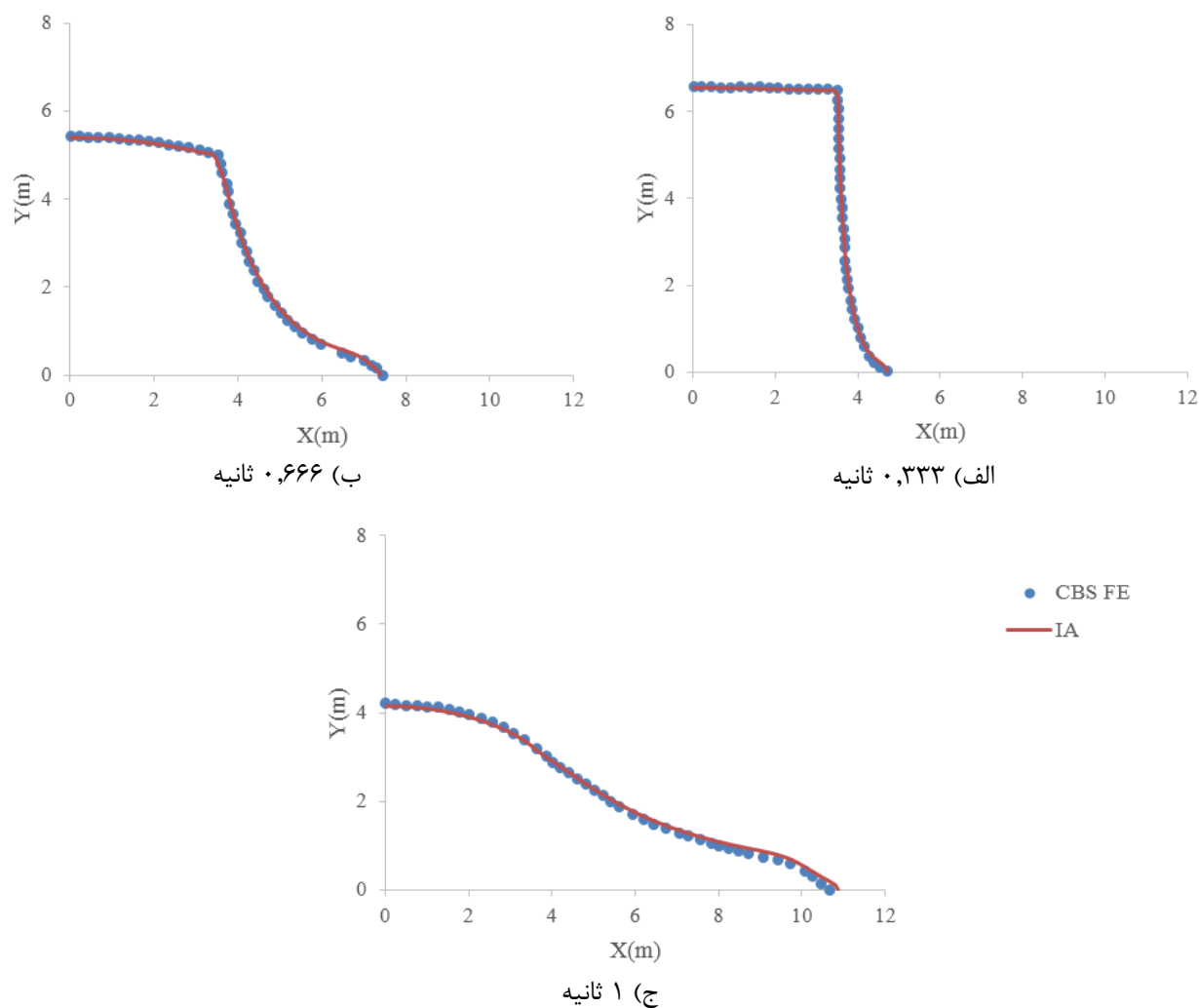
#### ۵-۵-۱ مقایسه‌ی انواع روش‌های مدل‌سازی شکست سد با نتایج آزمایشگاهی

در این قسمت برای مقایسه‌ی بهتر روش ایزوژئومتریکی (دیدگاه لاگرانژی) و روش بدون شبکه (مرجع [2]) نتایج این دو روش را با نتایج آزمایشگاهی (مرجع [54]) مقایسه می‌کنیم. بدین منظور میزان پیش‌روی موج را در زمان‌های مختلف مقایسه می‌کنیم. نتایج در شکل ۵-۴۶ نشان داده شده است. در این شکل  $a$  عرض مخزن قبل از شکست سد ( $a=0.1\text{m}$ )،  $g$  شتاب جاذبه و  $x$  موقعیت سطح آب روی بستر می‌باشد.

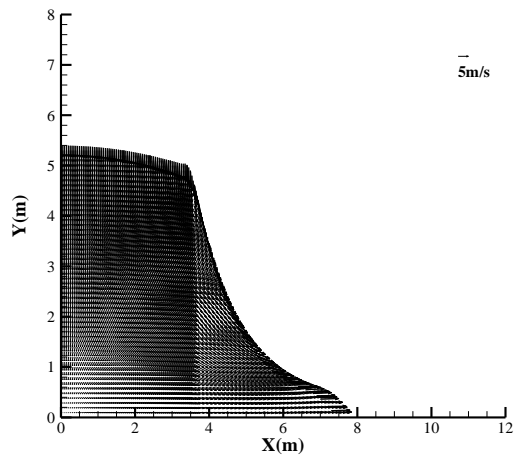
با توجه به شکل ۵-۴۶ می‌توان دریافت که نتایج روش ایزوژئومتریکی نسبت به نتایج روش بدون شبکه به نتایج آزمایشگاهی نزدیک‌تر می‌باشد.

گسسته‌سازی معادلات حاکم بر جریان با فرض سیال بدون ویسکوزیته انجام شد و با استفاده از روش پیش‌بینی-تصحیح گسسته‌سازی معادلات صورت گرفت. در این قسمت برای بررسی اثرات ویسکوزیته در معادلات، نتایج را با مرجع [61] که ویسکوزیته را در نظر گرفته و برای گسسته‌سازی از روش پیش‌بینی-تصحیح استفاده کرده می‌پردازیم. مقایسه‌ی نتایج در شکل ۴۷-۵ نشان داده شده است.

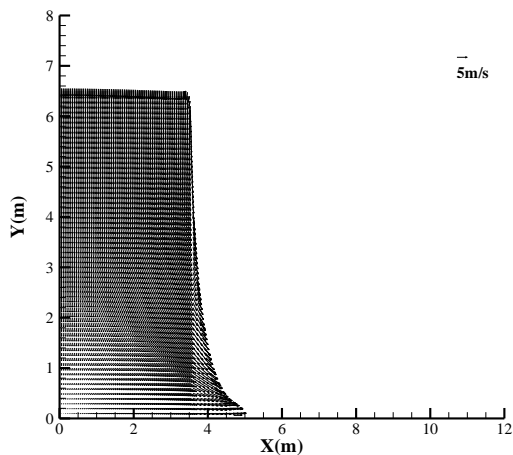
همان‌طور که از شکل ۴۷-۵ مشخص است اختلاف بسیار اندکی بین در نظر گرفتن یا در نظر نگرفتن ویسکوزیته وجود دارد.



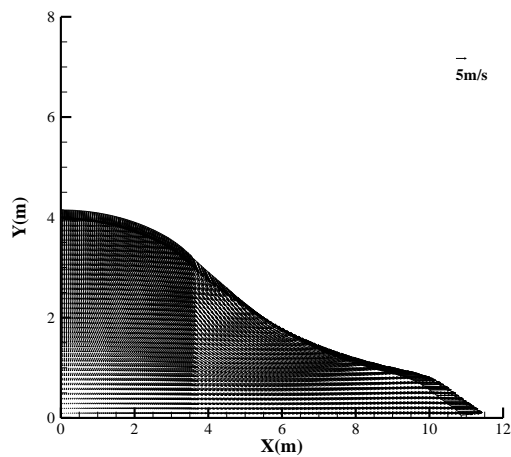
شکل ۴۳-۵: مقایسه‌ی پروفیل سطح آب با استفاده از روش ایزوژئومتریک و روش بدون شبکه (مرجع [3]) در زمان‌های الف) ۰,۳۳۳ ثانیه، ب) ۰,۶۶۶ ثانیه و ج) ۱ ثانیه.



ب) ۰,۶۶۶ ثانیه

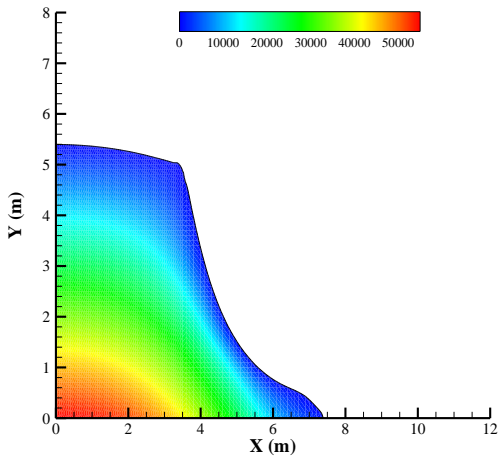


الف) ۰,۳۳۳ ثانیه

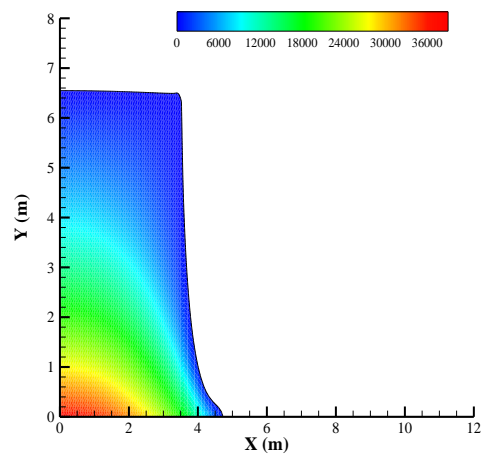


ج) ۱ ثانیه

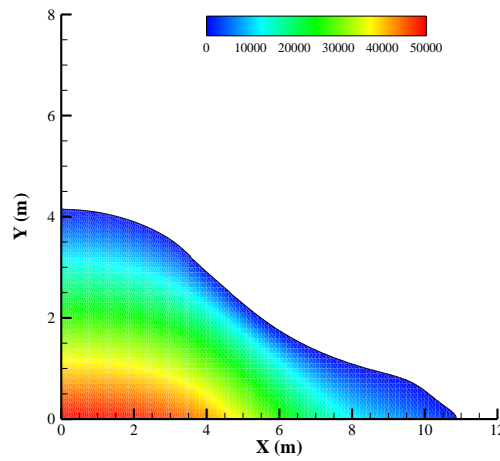
شکل ۴۴-۵: بردارهای سرعت بدست آمده از روش ایزوژئومتریک.



ب) ۰,۶۶۶ ثانیه

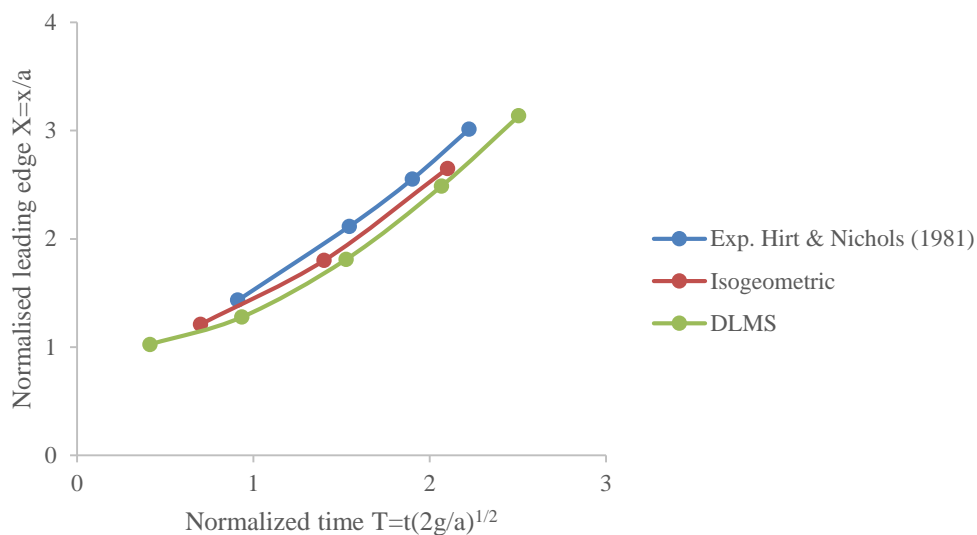


الف) ۰,۳۳۳ ثانیه

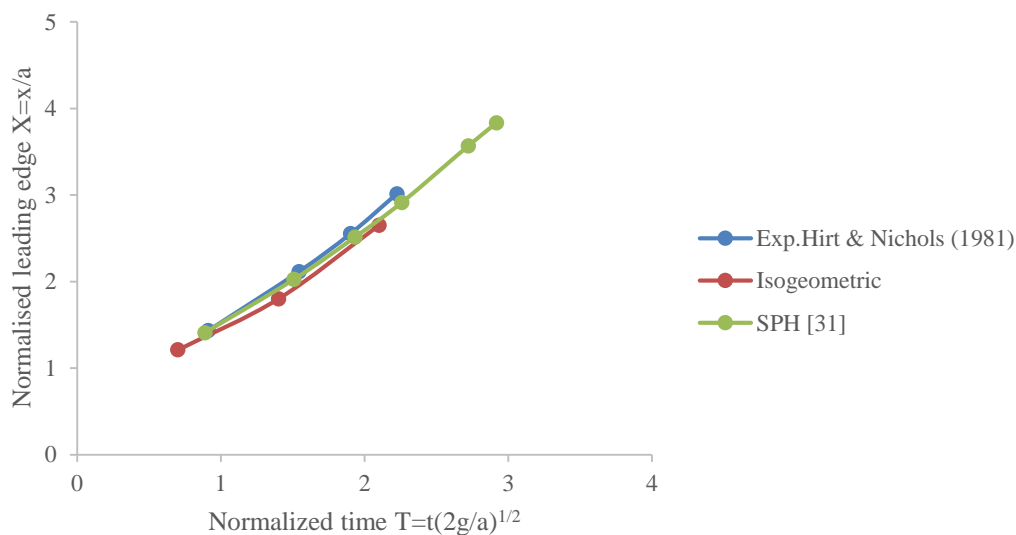


ج) ۱ ثانیه

شکل ۵-۴۵: پروفیل فشار بدست آمده از روش ایزوژئومتریک (برحسب پاسکال).



شکل ۵-۴۶: مقایسه‌ی نتایج روش ایزوژئومتریک و بدون شبکه ([2]) با نتایج آزمایشگاهی ([54]).



شکل ۵-۴۷: مقایسه‌ی نتایج روش ایزوژئومتریک و SPH ([61]) و آزمایشگاهی ([54]).



# فصل ششم

## جمع‌بندی نتایج و پیشنهادات

## ۱-۶ مقدمه

این رساله در شش فصل تنظیم شده است. فصل اول مقدمه‌ای در مورد پایان‌نامه و فرضیات بکار رفته توضیحاتی داده شد. در فصل دوم به مقدمه‌ای بر روش ایزوژئومتریکی و در فصل سوم به طور مختصر اصول روش‌های عددی اشاره شده است. در فصل چهارم روش‌های تولید هندسه توضیح داده شده است. در فصل پنجم چند مثال برای بررسی کارایی روش ایزوژئومتریکی مورد بررسی قرار گرفته است. در ابتدای این فصل یافته‌ها و نتایج فصل پنجم ارائه شده است و در ادامه چند پیشنهاد برای تحقیقات آتی در مسائل دینامیک سیالات محاسباتی با روش ایزوژئومتریکی معرفی شده است.

## ۲-۶ جمع‌بندی نتایج

با توجه به نو ظهور بودن روش ایزوژئومتریکی و استفاده‌ی بیشتر آن در مکانیک جامدات، استفاده از این روش در دینامیک سیالات محاسباتی می‌تواند گامی توانمند برای رفع مشکلات و بهبود مسائل دینامیک سیالات محاسباتی باشد. با در نظر گرفتن نقاط قوت این روش می‌توان در بررسی پدیده‌های سیالاتی که روش‌های دیگر دارای ضعف می‌باشند، از این روش استفاده نمود. در واقع این رساله گامی در جهت استفاده از روش ایزوژئومتریکی در بررسی برخی از پدیده‌های دینامیک سیالات محاسباتی می‌باشد و با توجه به پیشرفت روش ایزوژئومتریکی در آینده می‌توان مسائل پیچیده‌تری را با روش ایزوژئومتریکی مورد بررسی قرار داد.

## ۱-۲-۶ نتایج عمومی

در این قسمت نتایجی که از این پایان‌نامه بدست آمده و در دیگر مقالات یا پایان‌نامه‌ها آمده شده اشاره می‌شود.

- ۱- کاهش قابل ملاحظه‌ی دستگاه معادلات در روش ایزوژئومتریکی نسبت به روش‌های مانند روش اجزای محدود. که این امر موجب کاهش زمان حل و کاهش فضای حافظه مورد استفاده در کامپیوتر می‌شود.

- ۲- ایجاد هندسه‌ی دقیق بخصوص در مسائلی که دارای هندسه‌ی دایره‌ای و غیره می‌باشند. در حالی که در بقیه‌ی روش‌ها مانند روش اجزای محدود برای ایجاد هندسه‌ی دقیق نیاز به شبکه‌بندی بسیار ریزتر می‌باشد که موجب افزایش تعداد مجهولات و افزایش زمان حل می‌شود.
- ۳- با استفاده از توابع نربز ایجاد و تغییر هندسه بسیار آسان می‌باشد در واقع با استفاده از نقاط کنترل به آسانی می‌توان هندسه‌ی مورد نظر را تعریف و یا آنرا تغییر داد.
- ۴- اطلاعات ورودی (مانند درجه‌ی بردار گرهی، بردار گرهی و غیره) بسیار ساده و قابل فهم می‌باشند و برای بررسی هر کدام از آنها می‌توان به سادگی تغییراتی ایجاد نمود و به تحلیل اثرات آنها در حل مسائل مختلف که با روش ایزوژئومتریکی حل می‌شوند، پرداخت.
- ۵- روش ایزوژئومتریکی براساس روش اجزای محدود می‌باشد و تفاوت اصلی آن استفاده از توابع شکل دیگر می‌باشد. در واقع در روش ایزوژئومتریکی از مزایای روش توابع نربز برای مدل‌سازی هندسه‌ی دقیق و توابع شکل استفاده شده است.
- ۶- برای انتگرال‌گیری در روش ایزوژئومتریکی می‌توان از روش اجزای محدود یعنی انتگرال‌گیری گوسی استفاده نمود. البته باید در انتخاب تعداد نقاط گوسی دقت فراوان انجام داد.
- ۷- در روش ایزوژئومتریکی برای گسسته‌سازی معادلات می‌توان از روش‌های معمول اجزای محدود (مانند روش گالرکین) استفاده نمود.
- ۸- در روش ایزوژئومتریکی برای ایجاد هندسه نقاط کنترلی لزوماً بر روی هندسه‌ی جسم واقع نمی‌شوند در حالی که در دیگر روش‌ها نقاط گرهی بر روی هندسه‌ی جسم قرار می‌گیرند.
- ۹- انتخاب تعداد نقاط کنترلی در روش ایزوژئومتریکی برای رسیدن به جواب مطلوب بسیار مهم می‌باشد. و افزایش تعداد نقاط کنترلی روند رسیدن به جواب دقیق بسیار سریع می‌باشد بنابراین با انتخاب مناسب

تعداد نقاط کنترلی ضمن رسیدن به جواب مناسب می‌توان از افزایش تعداد مجهولات و در نتیجه افزایش زمان حل جلوگیری نمود.

۱۰- یکی دیگر عوامل موثر در رسیدن به جواب مطلوب در روش ایزوژئومتریکی انتخاب مناسب بردار گرهی می‌باشد. که با توجه به نوع مسئله باید انتخاب شود.

### ۶-۲-۲ نتایج

نتایجی که از این تحقیق و بررسی برخی از پدیده‌های دینامیک سیالات محاسباتی با روش ایزوژئومتریکی بدست آمده عبارتند از:

- ۱- در این تحقیق نشان داده شد که روش ایزوژئومتریکی هم برای دیدگاه اوپلری و هم برای دیدگاه لاگرانژی مسائل دینامیک سیالات محاسباتی مناسب است.
- ۲- کارایی مناسب روش ایزوژئومتریکی در حل مسئله‌ی شکست سد با دیدگاه لاگرانژی و مدل‌سازی سطح آزاد در زمان‌های مختلف.
- ۳- کاهش قابل ملاحظه‌ی دستگاه معادلات روش ایزوژئومتریکی نسبت به روش بدون شبکه و روش اجزای محدود در حل مسئله‌ی شکست سد با دیدگاه لاگرانژی.
- ۴- مدل‌سازی دقیق‌تر سطح آزاد مسئله‌ی شکست سد روش ایزوژئومتریکی نسبت به روش بدون شبکه.
- ۵- برای مدل‌سازی شکست سد در نظر گرفتن عباراتی که شامل لزجت باشند موجب ساده‌تر شدن معادلات شده و مدل‌سازی انجام شده این معادلات ساده‌تر و دارای جواب قابل قبول می‌باشند.
- ۶- مناسب بودن گسسته‌سازی زمانی انجام شده براساس الگوی دو مرحله‌ای پیش‌بینی-تصحیح برای مدل‌سازی شکست سد و استفاده مناسب این الگو با روش ایزوژئومتریکی.

## ۳-۶ پیشنهادات

با توجه به جدید بود روش ایزوژئومتریکی و استفاده‌ی کمتر آن در دینامیک سیالات محاسباتی بیشتر پدیده‌های که با روش‌های اجزای محدود و بدون شبکه بررسی شده است را می‌توان با این روش نیز مورد مطالعه قرار داد و از خصوصیات مهم آن نسبت به این دو روش استفاده کرد. برای انجام تحقیقات بیشتر در ادامه‌ی این تحقیق می‌توان موارد زیر را پیشنهاد داد.

- ۱- روش‌های مختلفی برای گسسته‌سازی زمانی معادلات وجود دارد. که تقریباً دارای مبنای یکسانی می‌باشند (با استفاده از معادله‌ی ممنتوم، معادله‌ی پیوستگی جریان به معادله‌ی پواسون فشار تبدیل می‌شود). در این تحقیق از روش پیش‌بینی و اصلاح سرعت و فشار که روش دو مرحله‌ای می‌باشد استفاده شده است. روش‌های دیگری همچون معادله‌ی پواسون فشار، روش تصویر کردن و غیره را می‌توان مورد بررسی قرار داد.
- ۲- تمامی مدل‌های عددی دارای مقداری خطا می‌باشند که تقریباً اجتناب‌ناپذیر می‌باشد. خطاهایی که در روش‌های عددی وجود دارد شامل خطای گسسته‌سازی و خطای گرد کردن می‌باشد. روش‌های مختلفی برای برآورد خطا وجود دارد. پس از برآورد خطا می‌توان نواحی که دارای خطای بیشتری می‌باشند با روش‌های گوناگون خطای آن محدوده را کمتر کرد. این موضوع می‌تواند خود به عنوان پژوهشی در ادامه‌ی این تحقیق باشد.
- ۳- همان‌طور که قبلاً ذکر شد برای مدل‌سازی سطح آزاد می‌توان از دو روش اویلری و لاگرانژی استفاده کرد. یکی از معایب روش ایزوژئومتریکی با دیدگاه لاگرانژی ناتوانایی آن در مسائلی است که دارای جابجایی‌های بسیار زیاد می‌باشند.

برای بررسی چنین پدیده‌های می‌توان از دیدگاه اوپلری استفاده کرد و برای مدل‌سازی سطح آزاد روش حجم سیال را بکار برد. برخی از این پدیده‌ها که می‌توان با استفاده از دیدگاه اوپلری و روش حجم سیال می‌توان مدل‌سازی نمود عبارتند از:

- مدل‌سازی جریان شکست با استفاده از دیدگاه اوپلری.
- مدل‌سازی امواج سونامی<sup>۱</sup>.

---

<sup>۱</sup> Tsunami waves

# پوست

الف- حل تحلیلی توزیع سرعت در کانال شیبدار با جریان یکنواخت

ب- محاسبه‌ی وزن‌های نقاط کنترل برای ترسیم سطوح نرېز

## الف- حل تحلیلی توزیع سرعت در کانال شیبدار با جریان یکنواخت

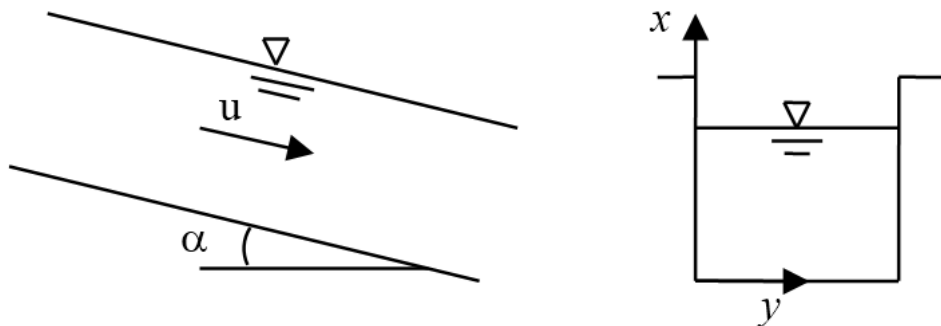
معادله‌ی دیفرانسیلی حاکم بر این جریان به صورت زیر می‌باشد:

$$\nu \left( \frac{\partial^2 u}{\partial x^2} + \frac{\partial^2 u}{\partial y^2} \right) + g \sin \alpha = 0 \quad (1)$$

در این رابطه  $u$  سرعت در راستای شیب کانال،  $\nu$  لزجت سینماتیکی سیال،  $g$  شتاب گرانشی و  $\alpha$  شیب کانال است (شکل ۱). در حالت کلی معادله‌ی (۱) به صورت زیر نوشته می‌شود:

$$\frac{\partial^2 u}{\partial x^2} + \frac{\partial^2 u}{\partial y^2} = a \quad (2)$$

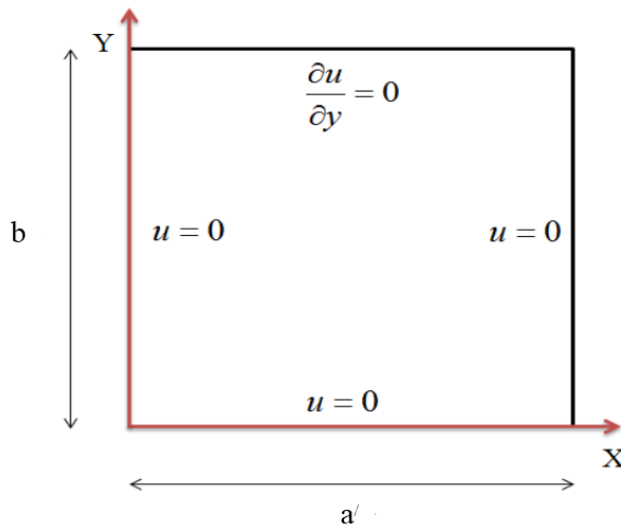
که در آن  $a = -\frac{g \sin \alpha}{\nu}$  است.



شکل ۱: کانال با جریان یکنواخت

شرایط مرزی حاکم بر این جریان در شکل ۲ نشان داده شده است.





شکل ۲: شرایط مرزی حاکم بر مسئله‌ی شکل ۱

با در نظر گرفتن شکل ۲ شرایط مرزی به صورت زیر نوشته می‌شود:

$$\begin{cases} u(0, y) = 0 & , & u(a, y) = 0 \\ u(x, 0) = 0 & , & \frac{\partial u}{\partial y}(x, b) = 0 \end{cases} \quad (۳)$$

برای حل تحلیلی از روش سری فوریه استفاده می‌شود. بدین منظور  $u$  را به صورت زیر در نظر می‌گیریم:

$$u(x, y) = m(x, y) + n(x) \quad (۴)$$

با این تغییر متغیر رابطه‌ی (۲) برابر است با:

$$\frac{\partial^2 m}{\partial x^2} + \frac{\partial^2 m}{\partial y^2} + \frac{\partial^2 n}{\partial x^2} = a \quad (۵)$$

معادله‌ی دیفرانسیلی (۵) را به دو معادله تبدیل می‌کنیم:

$$\frac{\partial^2 n}{\partial x^2} = a \quad (۶)$$

$$\frac{\partial^2 m}{\partial x^2} + \frac{\partial^2 m}{\partial y^2} = 0 \quad (7)$$

برای حل این دو معادله نیاز به شرایط مرزی می‌باشد. با توجه به رابطه‌ی (۴) و شرایط مرزی (۳) داریم:

$$\left\{ \begin{array}{l} u(0, y) = m(0, y) + n(0) = 0 \rightarrow \begin{cases} m(0, y) = 0 \\ n(0) = 0 \end{cases} \\ u(a', y) = m(a', y) + n(a') = 0 \rightarrow \begin{cases} m(a', y) = 0 \\ n(a') = 0 \end{cases} \\ u(x, 0) = m(x, 0) + n(x) = 0 \rightarrow m(x, 0) = -n(x) \\ u_y(x, b) = m_y(x, b) = 0 \rightarrow m_y(x, b) = 0 \end{array} \right. \quad (8)$$

بنابراین دو معادله‌ی دیفرانسیلی (۶) و (۷) با شرایط مرزی (۸) باید حل شود. ابتدا معادله‌ی (۶) حل می‌شود.

$$\frac{\partial^2 n}{\partial x^2} = a, \quad \begin{cases} n(0) = 0 \\ n(a') = 0 \end{cases} \quad (9)$$

بنابراین

$$\begin{aligned} \frac{\partial^2 n}{\partial x^2} = a &\rightarrow \frac{\partial n}{\partial x} = ax + c_1 \rightarrow n(x) = \frac{ax^2}{2} + c_1x + c_2 \rightarrow \begin{cases} n(0) = 0 \\ n(a') = 0 \end{cases} \rightarrow \begin{cases} c_2 = 0 \\ c_1 = -\frac{aa'}{2} \end{cases} \\ \rightarrow n(x) &= \frac{ax^2}{2} + -\frac{aa'}{2}x = \frac{a}{2}x(x - a') \end{aligned} \quad (10)$$

اما برای حل معادله‌ی دیفرانسیل (۷) و شرایط مرزی (۸) از روش تفکیک متغیرها استفاده می‌کنیم:

$$\frac{\partial^2 m}{\partial x^2} + \frac{\partial^2 m}{\partial y^2} = 0, \quad \begin{cases} m(0, y) = 0 \\ m(a', y) = 0 \\ m(x, 0) = -n(x) \\ m_y(x, b) = 0 \end{cases} \quad (11)$$

بنابراین:

$$m(x, y) = F(x)G(y) \xrightarrow{\begin{cases} m_{xx} = F''G \\ m_{yy} = F\ddot{G} \end{cases}} F''G + F\ddot{G} = 0 \rightarrow \frac{F''}{F} = -\frac{\ddot{G}}{G} = k \rightarrow \begin{cases} F'' - kF = 0 \\ \ddot{G} + kG = 0 \end{cases} \quad (12)$$

که  $k$  عدد ثابت است.  $k$  می تواند صفر، مثبت و یا منفی باشد. در دو حالت صفر و مثبت جوابی بدست نمی آید و فقط حالت منفی دارای جواب است. بنابراین معادلات (۱۲) به صورت زیر می شود:

$$k = -\lambda^2 \rightarrow \begin{cases} F'' + \lambda^2 F = 0 \\ \ddot{G} - \lambda^2 G = 0 \end{cases} \quad (13)$$

برای حل این دو معادله شرایط مرزی لازم است. شرایط مرزی با توجه به تغییر متغیر (۱۲) و شرایط مرزی (۱۱) بدست می آید.

$$m(x, y) = F(x)G(y) \rightarrow \begin{cases} m(0, y) = F(0)G(y) = 0 \rightarrow F(0) = 0 \\ m(a', y) = F(a')G(y) = 0 \rightarrow F(a') = 0 \\ m_y(x, b) = F(x)G_y(b) = 0 \rightarrow G_y(b) = 0 \end{cases} \quad (14)$$

حل معادله اول (۱۳) با شرایط مرزی (۱۴) به صورت زیر است:

$$F(x) = c_3 \cos(\lambda x) + c_4 \sin(\lambda x) \xrightarrow{\begin{cases} F(0)=0 \\ F(a')=0 \end{cases}} \begin{cases} c_3 = 0 \\ \sin(\lambda a') = 0 \rightarrow \lambda a' = n\pi \rightarrow \lambda_n = \frac{n\pi}{a'} \quad n = 1, 2, \dots \end{cases}$$

$$\rightarrow F(x) = c_4 \sin\left(\frac{n\pi}{a'} x\right) \quad (15)$$

حل معادله دوم (۱۳) با شرایط مرزی (۱۴) به صورت زیر است:

$$G(y) = c_5 e^{\lambda_n y} + c_6 e^{-\lambda_n y} \rightarrow G(y) = c_7 \cosh \lambda_n (y - b) \quad (16)$$

بنابراین با توجه به روابط (۱۵) و (۱۶)،  $m(x, y)$  برابر است با:

$$m(x, y) = c_4 \sin\left(\frac{n\pi}{a'} x\right) c_7 \cosh \lambda_n (y - b) \quad (17)$$

با فرض  $c_4 c_7 = A_n$ :

$$m(x, y) = \sum_{n=1}^{\infty} A_n \sin\left(\frac{n\pi}{a'} x\right) \cosh \lambda_n (y - b) \quad (18)$$

با توجه به سومین شرط مرزی (۱۱) داریم:

$$m(x, 0) = -n(x) = -\frac{a}{2} x(x - a') \rightarrow m(x, 0) = \sum_{n=1}^{\infty} A_n \sin\left(\frac{n\pi}{a'} x\right) \cosh \lambda_n (-b) = -\frac{a}{2} x(x - a') \quad (19)$$

بدست آوردن  $A_n$ :

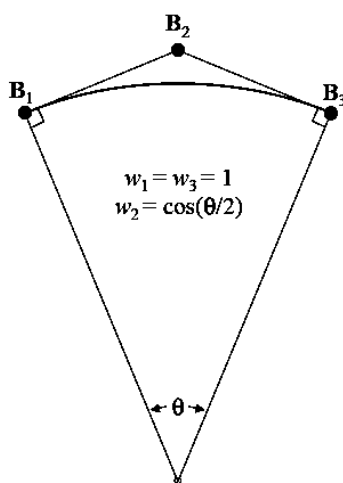
$$\begin{aligned} \frac{a}{2} x(a' - x) &= A_n \sin\left(\frac{n\pi}{a'} x\right) \cosh \lambda_n (b) \rightarrow \int_0^{a'} \frac{a}{2} x(a' - x) \sin\left(\frac{n\pi}{a'} x\right) dx = \int_0^{a'} A_n \sin^2\left(\frac{n\pi}{a'} x\right) \cosh \lambda_n (b) dx \\ A_n &= \frac{\int_0^{a'} \frac{a}{2} x(a' - x) \sin\left(\frac{n\pi}{a'} x\right) dx}{\cosh \lambda_n (b) \int_0^{a'} \sin^2\left(\frac{n\pi}{a'} x\right) dx} = \frac{\int_0^{a'} ax(a' - x) \sin\left(\frac{n\pi}{a'} x\right) dx}{n\pi \cosh\left(\frac{n\pi b}{a'}\right)} \quad (20) \end{aligned}$$

با قرار دادن رابطه‌ی (۲۰) در رابطه‌ی (۱۸) و با استفاده از رابطه‌ی (۱۰) و رابطه‌ی (۴) داریم:

$$u(x, y) = \frac{a}{2} x(x - a') + \sum_{n=1}^{\infty} \frac{\int_0^{a'} ax(a' - x) \sin\left(\frac{n\pi}{a'} x\right) dx}{n\pi \cosh\left(\frac{n\pi b}{a'}\right)} \sin\left(\frac{n\pi}{a'} x\right) \cosh \frac{n\pi}{a'} (y - b) \quad (21)$$

## ب- محاسبه‌ی وزن‌های نقاط کنترل برای ترسیم سطوح نریز

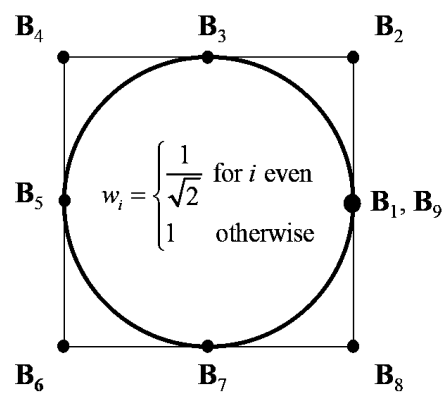
استفاده از منحنی در کارهای مهندسی کاملاً رایج و الزامی است. روش‌های مختلفی برای رسم منحنی وجود دارد. مانند نقاط کنترلی بسیار زیاد و یا وزن‌های منفی. یکی از ساده‌ترین روش‌ها در این قسمت توضیح داده می‌شود. برای ساخت کمانی کمتر از  $180^\circ$ ، می‌توان از تابع نریز درجه‌ی دو با بردار گره‌ی  $\Xi = \{0, 0, 0, 1, 1, 1\}$  مشابه شکل ۳ استفاده نمود.



شکل ۳: چگونگی محاسبه‌ی وزن‌های نقاط کنترلی (مرجع [1])

با توجه به شکل، اولین و آخرین نقطه‌ی کنترلی یعنی  $B_1$  و  $B_3$  در ابتدا و انتهای منحنی قرار گرفته‌اند. بنابراین وزن‌های مربوط به  $w_1$  و  $w_3$  برابر واحد در نظر گرفته می‌شود. نقطه‌ی کنترلی وسطی یعنی  $B_2$  در تقاطع خطوط مماس عبوری از دو نقطه‌ی کنترلی  $B_1$  و  $B_3$  به دست می‌آید. بنابراین وزن نقطه‌ی کنترلی  $B_2$  برابر است با  $w_2 = \cos(\theta/2)$ . برای ساخت بزرگ‌تر از  $180^\circ$  می‌توان از چند کمان کوچکتر ساخته شود.

برای ایجاد دایره می‌توان بردار گره‌ی  $\Xi = \{0, 0, 0, 1, 1, 2, 2, 3, 3, 4, 4, 4\}$  و وزن‌های نشان داده شده در شکل ۴ استفاده نمود که موجب ایجاد دایره خواهد شد.



شکل ۴: وزن‌های نقاط کنترلی برای ایجاد دایره (مرجع [1])

## مراجع

- [1] Hughes T.G.R., Cottrell J.A., Bazilevs Y. (2005) "Isogeometric analysis: CAD, finite elements, NURBS, exact geometry and mesh refinement" *Comput. Method Appl. Mech. Engrg*, vol. 194, p. 4135–4195.
- [2] Shobeyri G., Afshar M.H. (2010) "Simulating free surface problems using Discrete Least Squares Meshless method" *Computers & Fluids*, vol. 39, pp. 461-470.
- [3] Sun X., Jia-Zhong Z., Xiao-Lomg R. (2012) "Characteristic-Based Split (CBS) finite element method for incompressible viscous flow with moving boundaries" *Engineering Applications of Computational Fluid Mechanics*, vol. 6, no. 3, pp. 461-474.
- [4] Argriss J. H., Kelsey S. (1960) "*Energy Theorems and Structural Analysis*" London: Butterworths.
- [5] Clough R. W. (1960) "*The Finite Element Method in Plane Stress Analysis*" Pittsburgh: PA.
- [6] Courant R. (1943) "Variational Methods for Solution of Equilibrium and Vibration" *Bulletin of the American Mathematical Society*, vol. 49, pp. 1-43.
- [7] Gallagher R.H., Padlog J., Bijlaard P.P. (1962) "Stress Analysis of Heated Complex Shapes" *American Rocket Society Journal*, vol. 32, pp. 700-707.
- [8] Taig I.C. (1961) "*Structural Analysis by the Matrix Displacement Method*" English Electric Aviation: Technical Report.
- [9] Irons B.M. (1966) "Engineering Application of Numerical Integration in Stiffness Method" *Journal of the American Institute of Aeronautics and Astronautics*, vol. 14, pp. 2035-2037.
- [10] Zienkiewicz O.C., Cheung Y.K. (1968) "*The Finite Element Method in Structural and Continuum Mechanics*" McGraw-Hill.
- [11] Zienkiewicz O.C., Irons B.M., Campbell J., Scott F.C. (1970) "*Three Dimensional Stress Analysis*" In IUTAM Symposium on High Speed Computing in Elasticity: Liege.
- [12] Raviart P.A., Thomas J.M. (1977) "Primal Hybrid Finite Element Methods for 2nd-order Elliptic Equations" *Mathematics of Computation*, vol. 31, pp. 391-413.
- [13] Brezzi F., Douglas J., Marini L.D. (1985) "Two Families of Mixed Finite Elements for 2nd-order Elliptic Problems" *Numerische Mathematik*, vol. 47, pp. 231-235.
- [14] Brezzi F., Fortin M. (1991) "*Mixed and Hybrid Finite Element Methods*" Springer-Verlag.
- [15] Nedelec J.C. (1980) "Mixed Finite Elements in ir3" *Numerische Mathematik*, vol. 35, pp. 315-341.

- [16] Demkowicz L. (2007) "*Computing with hp-Adaptive Finite Elements*" Vol 1: One and Two Dimensional Elliptic and Maxwell Problems: Chapman & Hall/CRC.
- [17] Nayroles B., Touzot G., Villon P. (1992) "Generalizing the Finite Element Method: Diffuse Approximation and Diffuse Elements" *Computational Mechanics*, vol. 10, pp. 307-318.
- [18] Schoenberg I. (1946) "Contributions to the Problem of Approximation of Equidistant Data by Analytic Functions" *Quarterly of Applied Mathematics*, vol. 4, pp. 45-49.
- [19] Riesenfeld R.F. (1972), PhD. thesis "Application of B-Spline Approximation to Geometric Problems of Computer Aided Design", Syracuse University.
- [20] Versprille K.J. (1975), PhD. thesis, "Computer Aided Design Applications of the Rational BSpline Approximation Form", Syracuse University.
- [21] Sederberg T.W., Zheng J., Bakenov A., Nasri A. (2003) "T-Spline and TNURCCs" *ACM Transactions on Graphics*, vol. 22, no. 3, pp. 477-484.
- [22] Sederberg T.W., Finnigan G.T., Li X., Lin H., Ipson H. (2008) "Watertight trimmed NURBS" *In SIGGRAPH'08: ACM SIGGRAPH 2008 papers*, vol. New York, no. NY, ACM, pp. 1-8.
- [23] Sabin M.A. (1997), PhD. thesis, "Spline Finite Element", Cambridge University.
- [24] Kagan P., Fischer A., Bar-Yoseph P.Z. (1998) "New B-Spline Finite Element Approach For Geometrical Design and Mechanical Analysis" *Int. J. of Numerical Meth. in Eng.*, vol. 41, pp. 435-458.
- [25] Hollig K. (2003) "Finite Element Methods with B-Splines" *Society of Industrial and Applied Mathematics*.
- [26] Akkerman I., Bazilevs Y., Kees C.E., Farthing M.W. (2011) "Isogeometric analysis of free-surface flow" *Journal of Computational Physics*, vol. 230, pp. 4137-4152.
- [27] Bazilevs Y., Calo V.M., Zhang Y., Hughes T.J.R. (2006) "Isogeometric fluid–structure interaction analysis with applications to arterial blood flow" *Comput. Mech.*, vol. 38, pp. 310-322.
- [28] Bazilevs Y., Calo V.M., Cottrell J.A., Hughes T.J.R., Reali A., Scovazzi G. (2007) "Variational multiscale residual-based turbulence modeling for large eddy simulation of incompressible flows" *Comput. Methods Appl. Mech. Engrg.*, vol. 197, no. 1-4, pp. 173-201.
- [29] Bazilevs Y., Calo V.M., Hughes T.J.R., Zhang Y. (2008) "Isogeometric fluid–structure interaction: theory, algorithms, and computations" *Comput. Mech.*, vol. 43, no. 1, pp. 3-37.
- [30] Bazilevs Y., Hughes T.J.R. (2008) "NURBS-based isogeometric analysis for the computation of flows about rotating components" *Comput. Mech.*, vol. 43, pp. 143-150.
- [31] Gmez H., Calo V., Bazilevs Y., Hughes T.J.R. (2008) "Isogeometric analysis of the Cahn–Hilliard phase–field model" *Comput. Methods Appl. Mech. Engrg.*, vol. 197, no. 49-50, pp. 4333-4352.



- [32] Buffa A., deFalco C., Sangalli G. (2010) "Isogeometric analysis: new stable elements for the stokes equation" *Int. J. Numer. Meth. Fluids* 2000, vol. 00, pp. 1-6.
- [33] Wall W.A., Frenzel M.A., Cyron C. (2008) "Isogeometric structural shape optimization," *Comput. Methods Appl. Mech. Engrg.*, vol. 197, no. 33-40, pp. 2976-2988.
- [34] Hassani B., Taheri A.H., Moghaddam N. Z. (2013) "An improved isogeometrical analysis approach to functionally graded plane elasticity problems" *Applied Mathematical Modelling*, vol. 37, no. 22, pp. 9242-9268.
- [35] B. Hassani, A. Ganjali, M. Tavakkoli (2012) "An isogeometrical approach to error estimation and stress recovery" *European Journal of Mechanics A/Solids*, vol. 31, pp. 101-109.
- [36] Cottrell J.A., Reali A., Bazilevs Y., Hughes T.J.R. (2006) "Isogeometric analysis of structural vibrations" *Comput. Methods Appl. Mech. Engrg.*, vol. 195, no. 41-43, pp. 5257-5296.
- [37] Auricchio F., Beirao da Veiga L., Buffa A., Lovadina C., Reali A., Sangalli G. (2007) "A fully "locking-free" isogeometric approach for plane linear elasticity problems: a stream function formulation" *Comput. Methods Appl. Mech. Engrg.*, vol. 197, no. 1-4, pp. 160-172.
- [38] Elguedj T., Bazilevs Y., Calo V.M., Hughes T.J.R. (2008) "B and -F projection methods for nearly incompressible linear and non-linear elasticity and plasticity using higher-order NURBS elements" *Comput. Methods Appl. Mech. Engrg.*, vol. 197, pp. 2732-2762.
- [39] Lipton S., Evans J.A., Bazilevs Y., Elguedj T., Hughes T.J.R. (2010) "Robustness of isogeometric structural discretizations under severe mesh distortion" *Comput. Methods Appl. Mech. Engrg.*, vol. 199, no. 5-8, pp. 357-373.
- [40] Auricchio F., Beirao da Veiga L., Lovadina C., Reali A. (2010) "The importance of the exact satisfaction of the incompressibility constraint in nonlinear elasticity: mixed FEMs versus NURBS-based approximations" *Comput. Methods Appl. Mech. Engrg.*, vol. 199, no. (5-8), p. 314-323.
- [41] Benson D.J., Bazilevs Y., Hsu M.C., Hughes T.J.R. (2010) "Isogeometric shell analysis: the Reissner-Mindlin shell" *Comput. Methods Appl. Mech. Engrg.*, vol. 199, no. 5-8, pp. 276-289.
- [42] Hassani B., Moghaddam N.Z., Tavakkoli S.M. (2009) "Isogeometrical solution of laplace equation" *Asian Journal of Civil Engineering (building and housing)*, vol. 10, no. 5, pp. 579-592.
- [43] Cottrell J. A., Hughes T. J. R., Bazilevs Y. (2009) "Isogeometric Analysis: Toward Integration of CAD and FEA" Singapore: John Wiley & Sons Ltd.
- [44] Wrede R.C., Spiegel M.R. (2002), "Theory and Problems of Advanced Calculus", New York, 2nd ed: McGraw-Hill.
- [45] Liu G. R., Mesh free methods (2003), "Moving beyond the finite element method", Boca Raton: Chemical Rubber.
- [46] Reddy J.N. (1993), "An Introduction to the Finite Element Method" Singapore, Vols. McGraw-Hill.

- [47] T. W. Piegl L (1997), "*The NURBS Book*", Springer-Verlag, New York: 2nd ed.
- [48] D.F. Rogers (2001), "*An Introduction to NURBS with Historical Perspective*", San Diego: Academic Press.
- [49] Iserles A. (2009), "*A First Course in the Numerical Analysis of Differential Equations*", New York: Cambridge university press.
- [50] Shakibaeinia A., Yee-Chung Jin (2011) "A mesh-free particle model for simulation of mobile-bed dam break" *Advances in Water Resources*, vol. 304, p. 794–807.
- [51] Monaghan JJ. (1994) "Simulating free surface flows with SPH" *J Comput Phys*, vol. 110, pp. 399-406.
- [52] Ferrari A., Dumbser M., Toro E.F., Armanini A. (2009) "A new 3D parallel SPH scheme for free surface flows" *Comput Fluids*, vol. 38, no. 6, pp. 1203-17.
- [53] Lv X., Zou Q., Zhao Y., Reeve D. (2010) "A novel coupled level set and volume of fluid method for sharp interface capturing on 3D tetrahedral grids" *Journal of Computational Physics*, vol. 229, pp. 2573-2604.
- [54] Hirt C.W., Nichols B.D. (1981) "Volume of fluid methods for the dynamics of free boundaries," *Journal of Computational Physics*, vol. 39, pp. 201-225.
- [55] Biscarini C., Di Francesco S., Manciola P. (2010) "CFD modelling approach for dam break flow studies" *Hydrol. Earth Syst. Sci.*, vol. 14, pp. 705-718.
- [56] Cheng Hu K., Chun Hsiao S., Hweng Hwung H., Ren Wu T. (2012) "Three-dimensional numerical modeling of the interaction of dam-break waves and porous media" *Advances in Water Resources*, vol. 47, pp. 14-30.
- [57] Il-Ryong P., Kwang-Soo K., Jin K., Suak-Ho V. (2012) "Numerical investigation of the effects of turbulence intensity on dam-break flows" *Ocean Engineering*, vol. 42, pp. 176-178.
- [58] Sussman M., Smereka P., Osher S. (1994) "A level set approach for computing solutions to incompressible 2-phase flow" *J. Comput. Phys*, vol. 114, no. 1, pp. 146-159.
- [59] Enright D., Fedkiw R., Ferziger J., Mitchell I. (2002) "A hybrid particle level set method for improved interface capturing" *J. Comput. Phys*, vol. 183, no. 1, pp. 83-116.
- [60] Olsson E., Kreiss G., Zahedi S. (2007) "A conservative level set method for two phase flow II" *J. Comput. Phys*, vol. 225, no. 1, pp. 785-807.
- [61] Shao S., Gotoh H. (2005) "Turbulence particle models for tracking free surfaces" *Journal of Hydraulic Research*, vol. 43, no. 3, p. 276–289.
- [62] Soares Frazão, S. (2002), PhD. thesis, "Dam-break induced flows in complex topographies. Theoretical, numerical and experimental approaches", University catholique de Louvain, Louvain-la-Neuve, Civil Engineering Department, Hydraulics Division, 116(1).

## Abstract

The Isogeometric analysis (IA) method is based on Computer Aided Design (CAD). The main advantages of the isogeometric analysis are: a considerable reduction in the size of system of equations, accuracy in the definition of the geometry and its boundaries, using of common methods in finite element (FE) method, having more advantages over FE method, the possibility of solution of problems with moving meshes such as Lagrangian problems, etc.

In this thesis, it is tried to use this method for solution of Eulerian and Lagrangian problems in computational fluid dynamics due to its novelty. For this purpose, two types of Eulerian problems are modeled by IA method. The first problem is to find the velocity distribution of uniform flow in a sloped channel and the second is irrotational flow around circular and rectangular obstacles. Also in Lagrangian approach two problems of incompressible free surface flows and dam break are simulated.

The purpose of modeling velocity distribution of uniform flow in a sloped channel is to compare IA and FE method by size of system of equations. The purpose of modeling irrotational flow around circular obstacle is to investigate the ability of the IA method in constructing curves and surfaces with high precision. The purpose of modeling dam break is to investigate the ability of the IA method in some problems with large deformations which usually happens in Lagrangian approach.

**Keywords:** Isogeometric Analysis (IA) method, Computational Fluid Dynamics (CFD), Eulerian approach, Lagrangian approach, velocity distribution in a sloped channel, irrotational flow, dam break.



University of Shahrood

Faculty of Civil Engineering

## Modeling of flow in open channels by isogeometric method

Reza Maghsoodi

Supervisor:

Dr. Ramin Amini

Advisor:

Dr. Nasser Zarif Moghaddam Basefat

Date: Sep, 2015